

CODEN: LUTFD2/(TFRT-5346)/1-104/(1986)

Digital reglering av ljusbågsugnar

Olof Carlsson

Institutionen för Reglerteknik
Lunds Tekniska Högskola
Februari 1986

Department of Automatic Control Lund Institute of Technology P.O. Box 118 S-221 00 Lund Sweden		Document name MASTER THESIS
		Date of issue February 1986
		Document Number CODEN: LUTFD2/(TFRT-5346)/1-104/(1986)
Author(s) Olof Carlsson	Supervisor B. Olsson (Asea), B. Wittenmark (LTH)	
	Sponsoring organisation	
Title and subtitle Digital reglering av ljusbågsugnar (Digital control of arc furnaces)		
Abstract <p>The conditions for electrode control with the ASEA MASTER PIECE or with Novatune have been investigated in this research. Most of the effort was concentrated on ASEA MASTER PIECE and the digital regulators prerequisite to manage electrode control.</p> <p>A conclusion after a study of ASEA MASTER PIECE was that it was surely suitable for electrode control. There is, however, one condition, scanning time must be decreased from 100 ms to at the least 50 ms. Hardware filtration of the signals before sampling is furthermore of vital importance to avoid alias Frequencing. This being partly due to the low sampling frequency and to the such relative harmonic content of the signals.</p> <p>An attempt to create a model of process failed. The purpose of such a model was to gain the possibility to test different digital regulators, sampling frequencies and control strategies. This research was abandoned due to the fact that the simulation program SANDY failed to solve the equations. At a late stage of research it became apparent that the SIMNON program at LTH in Lund was more suitable.</p> <p>Studies of a report about Novatune experiments from Smedjebacken show that Novatune is not suitable for electrode control in arc furnaces. The feature causing this is the quickly changing process dynamics in the melting phase. It should on the other hand be possible to use Novatune for electrode control in ladle furnaces which always contain a smelt.</p>		
Key words Electrode control. Digital control.		
Classification system and/or index terms (if any)		
Supplementary bibliographical information		
ISSN and key title		ISBN
Language Swedish	Number of pages 104	Recipient's notes
Security classification		

The report may be ordered from the Department of Automatic Control or borrowed through the University Library 2, Box 1010, S-221 03 Lund, Sweden, Telex: 33248 lubbis lund.

Sammanfattning

I föreliggande arbete har förutsättningarna för att använda ASEA MasterPiece eller Asea Novatune för elektrodreglering undersökts. Det största arbetet har lagts ner på Asea MasterPiece och den digitala regulatornens förutsättningar att klara regleringen.

Efter studium av Asea MasterPiece drogs slutsatsen att denna är användbar för elektrodreglering. En förutsättning är dock att scanning time sänks från 100 ms till åtminstone 50 ms. Vidare gäller att hårdvarufiltrering av signalerna före sampling är av vital betydelse för att undvika vikning. Detta dels på grund av den låga samplingsfrekvensen och dels på grund av signalernas rika övertonshalt.

Försöken att ta fram en modell av processen misslyckades. Syftet med modellen var att kunna testa olika digitala regulatorer, samplingsfrekvenser och reglerstrategier. På grund av att simuleringsprogrammet SANDYS inte klarade att lösa ekvationerna gavs detta arbete upp efter omfattande försök. Det visade sig dock i ett sent skede av arbetet att programmet SIMNON som finns på LTH i Lund var mera lämpligt.

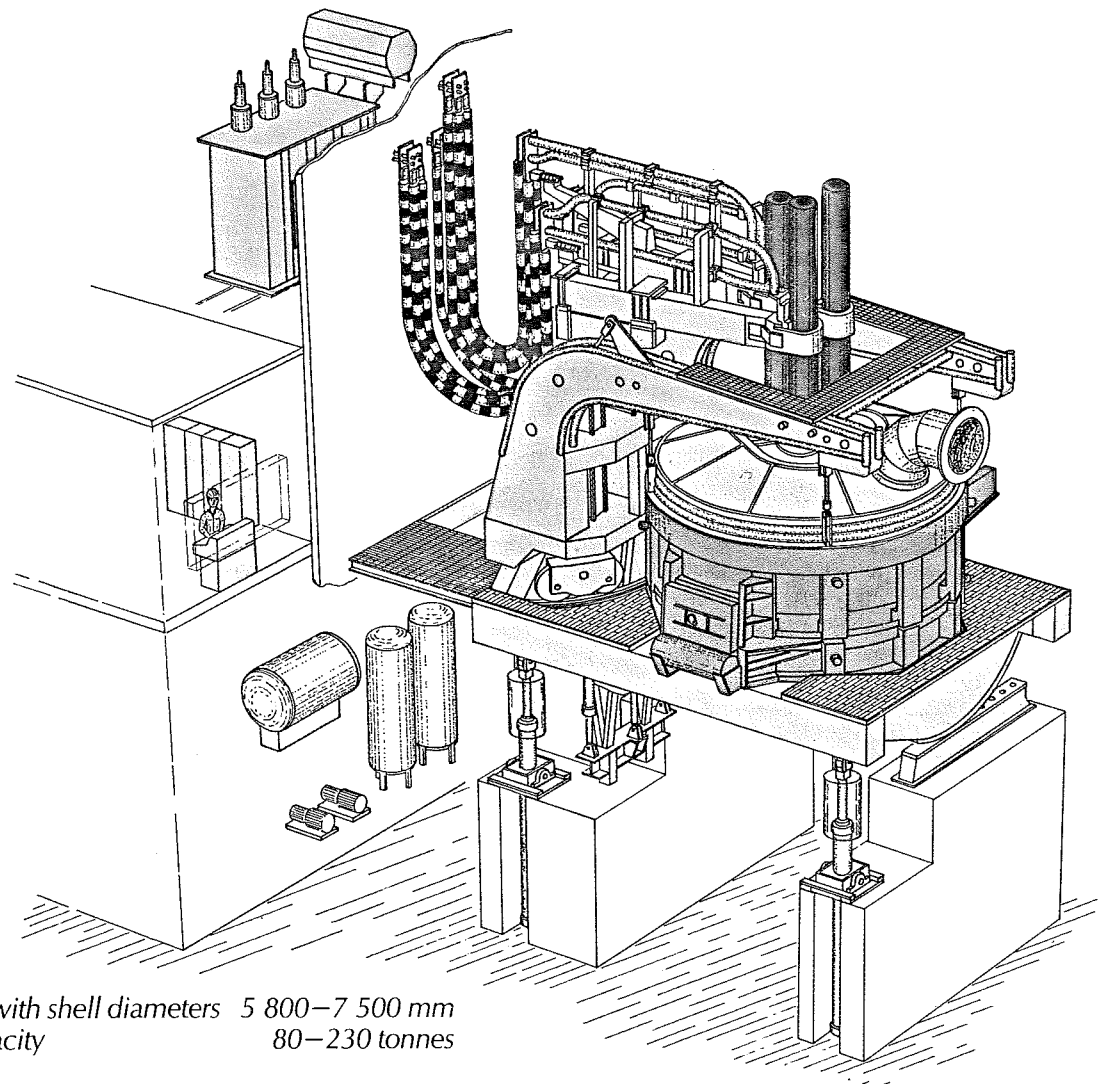
Efter studie av en rapport om Novatune försök i Smedjebacken drogs slutsatsen att Novatune inte lämpar sig för elektrodreglering i ljusbågsugnar. Den egenskap hos processen som troligen gör Novatune oanvändbar är den snabbt skiftande processdynamiken i nedsmältningskedet. Det borde däremot vara möjligt att använda Novatune för elektrodreglering i skänkugnar där man alltid har en smälta.

Innehållsförteckning

1. Syftet med examensarbetet
2. Inledning
3. Mål och principer för regleringen
 - 3.1 Målet med regleringen
 - 3.2 Principer för regleringen
 - 3.2.1 Impedansreglering
4. Den "gamla" analoga regulatorn
 - 4.1 Strömmätkretsen
 - 4.2 Spänningsmätkretsen
 - 4.3 Regulatorn
5. Digitalreglering
6. Reglering med Asea MasterPiece 260
 - 6.1 Strömmätning
 - 6.2 Spänningsmätning
 - 6.3 Val av MasterPiece
 - 6.4 MasterPiece 260's bestyckning
 - 6.5 Implementering av regulatorn
 - 6.6 Församplingsfilter
 - 6.7 Programmet
 - 6.8 Idrifttagning
 - 6.9 MasterPiecen's last
7. Adaptiv reglering
8. Novatune
9. Modell för datorsimulering
10. Drivsystemet
11. Överföringsfunktionen för hela systemet
 - 11.1 Ventilställdonet
 - 11.2 Hydrauliksystemet
 - 11.3 Mekaniska systemet
 - 11.4 Processen
 - 11.4.1 Modell av ljusbågen

(forts Innehållsförteckning)

12. SANDYS
 - 12.1 Programmet
 - 12.2 Resultat av simuleringen
13. Sammanfattning
 - 13.1 Utförande med MasterPiece
 - 13.2 Användning av Novatune
 - 13.3 Modell för datorsimulering
14. Referenser
15. Bilaga
 1. "Gamla" regulatorn (Combitrol)
 2. Kretsschema för ström och spänningsmätning
 3. Registrering av stegstörning, ljusbågsugn
 4. Registrering av stegstörning, skänkugn
 5. Program för Asea MasterPiece
 6. Program för Asea Novatune
 7. Program i SANDYS, komplett
 8. Program i SANDYS, processen ljusbågen ersatt med resistans



2. Inledning

Jämsides med att elektrisk energi gjorde sitt stora insteg inom industrin vid sekelskiftet introducerades elektrisk smältning också i metallhanteringen. Det största intresset knöts redan från början kring ljusbågsugnarna och ett flertal idéer presenterades för problemets lösning.

Ljusbågsugnar för enfas, tvåfas och för trefas ström provades. Det förekom också likström. Man provade fribrinnande ljusbågar och ugnar med bottenelektroder. Bland de tidigare förslagen förekom också ett av fransmannen Heroult med tre elektroder riktade mot badet. Denna typ kom tidigt att dominera och har sedan successivt fått övertaget så att den nu är allenarådande.

3.2 Principer för regleringen

För att uppnå målen i avsnitt 3.1 kan man välja att reglera enligt en av följande 3 principer.

- konstant elektrodström
- konstant ljusbågsspänning
- konstant impedans

Den vanligaste förekommande principen är impedansreglering.

3.2.1 Impedansreglering

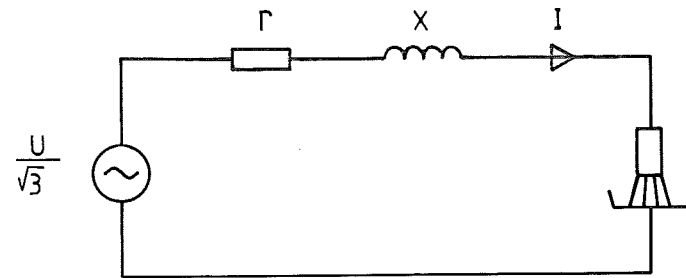


Fig. 1

Enfasigt principdiagram för ugnskretsen

För enkelhetens skull betraktar vi det enfasiga fallet då gäller att

$$U / \sqrt{3} = I \times Z = I \sqrt{R^2 + X^2}$$

där

U = transformatorspänning

I = elektrodström

X = reaktans i kretsen

R = resistans i tilledare och ljusbåge

Resistansen i ljusbågen är proportionell mot ljusbåglängden och omvänt proportionell mot strömstyrkan. Man kan således reglera strömstyrkan genom att variera ljusbåglängden.

Impedansregleringen innebär en kvotreglering dvs reglervillkoret lyder

$$U / \sqrt{3} - K_Z \times I = 0$$

Sker mätningen av spänningen vid transformatorn, kan regleringen mera karakteriseras som en ren strömreglering. Genom att mäta "ljusbågs-spänningen" vid elektrodhållaren uppnås en bättre känslighet hos systemet vid kortslutningar. Ett annat sätt att klara detta är att i mätkretsarna kompensera för det reaktiva spänningsfallet i tilledare och elektroder. Fördelarna med impedansreglering är främst att $\cos\phi$ blir oberoende av spänningsinställningen samt att förstärkningen blir konstant. En annan mycket viktig fördel är att risken för felaktiga inställningar elimineras. Detta medför att körning med för hög strömstyrka vid för låg spänning förhindras. Detta kan annars leda till uppkolning av smältan.

4. Den "gamla" analoga regulatorn

I detta avsnitt behandlas hur den "gamla" Combitrol regulatorn är uppbyggd och fungerar. Det behandlar även utformningen av kretsarna för ström och spänningsmätning.

Regulatorn arbetar efter principen konstant impedans.

$$E - k \times I = 0$$

Detta innebär att man måste ha tillgång till både ström och spänningssignalen.

(Se bilaga 1 "Gamla" regulatorn och bilaga 2 Kretsschema)

4.1 Strömmätkretsen

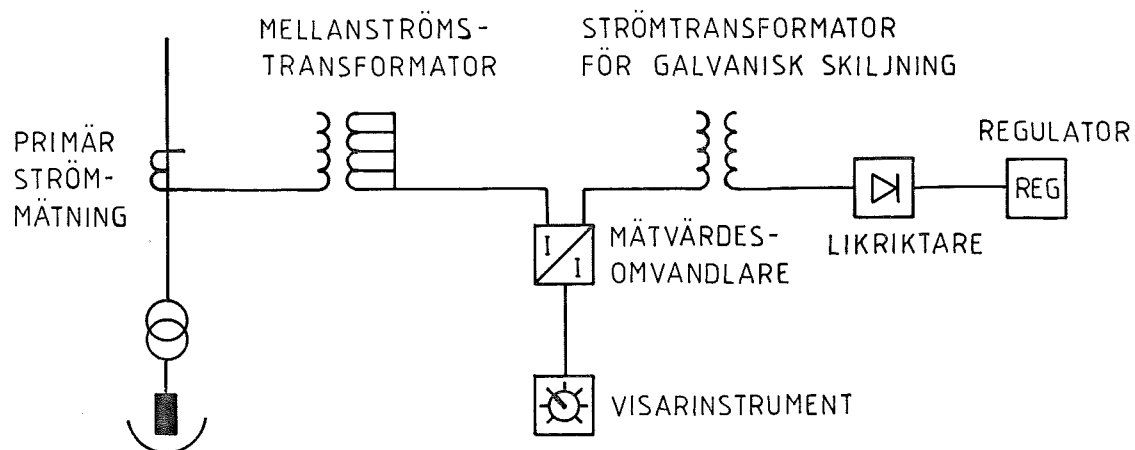


Fig. 2
Strömmätkrets

Strömmen mäts på primärsidan av ugnstransformatorn. Detta görs därför att det är lättare att mäta den relativt begränsade strömmen på primärsidan än att mäta sekundärsidans mycket höga ström. Strömmen som mäts på primärsidan måste skalas om allt eftersom lindningskopplarläge skiftas, detta görs i mellanströmstransformatorn. Mellanströmstransformatorn har en omsättning för varje lindningskopplarläge. Omkopplingen mellan dessa lägen görs med hjälp av en kontaktbana i lindningskopplaren. Strömmen går sedan vidare genom en mätvärdesomvandlare för visning av aktuell elektrodström. Efter mätvärdesomvandlaren finns en transformator för galvanisk skiljning och en likriktare. Därefter går strömmätsignalen in i regulatorn.

4.2 Spänningsmätkretsen

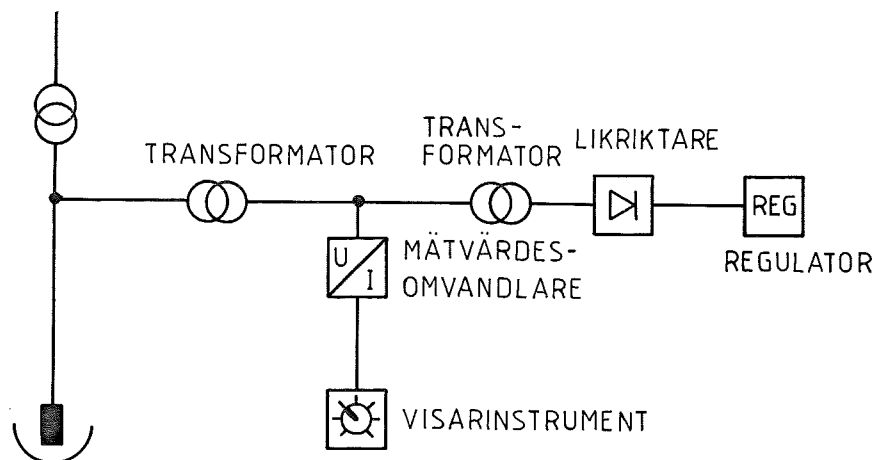


Fig. 3
Spänningsmätkrets

För att minimera mätfelet mäts spänningen på sekundärsidan så nära elektroderna som möjligt. På grund av den mycket höga strömmen och den relativt låga spänningen på sekundärsidan är spänningsfallet betydande i tilledningarna till elektroderna.

Spänningen transformeras till 110 V. Denna spänning går till mätvärdesomvandlare för visning av elektrodspänning. Den går också till en transformator för galvanisk isolation och vidare till en likriktare och därifrån till regulatorn.

4.3 Regulatorn

Den regulator som används för närvarande bygger på ASEA's elektroniksystem Combitrol. Blockschemat framgår av bilaga 1.

Utgående ifrån reglervillkoret $E - KI = 0$ bildas regleravvikelsen med en summator QA 208. Regleravvikelsen passerar en PIP-regulator QALB 200, dvs snabba förändringar förstärks mindre än långsamma förändringar.

Med hjälp av ett effektsteg QHNM 118 lämnas en strömsignal till ett elektrohydrauliskt ställdon. Genom att variera hur stor del av strömvaret som skall gå till summatorn med hjälp av potentiometerheten QAPG 220 kan impedansen varieras.

Då spänningssvaret är proportionellt mot elektrodspänningen erhålls på detta sätt samma impedans över elektroden oberoende av spänningsinställningen. Vid de högre spänningsslägena kan det dock bli nödvändigt att begränsa strömmen, beroende på den maximala transformatorströmmen I_{max} och den maximala fullasteffekten S_{max} . Genom att undertrycka spänningssvaret åstadkoms en förskjutning av ugnens arbetspunkt mot lägre strömstyrka. Inställningen sker på potentiometerhet QAPG 220.

Ett antal förinställningar kan inkopplas med yttre kontaktslutningar. Kontaktslutningarna är bestämda av lindningskopplarläget.

Då spänningssvaret är proportionellt mot elektrodspänningen erhålls en minskning av den totala kretsförstärkningen vid minskande spänning. För att kompensera för detta kan förstärkningen hos summator QA 208 varieras med yttre kontaktslutningar. Dessa kontaktslutningar erhålls från lindningskopplarlägena.

5. Digitalreglering

Användandet av datorer för reglering har på senare år gjort stora framsteg. Tidigare använde man endast datorer till stora och komplicerade processkontroll system. Nu använder man även datorer till enstaka "control loopar" och detta sker tack vare utvecklingen av små och snabba mikrodatorer.

Från början så översatte man de analoga regulatorerna till digitala. Man upptäckte snart att det fanns mycket att vinna på att utveckla en egen teori för digitala regulatorer. De första att använda avancerade digitala regulatorer var flygplanskonstruktörerna men tack vare mikrodator-tekniken används de i dag även i mycket enkla tillämpningar.

En enkel bild av ett datorstyrta kontrollsysteem kan set ut så här:

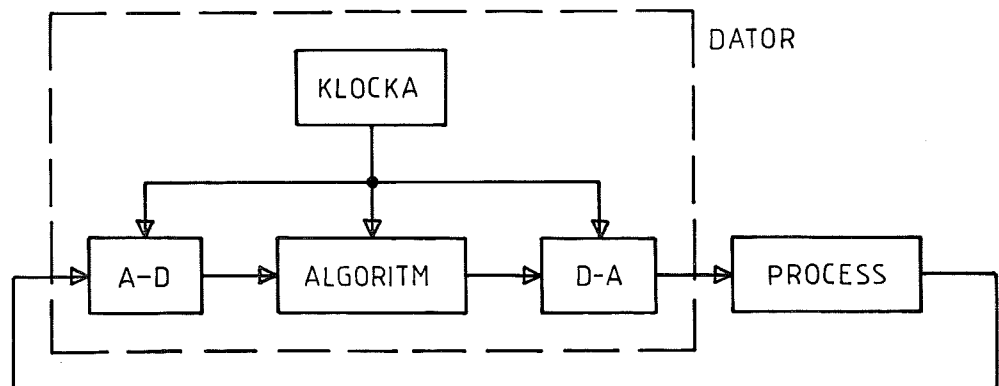


Fig. 4
Datorstyrta kontrollsysteem

Signalerna från processen samples och A-D omvandlas varefter man beräknar de nya styrvärdena. Dessa styrvärden D-A omvandlas och påföres processen. Sampling A-D omvandling beräkning och D-A omvandling styrs av en klocka.

6. Reglering med Asea MasterPiece 260

MasterPiece användbarhet för elektrodreglering av ljusbågsugnar och skänkugnar samt vilka krav som måste ställas på kringutrustning har undersökts. Utgående ifrån den gamla väl fungerande regulatorn har en konvertering av funktionerna till digital form genomförts. Försök att göra ett simuleringsprogram för att testa nya reglerstrategier har också gjorts. Detta lyckades tyvärr inte, vilket redovisas längre fram i denna rapport. Det principiella utseendet hos kretsen som skall regleras är

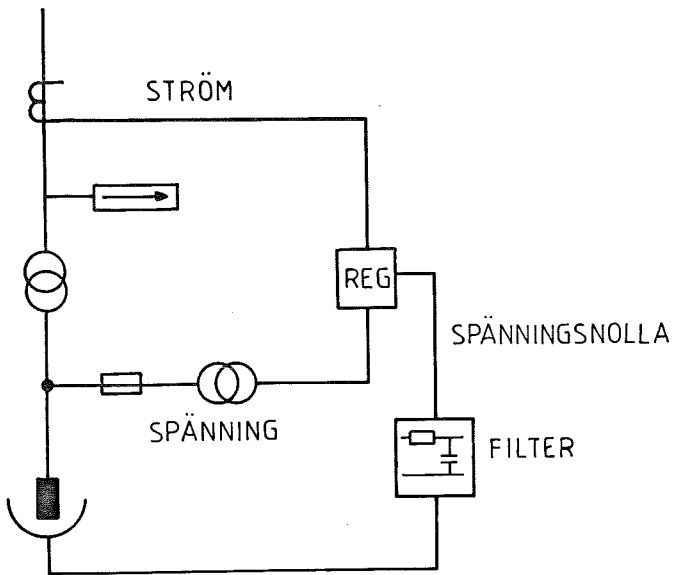


Fig. 5

Principiella utseendet hos kretsen som skall regleras

6.1 Strömmätning (se även kretsschema bilaga 2 samt 4.1)

Strömmen mätes på primärsidan av ugnstransformatorn med en strömtvärstopp. Därefter går den till en ny strömtvärstopp, den så kallade mellanströmtvärstoppen. Denna har ett flertal olika omsättningar. Beroende på lindningskopplarläge på ugnstransformatorn väljs lämplig omsättning. Detta val sker med hjälp av en kontaktbana i lindningskopplaren. Denna omskalning krävs för att få korrekt mätvärde på elektrodströmmen oberoende av inställt spänningsläge.

Därefter går strömmen via ett relä för Y/D omkoppling genom mätvärdesomvandlare för primärmätningen till en strömtransformator. Denna transformator har omsättningen 1/1 och är bara till för att galvaniskt skilja regulatorn från högspänningssidan. Strömmen likriktas omvandlas till en spänningssignal och går därefter till regulatorn.

Här föreslås att man tar bort likriktarna, den sista transformatorn och mellanströmstransformatorn. Man kommer här alltså att gå direkt från strömtransformatorn som mäter primärströmmen till mätvärdesomvandlarna. Dämpdonen tas bort och signalen går direkt in i Mastern. Mätvärdesomvandlarna Tillquist I 200 mäter sant RMS-värde och har en tidkonstant som är ca 100 ms. Detta innebär att de släpper igenom signaler inom hela det intressanta frekvensområdet. Mätvärdet tas ut som en strömsignal 0-20 mA. Det hade varit intressant att känna till fasfunktionen för omvandlarna, men denna uppgift är tyvärr inte tillgänglig. Enligt konstruktören av mätvärdesomvandlarna i Schweiz skall det dock inte vara några problem vid denna tillämpning. I Mastern sker den skalning av strömmen som tidigare åstadkoms med hjälp av mellanströmstransformatorn. På detta sätt erhålls en strömmätsignal till regulatorn och även en signal till mätinstrumentet. Signalen till mätinstrumentet kan eventuellt filtreras i Mastern för att få en stadig visning.

6.2 Spänningsmätning (se även kretsschema bilaga 2 samt 4.2)

Spänningen mäts på sekundärsidan så nära elektroderna som möjligt. Detta görs för att få med så lite av spänningsfallet i elektroder och tilledningarna till elektroderna som möjligt. Nollan filtreras i ett filter avstämmt för nätfrekvens. Spänningen transformeras därefter till 110 V. Därefter finns ytterligare en transformator för att få galvanisk skiljning och nedtransformering till 10 V. Spänningen likriktas och går till regulatorn.

Även här är det tänkt att ta bort den sista transformatorn och likriktaren och låta spänningen gå via mätvärdesomvandlaren till Mastern. Här uppstår inga problem med skalning av spänningen. Däremot kan det vara nödvändigt att filtrera spänningssignalen till mätinstrumentet för stabil visning.

Mätvärdesomvandlaren Tillquist U 200 har samma data som I 200 och passar földaktligen bra också för spänningsmätningen.

Man erhåller då de mycket enkla mätkretsarna som redovisas i figur 6.

Denna förenkling kan i viss mån leda till ett billigare mätsystem och uppväga den kostnadsökning som en MasterPiece innebär. Man har ju här plockat bort 2 strömtransformatorer, 1 spänningstransformator och 2 likriktarbryggor per fas samt 1 kontaktbana i ugnstransformatorns lindningskopplare per fas. Inga komponenter förutom Mastern har tillkommit.

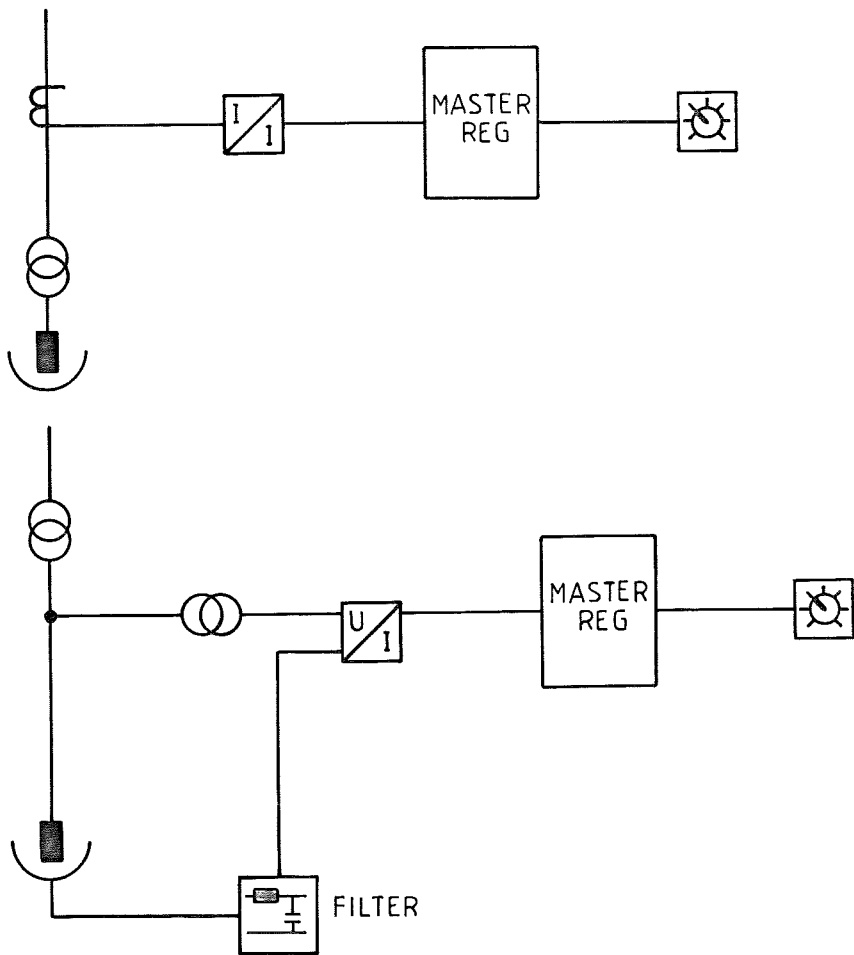


Fig. 6

Strömmätning och spänningsmätning enligt det nya förslaget

6.3 Val av MasterPiece

Den MasterPiece som främst är avsedd för reglering är MasterPiece 260. I denna MasterPiece har man tillgång till alla reglerelement som finns för MasterPiece serien. Skulle man välja t ex en MasterPiece 240 så är denna främst avsedd för datahantering och det finns inte tillgång till alla reglerelement. MasterPiece'n för reglering kommer antagligen inte att användas till något annat heller. Detta beror på att lasten kommer att bli hög även om endast regulatorn placeras i denna Master (se avsnittet om MasterPiecen's last). Detta medför att det är lämpligt att välja MasterPiece 260 för elektrodregleringen.

6.4 MasterPiece 260's bestyckning

MasterPiecen är lämplig att bestycka på följande sätt. Som analogt ingångskort väljes DSAI 130 och anslutningsenhet DSTA 130. Detta kort har 16 ingångskanaler och en upplösning på 12 bitar + tecken. Det krävs 6 ingångar, 3 för strömsignal och 3 för spänningssignal. De övriga 10 kanalerna kan utnyttjas till andra ändamål. Upplösningen på 12 bitar medför att man får en upplösning i ström på minst 25 A och i spänning ca 0.4 volt vilket är mer än tillräckligt.

På utgångssidan är det lämpligt att använda 2 st DSAO 120 och anslutningsenhet DSTA 170. Dessa kort har 8 utgångar var för analoga ström eller spänningssignaler och en upplösning på 12 bitar. Här utnyttjas 9 av de 16 utgångar kortet har, där finns alltså 7 i reserv. Tyvärr så orkar korten ej med att driva ventilställdonet utan ett separat drivsteg måste användas.

Det finns även behov av att ta in digitala signaler. För detta ändamål så är 2 st DSDI 130 lämpligt. Dessa är 32 kanalskort med 24 V märkspänning. Här kan behovet av ingångar skifta beroende på antalet lindningskopplarlägen och antal strömlägen. 64 ingångar räcker säkert för samtliga fall.

6.5 Implementeringen av regulatorn

Det första man får göra är att bestämma sig för samplingsfrekvens utgående från kunskaper om processdynamiken. I detta fall finns tillgång till några stegsvarsregistreringar från en ljusbågsugn i Halmstad. (Se bilaga 3). Mätningen har gått till på följande sätt. Genom att köra ned elektroderna i smältan manuellt och sedan slå till automatisk reglering får vi här en bra stegsvarsregistrering. De signaler som vi ser är ingången till regulatorn underst och styrsignalen till ventilen överst. Vi ser här att vi har en utregleringstid på ungefär 1-2 sek.

I figur 12, sid 32, visas ett Bodediagram för det öppna systemet där vi förutsätter att överföringsfunktion för regulatorn $G_R(S) = 1$. Vi ser här att systemet är nära att bli instabilt redan vid så låga frekvenser som 3-4 Hz. Skulle kretsförstärkningen bli för hög får vi instabilitet. Detta gör att man måste vara observant på förstärkningen hos regulatorn så den inte väljs för hög. Man bör också observera att förstärkningen hos processen kan variera ganska kraftigt beroende på vilket skede av nedsmältningsförlloppet man befinner sig i.

Detta medför att vi måste dämpa frekvenser i området 3 Hz och uppåt ordentligt. Därför kan processen inte bli så snabb. En samplingsfrekvens på runt 20 Hz skulle därför kunna räcka till. Enligt en tumregel så skall Nyquistfrekvensen (= samplingsfrekvensen/2) vara 5-20 gånger större än överkorsningsfrekvensen för det öppna kontinuerliga systemet. Detta villkor är här inte helt uppfyllt utan vi kommer att få en Nyquistfrekvens som är 3 gånger större än överkorsningsfrekvensen. Det måste alltså undersökas praktiskt om samplingsfrekvensen är tillräckligt stor. Det är svårt att öka samplingsfrekvensen mer eftersom lasten i MasterPiece då tenderar att bli för hög. Denna samplingsfrekvens kräver dessutom att man gör en speciell programgenerering. Den högsta frekvens som kan uppnås med standard Master är annars 10 Hz. För skänkugnar har man en utregleringstid som är betydligt längre än för ljusbågsugnar. (Se bilaga 4). Här skulle en samplingsfrekvens på 10 Hz räcka och vi skulle kunna använda en standard MasterPiece.

6.6 Församplingsfilter

Man måste tänka på att ha ett rätt dimensionerat församplingsfilter eftersom signalen är mycket rik på övertoner. Församplingsfiltret har man för att undvika vikningseffekter. Vikning kan kort beskrivas som att frekvenser över halva samplingsfrekvensen viks in och tolkas som lägre frekvens inom det nyttiga frekvensområdet.

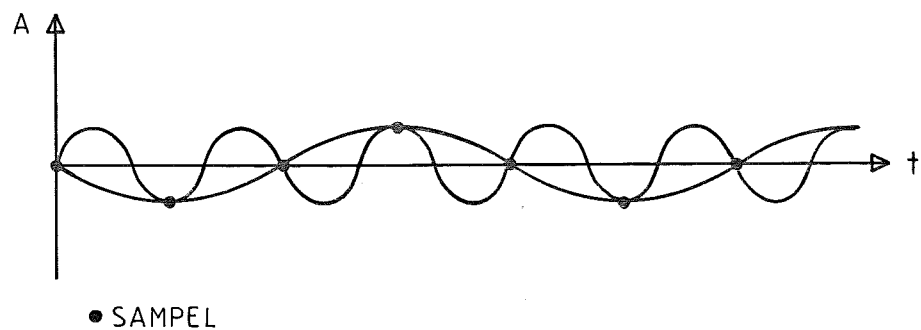


Fig. 7

Två signaler med olika frekvens kan ha samma värde vid alla samplings-tidpunkter

För att undvika detta fenomen så måste alla signaler med högre frekvens än halva samplingsfrekvensen filtreras bort. Vid en samplingsfrekvens på 20 Hz behövs det troligen inget separat församplingsfilter därfor att transformatorer och mätvärdesomvandlare fungerar som filter. Dessutom finns det ett filter på ingången hos DSAI 130 med en brytfrekvens på 6.5 Hz, och dämpningen 40 dB/dekad. Skulle det visa sig att denna filtrering inte räcker till så får man designa ett separat församplingsfilter. Ett lämpligt val kan då vara t ex ett aktivt filter. Man bör dock här se upp så att man inte får för liten fasmarginal och därmed ett instabilt system. Ett annat alternativ är att ha mätvärdesomvandlarna som filter. Enligt konstruktören av mätvärdesomvandlarna (Tillquist I 200 och U 200) så går det att ändra deras tidskonstanter. Det skulle härligen vara möjligt att använda dessa som församplingsfilter och på så sätt slippa att designa separata filter.

Skulle man vilja använda en lägre samplingsfrekvens än 20 Hz för skänkugnar blir det nödvändigt att använda ett separat församplingsfilter. Detta filter dimensioneras så att man får en brytfrekvens som är något mindre än hälften av samplingsfrekvensen men större än överkorsningsfrekvensen. Anledningen till att man vill minska samplingsfrekvensen är att man skulle kunna använda en helt standard MasterPiece och att lasten skulle minska väsentligt.

Skulle lasten minska kunde man använda samma Masterpiece för elektrodregleringen och värmningsstationen och därmed spara kostnaden för en Master.

Här kan det vara lämpligt med ett aktivt filter och man skall även här vara observant på fasmarginalen. Anledningen till att man använder ett aktivt filter är att man skulle få orimligt stora värden på induktanserna i ett Butterworth eller ett Chebyshev filter. De stora induktansvärderna beror på den låga brytfrekvensen.

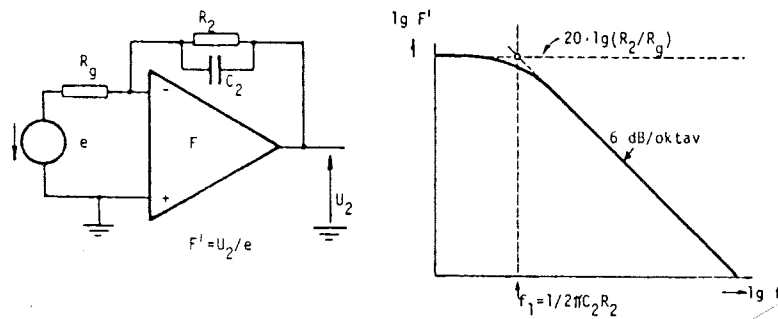


Fig.8
Aktivt filter

Eventuellt kan det vara nödvändigt att kaskadkoppla flera aktiva filter för att få tillräcklig dämpning.

6.7 Programmet

I bilaga 5 redovisas ett förslag till ett Master program för reglering samt för ström och spänningsvisning i en fas.

Tabell 1 innehåller värden för skalning av strömmen beroende på lindningskopplarläge.

Tabell 2 innehåller värden för skalning av strömmen beroende på valt strömläge.

Tabell 3 innehåller värden för skalning av spänning beroende på valt lindningskopplarläge. (Max last lägen).

Tabell 4 innehåller värden för att förändra förstärkningen beroende på valt lindningskopplarläge.

Tabellerna kan göras på följande sätt. På ingång A till en MUX-I lägges t ex valt strömläge. Det datavärde som finns på den adress som valt strömläge representerar kommer då att läggas ut på utgången från MUX:en. Datavärdet är på förhand beräknat och lagrat för att ge en lämplig arbetspunkt för ugnen. De andra tabellerna konstrueras på precis samma sätt.

Skillnaden mellan spänningssvaret och en del av strömsvaret bildas. Denna skillnad får sedan representera mitt är-värde till regulatorn.

Jag har valt att använda en PI-regulator i stället för den PIP som tidigare användes. Anledningen till att man använder en PIP-regulator var problem med integratoruppvridning när ljusbågen slöknade. Detta problem är lättare att ordna i Master än det var med den analoga regleringen.

Här kan man göra på följande sätt. När strömmen blir noll detekteras detta med en komparator och man ger order om nerkörning av elektroden samtidigt som integratordelen nollställs. När strömmen åter börjar flyta normalt slås regulatorn till igen och man börjar åter att reglera utan att få någon "inkopplingsbump". Denna "bump" uppstår om man låter integrationsdelen växa på grund av det stora reglerfelet som uppstår då ljusbågen är släckt. När man sedan slår till regulatorn igen så måste den tömma sin stora integrationsdel innan den kan börja ge order om att köra upp igen. Man har då eventuellt redan kört ned i skrotet och förorsakat en kortslutning eller i värsta fall ett elektrodbrrott.

Man bör också i denna del av programmet observera att det är fördelaktigt att konvertera ett real tal till ett integer före jämförelsen med referensvärdet. Denna konstruktion sparar last på grund av att jämförelse i integer är mycket snabbare än i motsvarande real.

6.8 Idrifttagning

Samplingsfrekvensen är en parameter av stor betydelse. Man bör eftersträva att ha en så hög samplingsfrekvens som möjligt. I detta fall har vi en samplingsfrekvens på ca 20 Hz. Denna samplingsfrekvens är kanske något låg och borde varit upp mot 30-40 Hz istället för att säkert kunna garantera en bra funktion. Skulle det visa sig att 20 Hz är en för låg samplingsfrekvens så yttrar det sig som för stora överslängar hos stegsvaret. Man måste då öka samplingsfrekvensen. Detta kan göras genom att öka samplingsfrekvensen i Mastern men man måste då se upp så att lasten inte blir för stor. Eventuellt kan man bli tvungen att ta bort utgångarna för visning av ström och spänning samt även ta bort för regleringen onödiga programavsnitt.

En annan väg att gå är att försöka använda externa A-D och D-A omvandlare därfor att inläsning och utläsning av digitala signaler i Mastern är mycket snabbare än inläsning och utläsning av analoga.

Det skulle också vara nyttigt att göra en spektralanalys av ström och spänningssignal på strategiska ställen som t ex före och efter filtreringen. Denna analys av signalernas spektralinnehåll skulle ge mycket nyttig information om behovet av ytterligare filtrering för att undvika vikningstendenser.

De vanliga regulatorparametrarna för en PI-regulator, förstärkning och integrationstid, är naturligtvis även för en digitalregulator av central betydelse. Dessa parametrar skall földaktligen ägnas stor uppmärksamhet vid igångkörningen då de är väl så viktiga för en digitalregulator som för motsvarande analoga regulator.

6.9 MasterPiecen's last

Vid val av samplingsfrekvens så har det varit nödvändigt att titta på hur mycket last som fås i MasterPiece. Samplingsfrekvensen är omvänt proportionell mot den scanning time som har valts för programavsnittet för regulatorn.

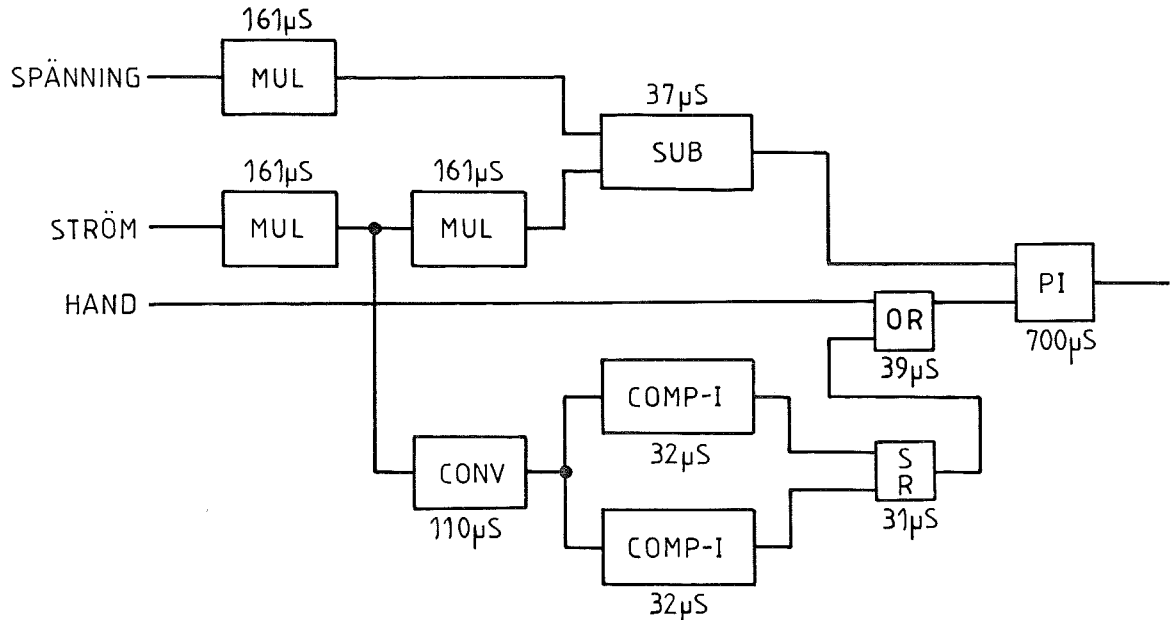


Fig. 9
Regulatorprogrammet (scanning time 50 ms)

För att beräkna lasten i MasterPiecen så måste exekveringstiderna summeras för alla element. In- och utläsningarnas bidrag till lasten måste också uppskattas.

Programavsnittet för regulatorn (scanning time 50 ms)

1.5 ms = totala exekveringstiden för elementen

3 x 3 = 9 ms = maximala exekveringstiden för analoga in och utläsningar

1.5 + 9 / 50 = 21 % last

Programavsnittet för visning av ström (scanning time 200 ms)

1.2 ms = totala exekveringstiden för elementen

3 x 2 ms = 6 ms = totala exekveringstiden för analoga utläsningar

1.2 + 6 / 200 = 3.6 % last

Programavsnittet för tabeller till regulatorn (scanning time 200 ms)

4 x 0.052 = 0.2 ms = totala exekveringstiden för elementen

1 ms = maximala tiden för alla digitala inläsningar

1 + 0.2 / 200 = 0.6 % last

Den totala lasten kommer maximalt att bli $3 (21 + 3.6 + 1) = 77\%$ för dessa programavsnitt. Jag har här räknat med en exekveringstid på 3 ms för en analog in eller utläsning. De produktansvariga uppger att exekveringstiden kan ligga på 2-3 ms. Skulle exekveringstiden vara 2 ms skulle lasten bara bli 54 % och det skulle finnas utrymme för att snabba upp scanning time i programavsnittet för regulatorn. Med en scanning time på 33 ms så skulle vi få en samplingsfrekvens på 30 Hz och troligen en bättre funktion hos regulatorn. Samtidigt skulle lasten inte överstiga 80 % och vi skulle ha en liten marginal kvar.

Enligt detta resonemang så kan vi se att lasten i MasterPiecen till största delen bestäms av vald scanning time för de analoga in och utläsningar som måste göras. Programmet utgör endast en obetydlig del när det gäller lasten. Det är därför möjligt att addera till finesser i regleralgoritmen utan att lasten påverkas nämnvärt. Detta kan vara en fördel om man i framtiden vill göra några förändringar eller kompletteringar.

7. Adaptiv reglering

För att förenkla framtagningen av komplexa regulatorer så försöker man automatisera hela beräkningsproceduren. Detta kan göras genom att förse regulatorn med nödvändiga algoritmer för parameterberäkning och kontrolldesign. Man får då en självinställande regulator som har förutsättningar att ställa in sig själv. En sådan regulator blir mer komplex än en konstant förstärknings regulator. Den kan dock bekvämt implementeras med microprocessorer.

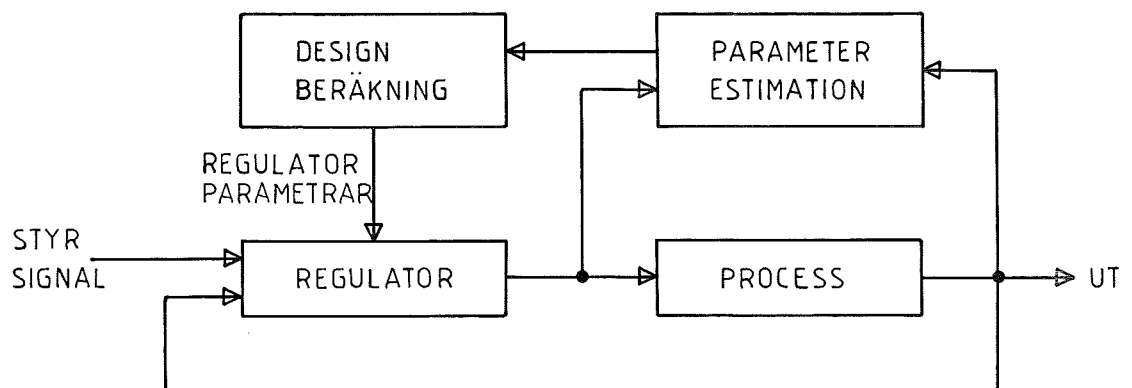


Fig. 10
Självinställande regulator

Med små modifieringar av den självinställande regulatorn får man en adaptiv regulator, som kan klara system med stora parameter variationer.

Med tanke på att kretsförstärkningen varierar vid elektrodreglering då ljusbågsimpedansen försökes hållas konstant så skulle en adaptiv regulator kunna ge en bättre reglering.

8. Novatune

Novatune förefaller att vara ett lämpligt val av adaptiv regulator för elektrodreglering hos ljusbågsugnar. Den är en av de allra första kommersiellt tillgängliga adaptiva regulatorerna. Den är dessutom utvecklad inom ASEA och finns så att säga redan i huset. Försök med Novatune har gjorts i tidigare projekt hos Smedjebacken Boxholm Stål AB, Smedjebacken. Detta projekts målsättning var att utpröva Novatune för elektrodreglering av ljusbågsugnar och skänkugnar. Projektledare var Bertil Göransson (HKC) och som expert på Novatune deltog Mats Westholm (ILN).

Man kopplade Novatunen (Novatune 430) parallellt med den gamla regulatorn. Genom att man hade en enkel omkoppling mellan den gamla regulatorn och Novatunen så kunde man bedriva försök även under produktion. Man slog alltså om till den gamla regulatorn när det började gå dåligt med Novatunen och kunde på så sätt förhindra att större driftstörningar uppstod.

Det program som används under försöket visas i bilaga 6. Man använde sig av en Star 3 modul för att uppnå maximal flexibilitet i parametervalet. Star 1 och Star 2 modulerna tillåter inte lika stora valmöjligheter av parametrar som Star 3 modulen. Ett stort antal parameteransatser gjordes för att hitta den bästa kombinationen och underlätta för Novatunen att identifiera processen. Man lyckades dock aldrig identifiera processen i smältskedet. Man kom fram till att den mest lyckade regleringen nåddes med samplingsintervallet $T_S = 600$ ms och med parametrarna $N_A = 1$, $N_B = 2$, $N_C = 0$ och $K_D = 1$. Detta leder till en prediktionshorisont på $T_S \times K_D = 600$ ms.

Som ledning för prediktionshorisonten kan allmänt sägas att det skall vara så lång tid som det tar för den ostyrda processens stegsvår att uppnå en avsevärd del av slutvärdet. Med tanke på att man har en utregleringstid på 1.8-2.5 s för denna parameteruppsättning så är prediktionshorisonten rimlig. $K_D = 1$ är också rimligt med tanke på att vi har en dötdid som är ca 200-300 ms vilket kan betraktas som försumbar. När man har processer utan dötdid väljs $K_D = 1$. Samplingsperioden T_S väljes som 25 % av önskad insvängningstid utöver dötdiden. Detta leder till att även samplingsperioden är rimlig ty $4 \times 0.6 = 2.4$ s, lika med utregleringstiden.

N_A = antal termer av är värdet

N_B = antal termer av styrvärdet

N_C = antal framkopplingstermer

Det normala valet $N_A = N_B = N_C = 3$ är här inte lämpligt. $N_C = 0$ måste vi ha för att framkoppling är omöjlig i denna tillämpning. N_A och N_B väljs mindre än 3 för att vi skall erhålla en snabbare adaption. Väljs N_A och N_B för stora finns risk att regulatorn försöker fånga upp snabba oönskade moder. Valet $N_A = 1$ och $N_B = 2$ förefaller alltså också rimligt. Alla valda parametrar förefaller alltså lämpligt valda och man kan dra den slutsatsen att man måste ha hittat den "bästa" regulatorn för detta problem. Denna regulator är dock inte tillräckligt bra för att klara av att reglera processen i nedsmältningskedet. Den ger här upphov till skakningar och vibrationer i elektrodarmarna som riskerar att bryta sönder grafitelektroderna.

Följande slutsatser har dragits efter studium av slutrapporten från försöken i Smedjebacken och efter samtal med Anders Åberg (ILN).

1. Novatune är ej lämplig för reglering när processdynamiken varierar alltför snabbt. Därför är den inte lämplig för reglering under det inledande smältskedet i en ljusbågsugn. I detta skede kan processförstärkningen variera så mycket som 30 gånger. Denna variation i förstärkning kan ske flera gånger under en sekund. Novatune hinner då inte med att adaptera, så vi kan alltså få en olämplig regulator i detta skede.
2. Genom att använda en konventionell digital regulator för regleringen under smältprocessen skulle man kunna kringå problemet med adapteringen. Detta visade sig dock svårt att genomföra på grund av den låga samplingsfrekvensen hos Novatune systemet. Man skulle även få problem med lasten. Man skulle vara tvungen att implementera 3 digitala PI-regulatorer i Novatunen förutom Star modulerna och detta kräver en hel del last. Därför kan denna metod ej rekommenderas.
3. Reglering mot blank smälta går bra, i viss mening även bättre än reglering med en konventionell regulator. Detta skulle innebära att Novatune skulle kunna vara ett lämpligt val för reglering av elektroderna hos en skänkugn.

9. Modell för datorsimulering

Syftet med detta modellbygge har varit att få fram en modell lämplig för körning på dator. Med hjälp av modellen skulle nya reglerstrategier kunna testas och även sådana saker som val av samplingsintervall för digitala regulatorer. Ett intressant problem att studera är kopplingen mellan faserna. Därför har stor vikt lagts på modellen av trefas-systemet och dess uppförande.

10. Drivsystemet

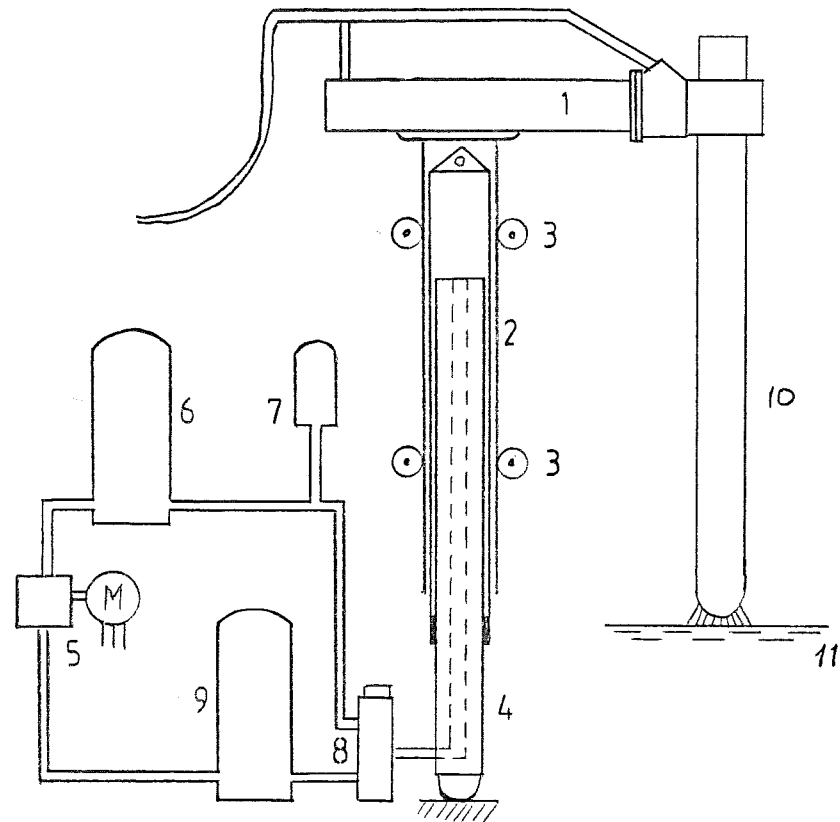


Fig. 11

Hydrauliskt system för inställning av elektrodläget

1 elektrodarmar, 2 elektrodpelare, 3 stödhjul, 4 hydraulcylindrar,
5 högtryckspump, 6-7 högtryckstankar, 8 trevägsventil med ställdon
9 lågtryckstank, (10 elektrod, 11 smälta)

Genom att ställa in avståndet mellan elektrod och smälta kan man bestämma strömmen genom elektroden samt spänningen över ljustubanen och därmed även impedansen. Denna avståndsinställning sker med hjälp av ett hydrauliskt system (se fig 11). En trevägsventil förbinder hydraulcylinderen med antingen en högtryckstank eller en lågtryckstank. Därigenom höjs eller sänks elektroden.

Med hjälp av en strömsignal påverkas ett ställdon som i sin tur påverkar öppningen hos ventilen. Strömsignalen fås från regulatorn som försöker upprätthålla konstant impedans $U/I = \text{konst}$. Strömmen påverkar en spole i ställdonet som är upphängd i fältet från en permanent magnet. Spolen kommer att flytta sig beroende av strömmens storlek och riktning. Rörelsen hos spolen överförs hydrauliskt till ventilen.

11. Överföringsfunktionen för hela systemet

Överföringsfunktionen för hela systemet kan beskrivas som en kaskad-koppling av följande överföringsfunktioner:

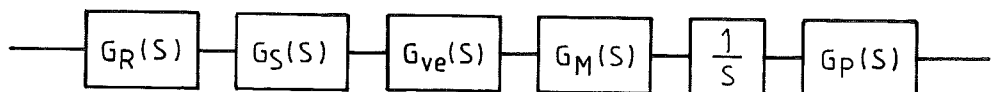
$G_R(S)$ = Regulatorns överföringsfunktion

$G_S(S)$ = Ventilställdonets överföringsfunktion

$G_{Ve}(S)$ = Hydrauliska systemets överföringsfunktion

$G_M(S)$ = Mekaniska systemets överföringsfunktion

$G_p(S)$ = Processens överföringsfunktion (det elektriska 3-fas systemet)



$$G(S) = G_R(S) \cdot \frac{K_S}{1 + S\zeta_S} \cdot \frac{1}{1 + S\zeta_V} \cdot \frac{1}{1 + \frac{2\xi}{\omega}S + \frac{\omega^2}{\omega^2}} \cdot \frac{1}{S} \cdot G_p(S)$$

Sätter vi överföringsfunktionen för regulatorn $G_R(S) = 1$ samt överföringsfunktionen för processen $G_p(S) = kp$ och ritar Bodediagrammet för hela systemet så kommer det att se ut som i fig 12.

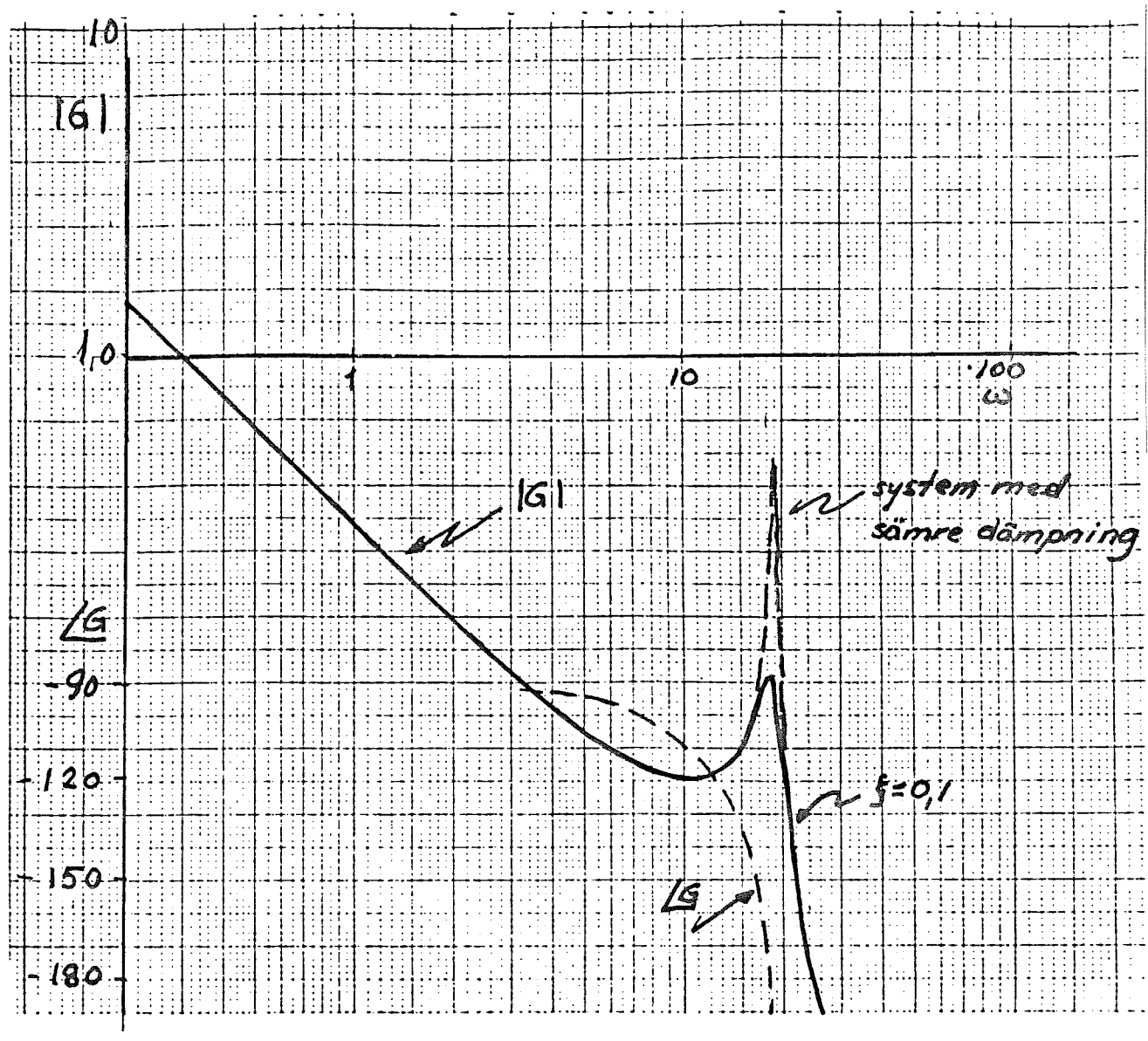


Fig. 12
Bodediagram för hela systemet

I Bodediagrammet kan man se att om kretsförstärkningen väljs för hög kommer vi att få ett instabilt system. Fasvidningen kommer då att överstiga 180° samtidigt som förstärkningen blir större än 1.

I de kommande avsnitten skall en kort förklaring ges till de olika överföringsfunktionerna för de olika blocken. Härledning av ekvationerna finns i PM FAUK 71-5 författat av Kjell Bergman.

11.1 Ventilställdonet

Överföringsfunktionen för ställdonet beskrivs enklast som en funktion som ger ventilarean som en funktion av insignalen från regulatorn.

Inom det frekvensområde som är intressant kan överföringsfunktionen approximeras med en ren tidsfördröjning.

$$G_S(S) = k_s \times e^{-S\tilde{\tau}_s}$$

denna kan approximativt skrivas som

$$G_S(S) = K_s / (1 + S\tilde{\tau}_s)$$

$$\tilde{\tau}_s = 0.035 \text{ s}$$

Bodediagrammet för en sådan funktion har det principiella utseendet som visas i fig 13.

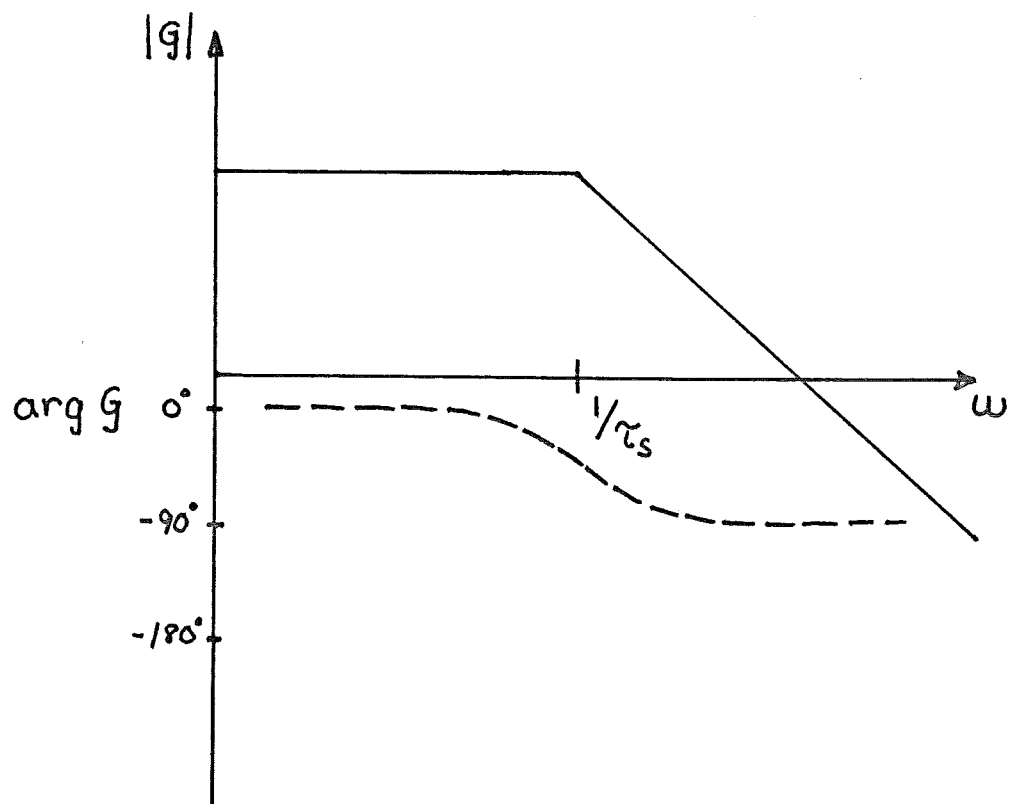


Fig. 13
Bodediagram för ventilställdonet

11.2 Hydrauliksystemet

Om man försummar fjädringen i oljepelaren, lyftcylindern, elektrod-masten och elektrodarmen kan överföringsfunktionen för hydraulik-systemet approximeras med (se PM FAUK 71-5)

$$G_{ve} = 1 / (1 + S \zeta_v)$$

där $\zeta_v = 0.75 \times V_\infty / Am$

ζ_v max = 0.24

V_∞ = sluthastigheten på elektroden vid ett visst ventilläge

Am = maximal acceleration bestämd av hydraultryck och ekvivalent trög massa

Den massa som skall accelereras är vätskepelaren i rörsystemet från högtryckstanken fram till reglerventilen samt pelaren med elektrodarm och elektrod. Det bör observeras att vätskepelaren i rörsystemet omräknad till ekvivalent massa på cylindersidan är av samma storleksordning som vikten av pelare + arm.

Man måste också tänka på att ventilställdonet har vissa begränsningar så som maximal gånghastighet och maximal gångsträcka. Den maximala elektrodhastigheten blir således begränsad av maximal ventilöppning och tillgängligt tryckfall över reglerventilen.

När man studerar småsignalstörningar kan dock ställdonets begränsningar försummas. Bodediagrammet har samma principiella utseende som det för ventilställdonet. (Se fig 13).

11.3 Mekaniska systemet

Det mekaniska systemets dynamiska egenskaper bestäms av fjädringen i elektrodpelare, elektrodarm och hydraulcylinder. De mekaniska svängningar vi får i systemet kommer att medföra avståndsförändringar mellan elektrodspets och smälta. Dessa avståndsförändringar ger upphov till en ändring i ljusbågslängd. Vi får alltså en ändring av impedansen i kretsen.

Dessa svängningar kan beskrivas med en dubbeloscillator enligt fig 14 (se PM FAUK 71-5)

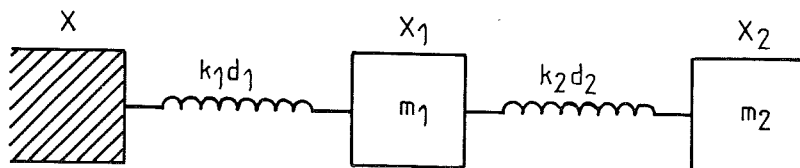


Fig. 14
Dubbeloscillator

k_1 = fjäderkonstanten för vätskepelaren

d_1 = dämpkonstanten för vätskepelaren

m_1 = totala rörliga massan

k_2 = fjäderkonstanten för elektrodpelaren och elektrodarmen

d_2 = dämpkonstanten för elektrodpelaren och elektrodarmen

m_2 = effektiv massa = $1/2$ (elektrodarmsmassan) + elektrodmassan

Denna ansats ger upphov till en $\frac{V}{V}$ fjädeordningens överföringsfunktion

$$G(S) = \frac{b_2 \cdot s^2 + b_1 \cdot s + b_0}{a_4 \cdot s^4 + a_3 \cdot s^3 + a_2 \cdot s^2 + a_1 \cdot s + a_0}$$

där koefficienterna är

$$b_2 = d_1 d_2$$

$$b_1 = k_1 d_2 + k_2 d_1$$

$$b_0 = k_1 k_2$$

$$a_0 = m_1 m_2$$

$$a_3 = m_1 d_2 + m_2 d_1 + m_2 d_2$$

$$a_2 = m_1 k_2 + m_2 k_1 + m_2 k_2 + d_1 d_2$$

$$a_1 = k_1 k_2 + k_2 d_1$$

$$a_0 = k_1 k_2$$

Dessa konstanter kan beräknas med hjälp av följande två ekvationer samt kännedom om resonansfrekvenserna i systemet.

$$k = \omega^2 \times m$$

$$d = 2\zeta \sqrt{k \times m}$$

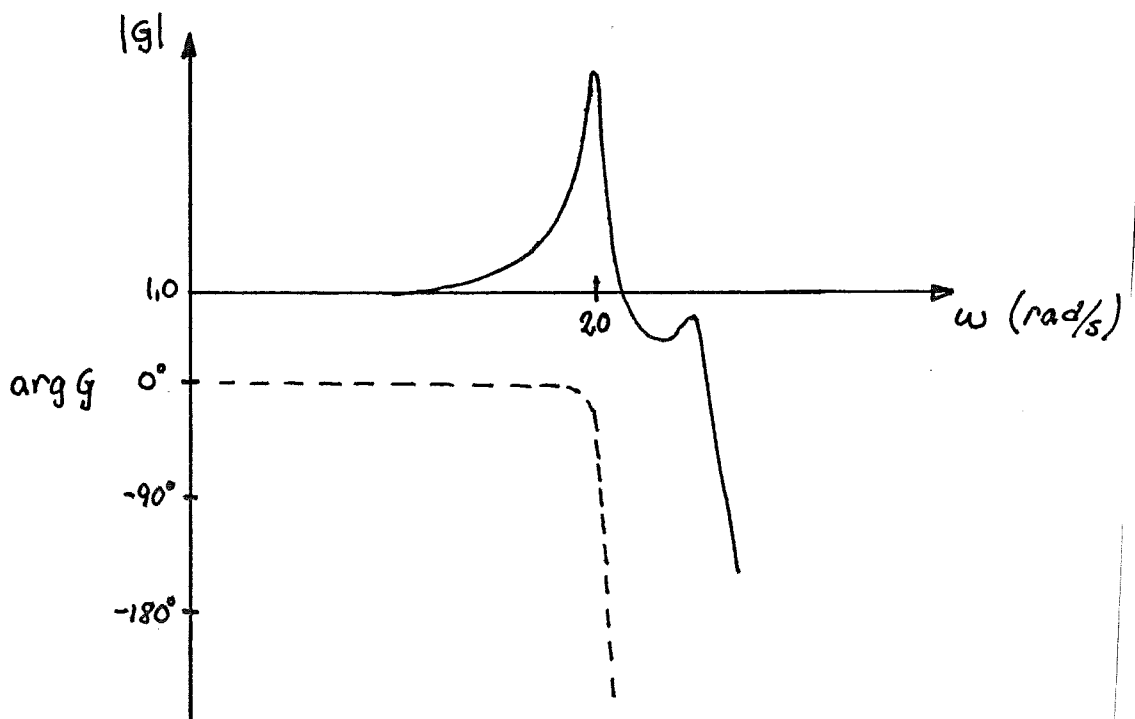


Fig. 15

Bodediagram fjärde ordningens överföringsekvation mekaniska systemet

Vi ser här att det kan vara rimligt att ansätta en andra ordningens överföringsfunktion för praktiskt bruk. Eftersom den andra resonansfrekvensen är ganska hårt dämpad kommer vi att få en snarlik amplitudfunktion med en andra ordningens överföringsfunktion.

$$G_M(s) = \frac{1}{1 + \frac{2\xi}{\omega} s + \frac{s^2}{\omega^2}}$$

$\omega = \text{grundtonen} \approx \sqrt{\frac{k_1}{m_1}} = 30 \text{ rad/sek}$
 $\xi = \text{dämpfaktor} (= 0.1)$

Andra ordningens differentialekvation har ett Bodediagram som kommer att se ut som i fig 16 och vi kan se att avvikelserna från fjärdeordningens Bodediagram inte är så stora.

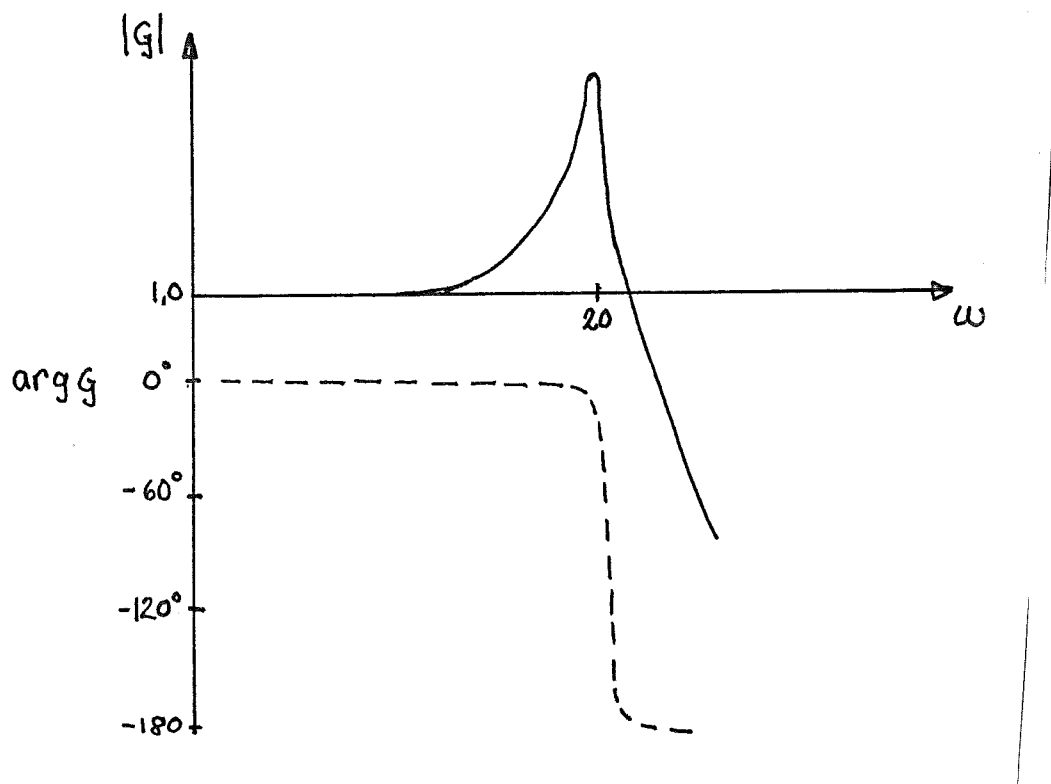
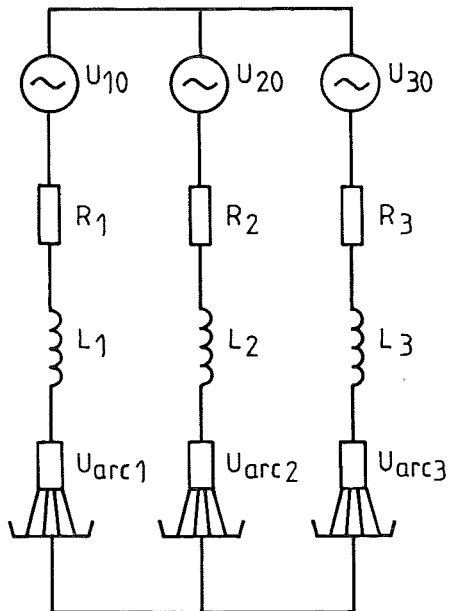


Fig. 16

Bodediagram andra ordningens överföringsekvation mekaniska systemet

11.4 Processen

Processen kan beskrivas som ett trefassystem.



$U_{10}-U_{30}$ är spänningen på transformatorns sekundärsida.

R_1-R_3 är resistansen i tilledare och elektroder

L_1-L_3 är den ömsesidiga induktansen mellan faserna reducerat till fas induktanser

$U_{arc1}-U_{arc3}$ är ljusbågsspänningen

Ljusbågen

Det enda som gör denna krets ovanlig och svår att räkna på är ljusbågarna. En ideal ljusbåge har en $U-I$ karakteristisk enligt figur 17.

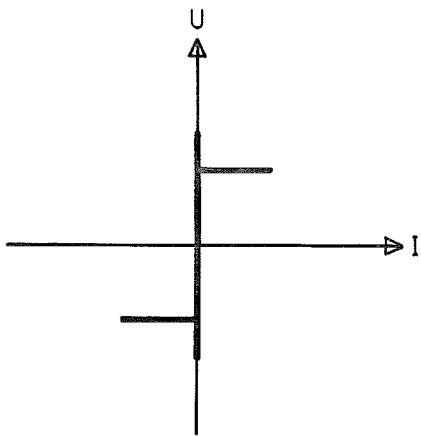


Fig. 17

Ideal U-I karakteristisk för växelströmsljusbåge

Kurvformen för en ideal ljusbåge är som i fig 18.

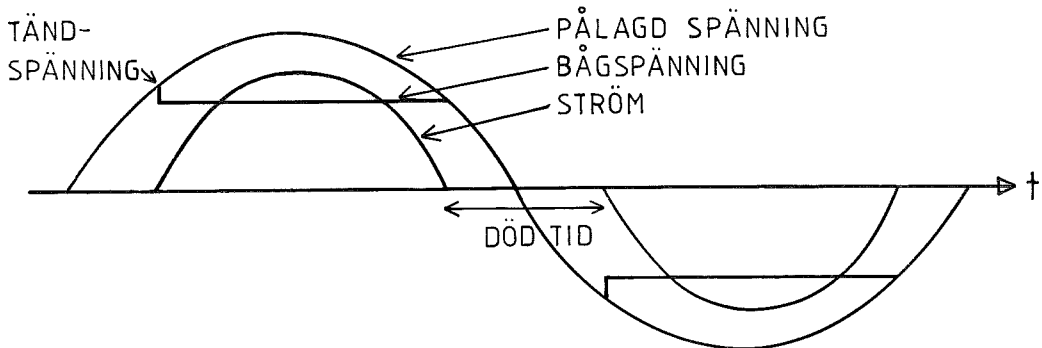


Fig. 18

Idealiserade kurvformer för ström och spänning i ljusbåge matad med växelspänning

Bågspänningen följer pålagd spänning tills att den når tändspänningen. När bågen tänt minskas bågsspänningen och förblir vid ett konstant värde tills att ljusbågen släcknar. Strömmen följer nästan en sinuskurva.

Vid höga temperaturer tänder ljusbågen lättare och dödtiden går mot noll. Detta medför att bågspänningen idealt kan beskrivas som en fyrkantvåg och strömmen som en sinusvåg vid höga temperaturer.

Vid praktiska mätningar finner man att ljusbågsspänningen skiljer sig från den idealala bilden en del. Den skiljer t o m för olika perioder hos samma elektrod. Detta kan bero på en hel del faktorer som t ex elektrodens geometri, temperaturen och krestsreaktansen.

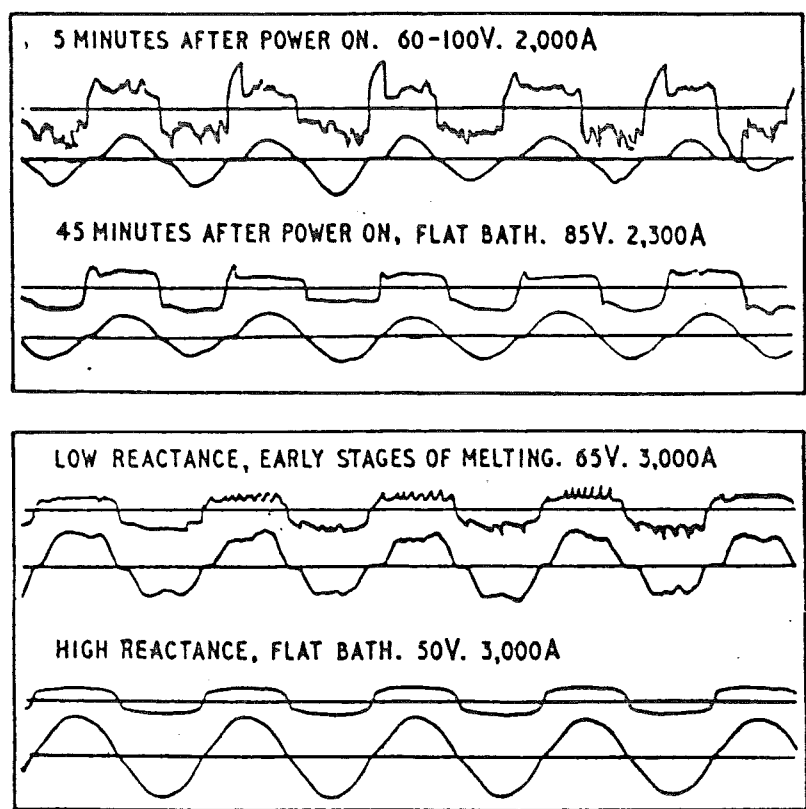


Fig. 19

Registrering av bågspänning och ström

De högfrekventkomponenter som kan observeras hos bågspänningen uppkommer genom att ljusbågen byter fotpunkt och därmed ändras avståndet mellan anod och katod.

Även U-I-karakteristiken skiljer en hel del från idealbilden.

—Dynamic characteristics of furnace arcs: (a) low reactance, early stages of melting, (b) high reactance, early stages of melting, (c) low reactance, molten bath, (d) high reactance, molten bath

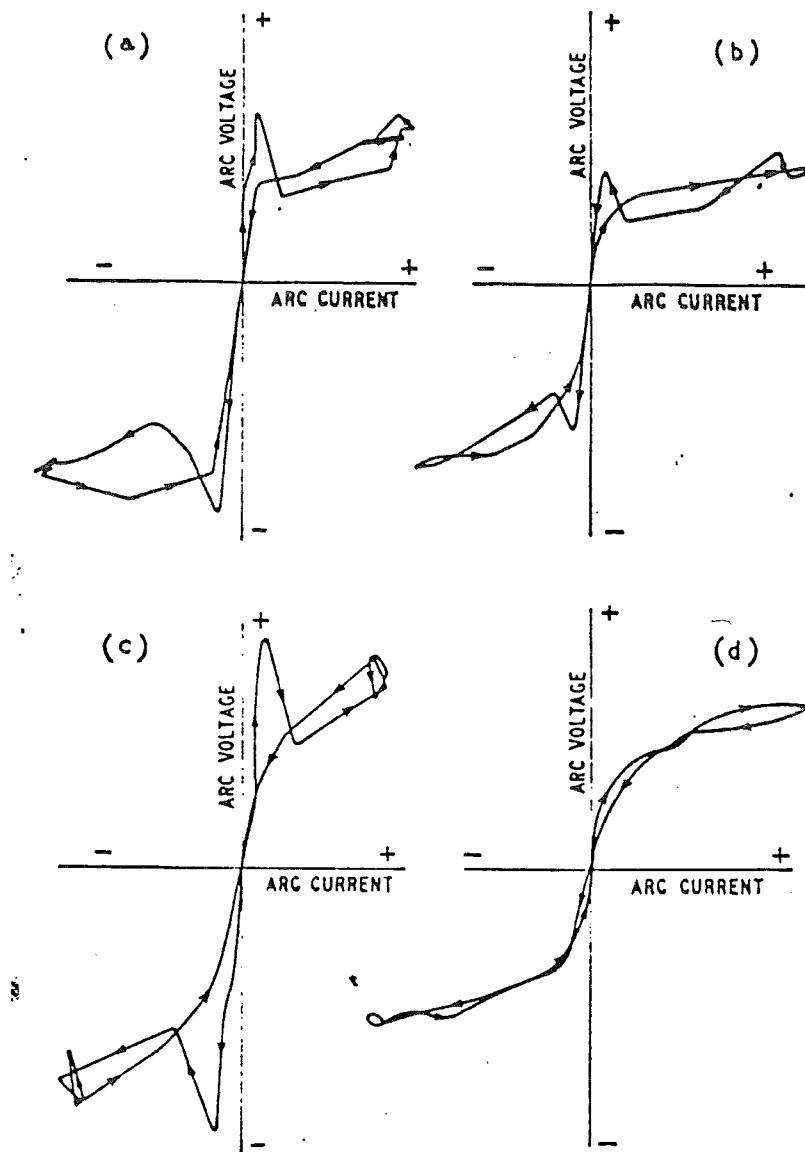


Fig. 20

Registrering av U-I-karakteristik för växelströmsljusbåge

Spanningen i själva ljusbågen kan beskrivas med en karakteristik enligt fig 21. Här kan man se att det finns ett spänningssfall vid katod och ett spänningssfall vid anod som är beroende av avståndet mellan anod och katod.

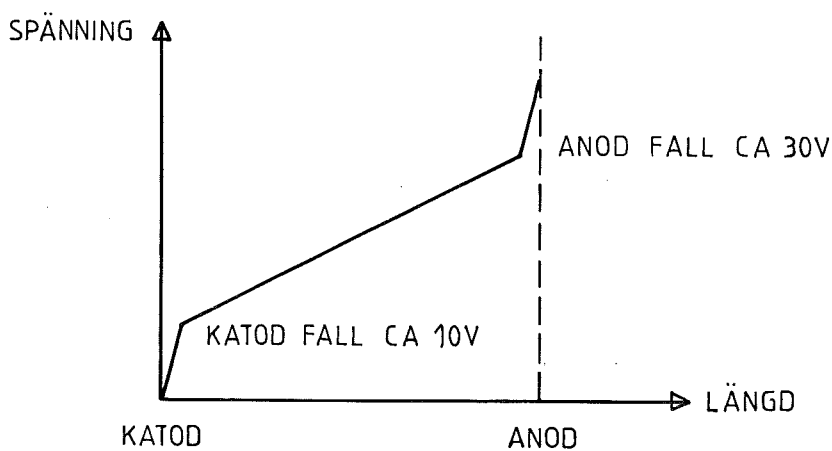


Fig. 21
Spännings karakteristik för ljusbågen

Spänningssfallet vid katoden beror på att det bildas ett tunt skikt (katodfallet) där positiva joner accelereras till energinivåer som är tillräckligt höga för att emittera elektroner av katoden. Man får även en upphettning av katoden på grund av jonbombardemangat.

Vid anoden finns motsvarande skikt (anodfallet) där elektroner med hög hastighet träffar anoden och upphettar denna.

11.4.1 Modell av ljusbågen

Det tidigare behandlade beteendet hos ljusbågen visar att följande modell av bågen skulle motsvara våra krav

$$U_{arc}(l) = k_1 \times l + k_2$$

där $k_1 = 1000 \text{ volt/m}$
 $k_2 = 40 \text{ volt}$
 $l = \text{avståndet i meter mellan anod och katod}$

Detta är den så kallade Cassies bågmodell.

Beräkning av strömmar och spänningar i processmodellen (fig 22).

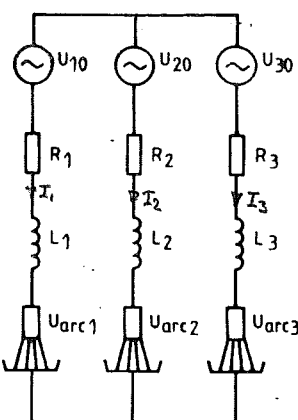


Fig. 22
Processmodellen

För att lösa ut strömmen använder jag Kirchhoffs lagar för ström och spänning. Detta ger

$$\begin{aligned} U_{10} - I_1 R_1 - dI_1/dt L_1 - U_{arc1} &= \\ = U_{20} - I_2 R_2 - dI_2/dt L_2 - U_{arc2} &= \\ = U_{30} - I_3 R_3 - dI_3/dt L_3 - U_{arc3} \end{aligned}$$

och

$$I_1 + I_2 + I_3 = 0$$

där

$$U_{10} = U_o \sin(\omega t)$$

$$U_{20} = U_o \sin(\omega t - 2\pi/3)$$

$$U_{30} = U_o \sin(\omega t - 4\pi/3)$$

$$U_{arc1} = (k_1 * AVS1 + k_2) * \text{sign}(I_1)$$

$$U_{arc2} = (k_1 * AVS2 + k_2) * \text{sign}(I_2)$$

$$U_{arc3} = (k_1 * AVS3 + k_2) * \text{sign}(I_3)$$

U_o, k_1, k_2 konstanter

AVS1, AVS2, AVS3 avstånd mellan anod och katod.

För lösning av ekvationerna måste en dator användas. Möjligheten att använda ett datorprogram kallat SANDYS undersöktes.

12. SANDYS

För att simulera systemet valdes att använda ett program kallat SANDYS (Simulation and Analysis of Dynamic Systems).

SANDYS är ett program för lösning av system av styckvis kontinuerliga differentialekvationer och algebraiska ekvationer. Dessutom kan sk händelser förekomma då t ex parametervärden ändras eller ekvationer byts ut. Programmet klarar även diskontinuiteter i systemekvationerna.

Lösningsmetoden bygger på att användaren beskriver sitt system i ett speciellt simuleringspråk. Dessa systembeskrivningar översättes av en preprocessor till FORTRAN-subrutiner. Dessa rutiner, som även kan bifogas direkt av användaren, infogas i beräkningsdelen, vilken utför tidsintegrationen av systemekvationerna.

Integrationen utföres med hjälp av sk bakåtderiveringsformler.

Indata omfattar dels systembeskrivning given antingen i simuleringspråket eller som färdig FORTRAN-rutin och dels direktiv för hantering av indata, styrning av beräkningen och resultatutmatning. Indata kan sparas och modifieras mellan olika beräkningsfall.

Resultatutmatningen omfattar kontrollutskrifter, tabellutskrifter samt kurvritning av resultat på plotter.

SANDYS förefaller att vara ett utmärkt val för simulerings av detta system. Detta antagande skall efter omfattande försök visa sig felaktigt.

12.1 Programmet

Programmet utför transientanalys av system som kan formuleras som styckvis kontinuerliga system av ordinära differentialekvationer och algebraiska ekvationer av formen:

$$F(y, y', t, a) = 0 \text{ där}$$

F är en vektorvärd funktion av y, y', t och a

$y = y(t)$ är den sökta vektorn av beroende variabler

y' är derivatan av y med avseende på den oberoende variabeln t

a är en vektor av tidsberoende parametrar

Förutom systemekvationerna kan användaren föreskriva ett antal så kallade händelser. En händelse kan inträffa t ex när en ny komponent i den studerade elektriska kretsen kopplas in, när programmet har integrerat fram till en på förhand bestämd tidpunkt, o syl. Dessa yttersta händelser motsvaras av åtgärder som programmet skall företa enligt användarens instruktioner, t ex utföra diskreta ändringar av ekvationer, variabler eller parametrar och därefter återstarta lösningen av systemet.

Åtgärder orsakade av händelser utlöses av så kallade triggfunktioner. Triggfunktionerna får vara av två olika typer, vilka motsvarar fallen att avbrottstidpunkterna är kända i förväg resp att de är bestämda av kända algebraiska/logiska uttryck i y, y', t och a .

SANDYS består av fyra huvuddelar:

- preprocessorn som omvandlar användarens systembeskrivning till ekationsbeskrivande FORTRAN-rutiner
- beräkningsdel som utför tidsintegration av det resulterande systemet
- beräkningsdel som utför frekvensanalys av det resulterande systemet
- resultatbehandlingsprogram för kurvritning och tabellutskrifter

Systembeskrivningen görs i ett användarorienterat simuleringspråk. Detta är konstruerat för att medge enkel formulering av system, bestämda av reglertekniska, elektriska, mekaniska och termiska delsystem och komponenter.

Språket innehåller element för beskrivning av omslagsvillkor och händelser, samt för användning av hjälputtryck. Anrop till egna FORTRAN-rutiner kan också infogas.

Delsystem (sk moduler) kan lagras på bibliotek, vilka sedan kan refereras i överordnade system.

Ett centralet bibliotek med moduler av allmänt intresse finns generellt tillgängligt inom systemet.

Användaren har även möjlighet att själv skriva de ekationsbeskrivande FORTRAN-rutinerna.

Hantering av indata samt styrning av beräkning och resultatutmatning göres med enkla kommandon.

Både preprocessor, beräkningsdelarna och resultatbehandling kan köras såväl i TS som i batch, men initieringen av ett jobb sker alltid från TS.

Vid beskrivningen av systemet har först gjorts försök att beskriva processen och lösa ekvationerna för densamma. Här stötte man omedelbart på problem när man försöker lösa ekvationerna. Från början hade inte teckenskiftningarna hos ljusbågsspänningen (fyrkantvåg) definierats som händelser, se bilaga 7. Detta medförde att beräkningstiderna blev orimliga och det uppstod falska lösningar till diffekvationerna när ljusbågsspänningen ökade. För att kringgå detta problem så definierades teckenskiftningarna som händelser med hjälp av WHEN-satser (se bilaga 8.2 "Fyrkantvåg"). Detta gjorde att det blev möjligt att köra med en större ljusbågsspänning dock inte tillräckligt stor. Även här uppstod problem när ljusbågsspänningen blev stor. Detta yttrade sig på så vis att programmet kom attstå och slå mellan de två tillstånden POS och NEG som definierade positiv respektive negativ halvperiod hos fyrkantvågen. Enligt de programansvariga på KZT är detta fenomen vanligt.

Det enda man kan göra för att undvika problemet är att ha en viss hysteres på omslagsvillkoret för händelserna. Även med mycket stor hysteres kvarstod problemet varför försök att runda av fyrkantvägen gjordes för att den skulle bli lättare att räkna på och därigenom minska problemen. Inte heller detta hjälpte nämnvärt. Dessutom skulle körkostnaderna bli orimligt höga om systemet simulerats i 2-3 sek. Detta ledde till att efter ett otal försök med diverse mer eller mindre bra ansatser till modell av ljusbågen, gavs försöken att simulera processen i SANDYS upp. En av anledningarna till att det blir svårt att räkna på processen är att man har ett dåligt konditionerat system.

Det har även gjorts försök med att ersätta ljusbågen med en ren resistans (se bilaga 8). Denna ansats av ljusbågen är inte riktig därför att ljusbågsspänningen kommer att bli beroende av strömmen. Det gick dock att få en uppfattning om det skulle vara möjligt att simulera hela systemet med den kompletta överföringsfunktionen. Detta system visade sig gå att köra. Det var dock ganska trögt och körkostnaden kom att bli ca 500:- för 2-3 sekunders simulering.

12.2 Resultat av simuleringen

De slutsatser som dragits av försöket att simulera reglerförloppen i SANDYS är följande.

- Det var ej lämpligt att simulera ett system med så stora och ofta förekommande diskontinuiteter som i detta fall.
- Det var ej lämpligt att simulera ett så stort system med så snabba transienter under längre tidsrymder.
- Det är svårt att lära sig alla finesser och knep som skall till för att programmet skall snurra utan hjälp av sakkunniga (avd KZT).

Under slutskedet av mitt arbete har min handledare på LTH i Lund kört en simulering av enbart processen. Denna simulering utfördes med ett programpaket kallat SIMNON. Detta program lyckades lösa ekvationerna på mycket kort tid och med tillfredsställande resultat. Skulle det finnas behov av simuleringar i framtiden så kan körningar med SIMNON eventuellt utföras på ASEA Relays eller ASEA Robotics. Både Relays och Robotics har tillgång till SIMNON programmet.

De slutsatser som kan dras av SIMNON körningen är att modellen av processen i stort sett momentant svänger in sig vid ett steg i ljusbågs-spänningen, samt att påverkan på de andra faserna är ringa vid måttliga stegstörningar.

13. Sammanfattning

Den reglering som används är impedansreglering.

$$U / \sqrt{3} = I \times Z = I \sqrt{R^2 + X^2}$$

Resistansen i ljusbågen är proportionell mot ljusbåglängden och omvänt proportionell mot strömstyrkan. Det går således att reglera strömstyrkan genom att variera ljusbåglängden.

För att beräkna impedansen så måste man ha tillgång till både ström- och spänningssignal. Spänningen mätes på sekundärsidan av ugnstransformatorn så nära elektroderna som möjligt för att undvika spänningsfallet i tilledningarna. Strömmen mätes på primärsidan av ugnstransformatorn. Mätningen sker på primärsidan därför att strömmen där är betydligt lägre än på sekundärsidan. På grund av att mätningen sker på primärsidan måste en skalning av mätsignalen göras, beroende på valt lindingskopplarläge. Detta görs nu med den så kallade mellanströmstransformatorn.

13.1 Utförande med MasterPiece

För den nya regulatorn har ström och spänningsmätningen gjorts om. Detta redovisas i fig 6 avsnitt 6.1 och 6.2. Bland annat har ett antal mellanströms och spänningstransformatorer tagits bort.

Som regulator har Asea MaterPiece 260 valts. Denna bestyckas med analoga och digitala in- och utgångskort. Detta redovisas i avsnitt 6.3 och 6.4.

Signalerna till regulatorn sampelas med en frekvens av minst 20 Hz. Detta medför att en speciell systemgenerering i MasterPiece måste göras för att klara denna höga samplingsfrekvens. Den högsta samplingsfrekvensen är annars 10 Hz.

För att kunna garantera att regulatorn säkert kommer att fungera skulle en samplingsfrekvens som är betydligt större än 20 Hz används. Detta är tyvärr ej möjligt på grund av att lasten i MasterPiece då skulle bli för hög.

På grund av den relativt låga samplingsfrekvensen blir förfiltreringen av signalen av vital betydelse för funktionen. Filtreringen måste verka på signaler över halva samplingsfrekvensen för att undvika vikning. Det är samtidigt viktigt att ingen information med lägre frekvens än 2-4 Hz filtreras bort för att systemet skall behålla sin snabbhet. Det visar sig att mätvärdesomvandlarna tillsammans med ett filter på ingångskortet i MasterPiece'n ger lämplig filtrering vid 20 Hz samplingsfrekvens. Detta redovisas i avsnitt 6.5 och 6.6.

Programmet i MasterPiece'n redovisas i bilaga 5 samt avsnitt 6.7. Programmet skall sköta all skalning av signaler som tidigare utförts med omkopplingar i resistansnät och mellanströmstransformatorer. Den PIP-regulator som användes i Combitrol har här ersatts av en regulator av PI-typ. Detta är möjligt på grund av att det är lättare att förhindra integratoruppvridning i MasterPiece än tidigare i Combitrol.

Skulle ingen hänsyn tas till integratoruppvridningen skulle man erhålla så kallade "inkopplingsbumpar" när ljusbågen tänder. Detta skulle kunna leda till haverier i form av elektrodbrott.

13.2 Användning av Novatune

Utvärderingen av ett tidigare försök med Novatune visade att denna inte var lämplig för reglering av ljusbågsugnar. Det skulle dock kunna gå att använda Novatune för reglering av skänkugnar. Denna utvärdering kan kort sammanfattas i tre punkter.

1. Novatune är ej lämplig för reglering när processdynamiken varierar alltför snabbt. Därför är den inte lämplig för reglering under det inledande smältskedet i en ljusbågsugn.

2. Genom att använda en konventionell digital regulator för regleringen under smältprocessen skulle man kunna kringgå problemet med den snabbt varierande processdynamiken i smältskedet. Detta visade sig dock svårt att genomföra på grund av den låga samplingsfrekvensen och den höga last man skulle fått i Novatune systemet.
3. Reglering mot blank smälta går bra. Detta skulle innebära att Novatune skulle vara lämplig för reglering av elektroderna hos en skänkugn.

13.3 Modell för datorsimulering

Modellen för datorsimulering skulle vara ett hjälpmittel för att undersöka nya reglerstrategier och inverkan av samplingsfrekvensen för en digital regulator. Modellen består av ett antal block (se avsnitt 11) där varje block beskriver ett delsystem. De olika blocken beskriver regulatorn, ventilställdonet, hydrauliska systemet, mekaniska systemet och processen. Regulatorn beskrivs i fallet med MasterPiece'n av en digital PI-regulator och i fallet med Novatune av en Star 3 modul. Regulatorn är alltså det block som varierar i modellen beroende på vad man vill undersöka. Ventilställdonet kan beskrivas med en första ordningens överföringsfunktion. Det samma gäller för det hydrauliska systemet. Det mekaniska systemet beskrivs med en andra ordningens överföringsfunktion. Processen beskrivs med ett trefassystem i form av olinjära differentialekvationer. Dessutom ingår en integrerande länk i beskrivningen.

För att kunna lösa dessa ekvationer måste datorhjälp tillgripas. Valet av program för ekvationslösningen föll på ett program paket kallat SANDYS. SANDYS är ett simuleringsprogram för lösning av styckvis kontinuerliga differentialekvationer och algebraiska ekvationer. Till att börja med såg det ut som om SANDYS skulle klara att lösa ekvationerna, men efter ett otal försök konstaterades att SANDYS inte klarade detta. Detta berodde främst på att ekvationssystemet var för stort, hade för stora diskontinuiteter och att tidsrymden för simuleringen var för lång. Därför blev körkostnaderna orimligt stora och arbetet med simuleringarna avbröts efter att alla rimliga möjligheter till lösningar undersökts.

14. Referenser

Bergman K.

Elektrodreglering vid ljusbågsugnar. Reglerprinciper och reglerprestata.

PM FAUK 71-5, ASEA

Bergman K.

Elektrodreglering vid ljusbågsugnar. Kursdokumentation för igångkörnings- och anläggningsspersonal.

TR FAUK 75-6, ASEA

Siemens AG

Simelt elektrodenregelung für Lichtbogenöfen.

E 275/REF.B3.4.33/Dö

ASEA YLAD

Elektrodregulator för ljusbågsugn. Igångkörningsanvisning.

Information YL 411-101

ASEA YLA

Elektrodregulator för ljusbågsugn. Beskrivning.

Information YL 411-301

Von Ch.v. Dunski, Lüttich, und H. Krabiell, Herdecke (Ruhr)

Untersuchungen über das Lichtbogenverhalten in einem dreiphasigen
Lichtbogenöfen mit Hilfe einer Hochgeschwindigkeitskamera.

Internationale Zeitschrift für ELEKTROVÄRME

Band 21 (1963) Nr. 11

J. Ravenscrott

ARC investigations in steel-making furnaces.

Electrical Review 14 Sep. 1962

M. Sakulin

Studie über das elektrische verhalten des Dreiphasen-lichtbogenofens.

Union internationale d'elektrothermie 10th.

Congress June 18-22 1984 Poster Nr. 2.2.6

von F. Milde und K. Bretthaver

Teil 1-3: Optimierung der Anordnung der Hochstromleiter von Drehstromlichtbogenöfen.

Elektrowärme international 41 1983 B4-B6 Aug.-Dec.

K-J. Åström, B. Wittenmark

Computer controlled systems theory and design.

Prentice-Hall, Inc.

L. Friis

Modell för simulering av trefas växelströmsljusbågsugn.

TR k445 6631-6054

Y. Sundberg

Elektrodugnar och induktiva omrörare.

Ugnsbyrån, ASEA

Arterna nummer	Arterna namn	Vikt. Wt.	Görande
1. BI.3-6. 8-19 Ändr	YLKD	22.24	
2. BI.2. 9-15. 17-19 Ändr.	YLKD	22.37	
3. BI.3. 11. 15. 19 ä	YLKD	28.13	
4. BI.11. 14. 15. 18 och 19 Ändr.	YLKD	29.14	

Sheet
Blad

1 *Table of contents*
Innehållsförteckning

Table of contents

Innehållsförteckning

Arterna nummer	Arterna namn	Vikt. Wt.	Görande
1. BI.3-6. 8-19 Ändr	YLKD	22.24	
2. BI.2. 9-15. 17-19 Ändr.	YLKD	22.37	
3. BI.3. 11. 15. 19 ä	YLKD	28.13	
4. BI.11. 14. 15. 18 och 19 Ändr.	YLKD	29.14	

- 1 *Table of contents*
Innehållsförteckning
- 2
- 3 *Block diagram*
Blockschema
- 4 *External connections (Electrode 1)*
Yttre anslutningar (Elektrod 1)
- 5 *External connections (Electrode 2 + Test points)*
Yttre anslutningar (Elektrod 2 + Testuttag)
- 6 *External connections (Electrode 3 + Power input)*
Yttre anslutningar (Elektrod 3 + Spänningsingång)
- 7 *Power unit*
Effektspeg
- 8-11 *Electrode 1*
Elektrod 1
- 12-15 *Electrode 2*
Elektrod 2
- 16-19 *Electrode 3*
Elektrod 3

5731 0173-AHB

ASEA

Proj. Dept.	Kretsschema	Circuit diagram
YLKD		
At time		
1972 05	Vocla Wach	Konstr. Gr. Design aktie
		Num. of Drawing aktie
		Mr. Drawn
		E.K.
		Blad Sheet Form. Cont.
	3	4

Block diagram
Blockschema

1

2

3

4

5

6

7

8

9

10

11

12

13

14

15

16

17

18

19

20

21

22

23

24

25

26

27

28

29

30

31

32

33

34

35

36

37

38

39

40

41

42

43

44

45

46

47

48

49

50

51

52

53

54

55

56

57

58

59

60

61

62

63

64

65

66

67

68

69

70

71

72

73

74

75

76

77

78

79

80

81

82

83

84

85

86

87

88

89

90

91

92

93

94

95

96

97

98

99

100

101

102

103

104

105

106

107

108

109

110

111

112

113

114

115

116

117

118

119

120

121

122

123

124

125

126

127

128

129

130

131

132

133

134

135

136

137

138

139

140

141

142

143

144

145

146

147

148

149

150

151

152

153

154

155

156

157

158

159

160

161

162

163

164

165

166

167

168

169

170

171

172

173

174

175

176

177

178

179

180

181

182

183

184

185

186

187

188

189

190

191

192

193

194

195

196

197

198

199

200

201

202

203

204

205

206

207

208

209

210

211

212

213

214

215

216

217

218

219

220

221

222

223

224

225

226

227

228

229

230

231

232

233

234

235

236

237

238

239

240

241

242

243

244

245

246

247

248

249

250

251

252

253

254

255

256

257

258

259

260

261

262

263

264

265

266

267

268

269

270

271

272

273

274

275

276

277

278

279

280

281

282

283

284

285

286

287

288

289

290

291

292

293

294

295

296

297

298

299

300

301

302

303

304

305

306

307

308

309

310

311

312

313

314

315

316

317

318

319

320</

5731 0173-AHB

No. No.	Kabel leitung	Az Verteil. Vor	Bet. Durch. Vor	Cable length
1 Ändr.		22-24	XLT	

X1. ELECTRODE VOLTAGE 0-24V
1 0V
2 24V
3 10V
4 0V
5 10V
6 0V
7 0V
8 0V
9 0V
10 0V
11 0V
12 0V
13 0V
14 0V
15 0V
16 0V
17 0V
18 0V
19 0V
20 0V
21 0V
22 0V
23 0V
24 0V
25 0V
26 0V
27 0V
28 0V
29 0V
30 0V
31 0V
32 0V
33 0V
34 0V
35 0V
36 0V
37 0V
38 0V
39 0V
40 0V

IMP 1 MAN
IMP 1 MAN
IMP 2 PROGR
IMP 2 MAN
IMP 3 PROGR
IMP 3 MAN
IMP 4 PROGR
IMP 4 MAN
IMP 5 PROGR
IMP 5 MAN
IMP 6 PROGR
IMP 6 MAN
IMP 7 PROGR
IMP 7 MAN
IMP 8 PROGR
IMP 8 MAN

No. No.	Kabel leitung	Az Verteil. Vor	Bet. Durch. Vor	Cable length
1 Ändr.		22-24	XLT	

YL-KD
1972 05
L.Pettersson

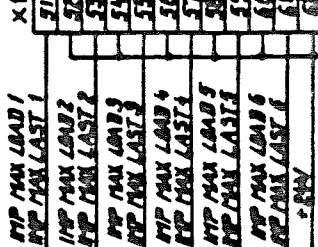
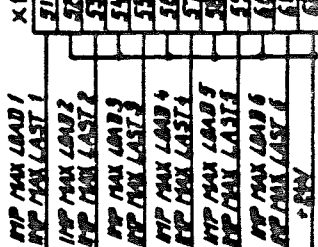
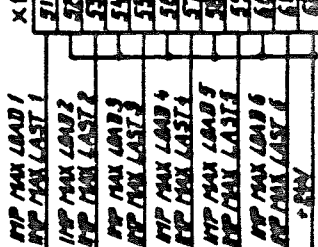
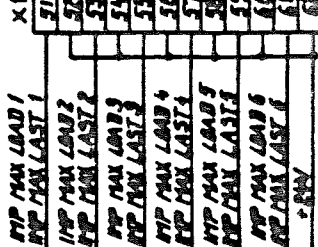
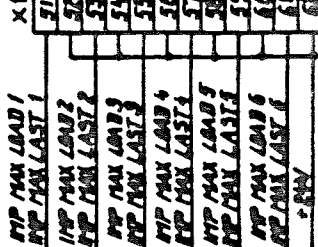
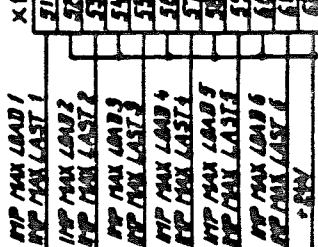
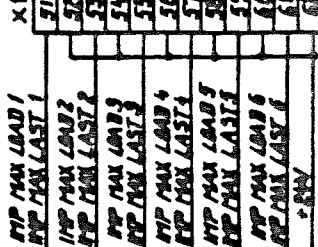
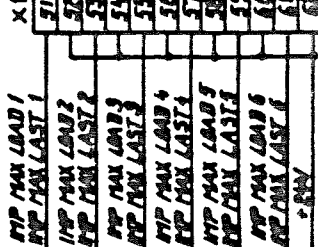
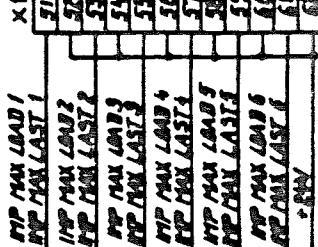
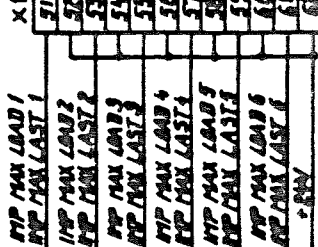
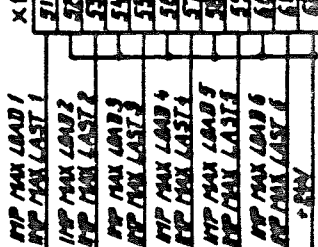
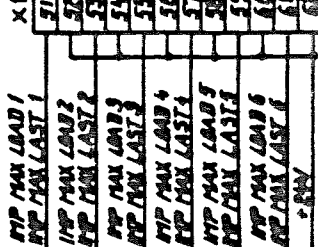
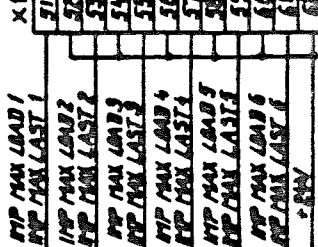
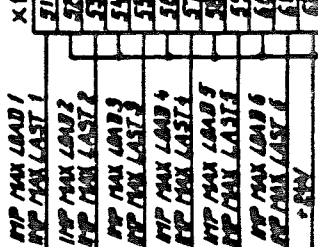
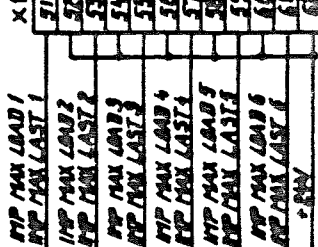
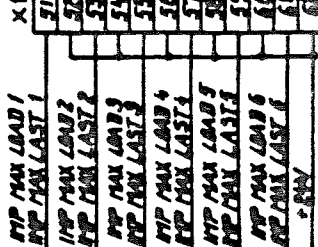
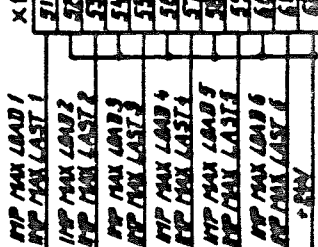
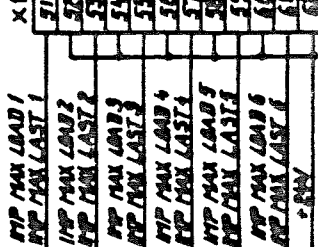
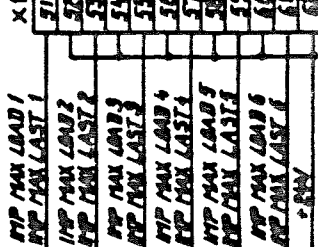
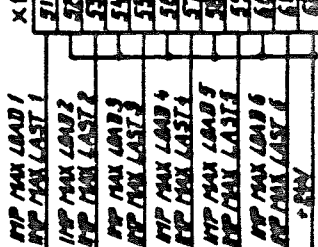
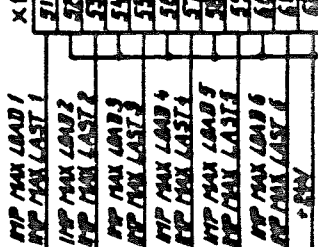
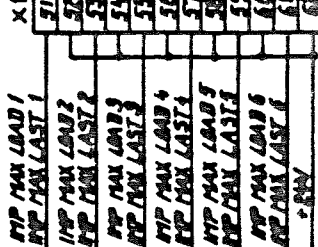
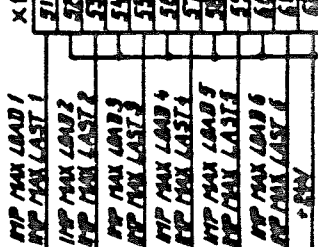
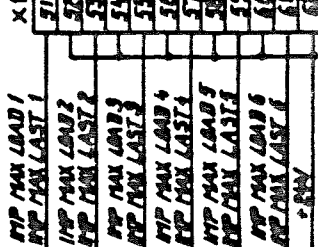
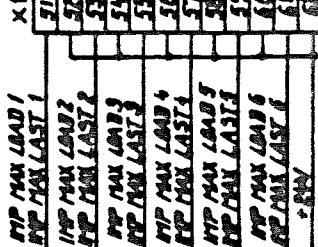
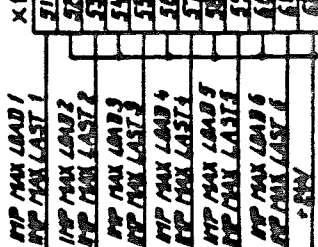
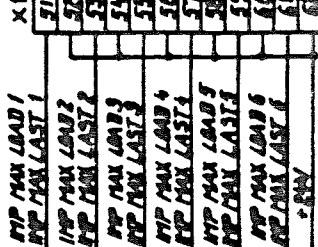
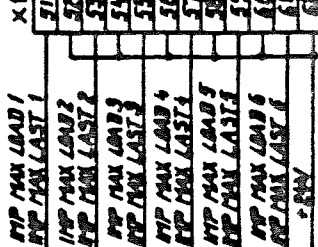
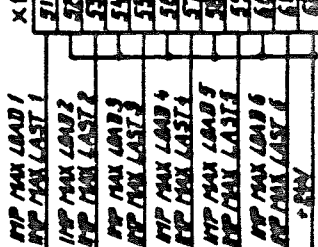
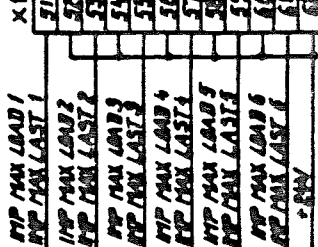
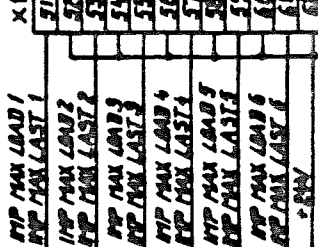
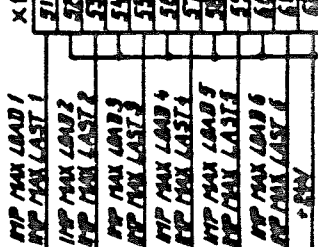
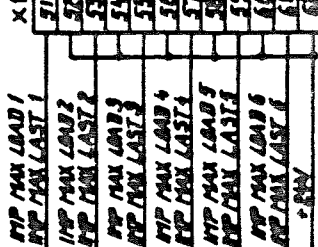
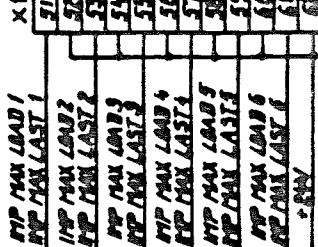
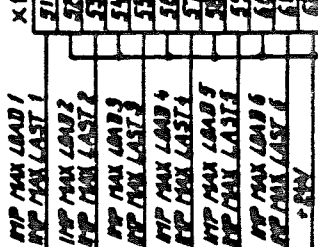
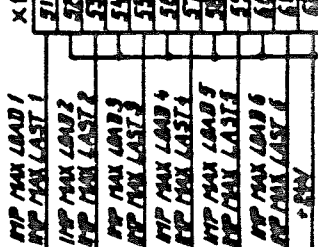
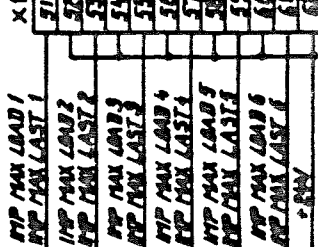
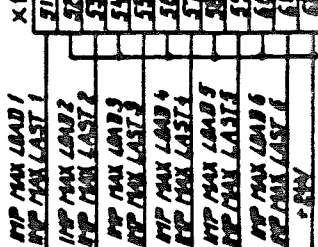
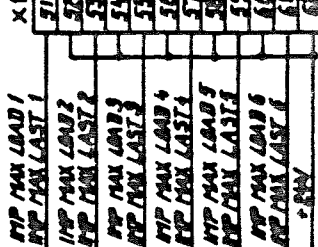
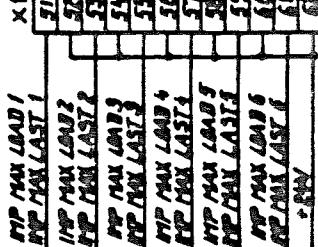
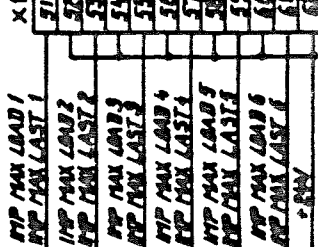
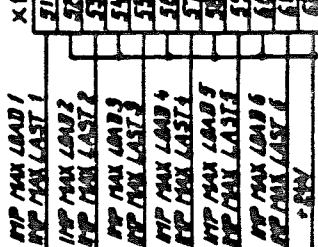
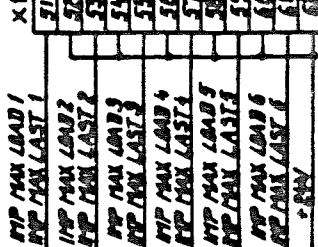
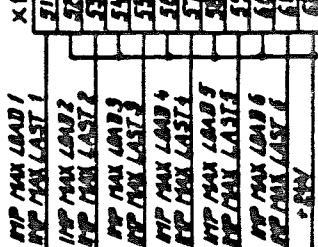
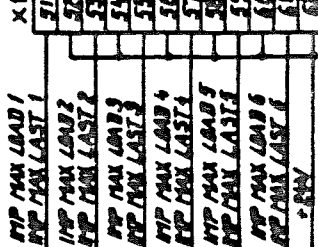
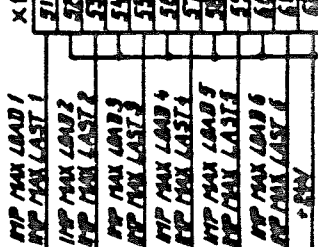
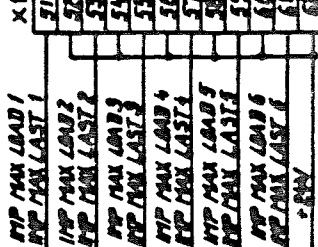
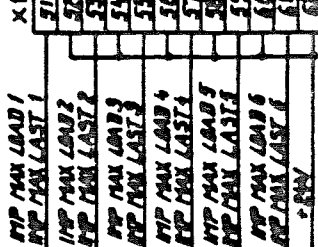
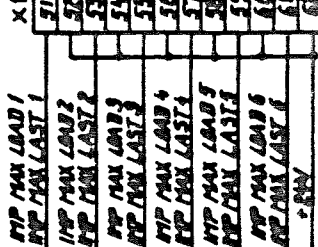
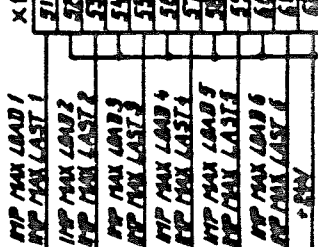
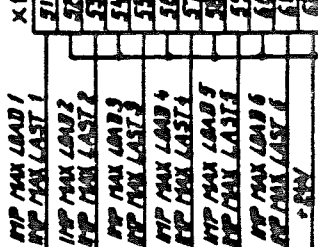
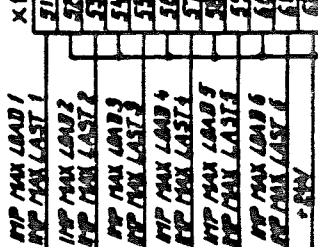
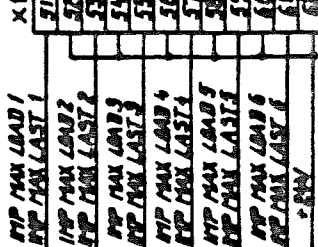
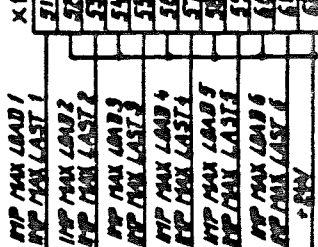
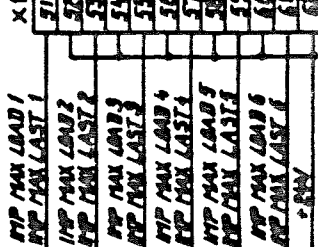
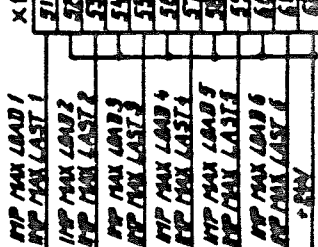
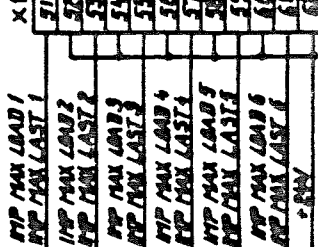
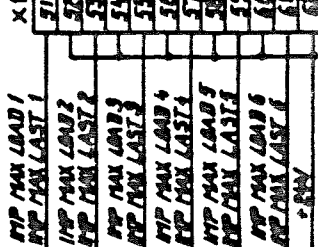
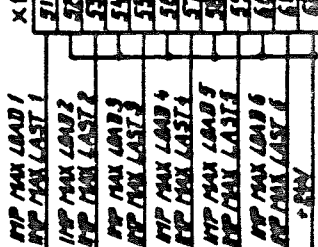
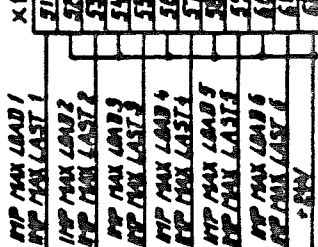
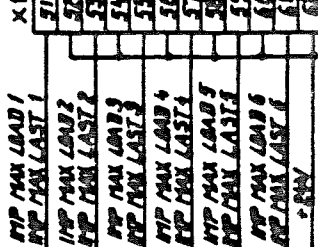
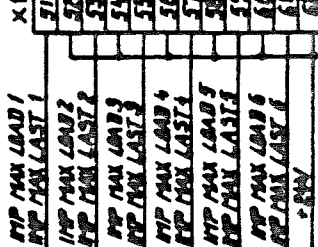
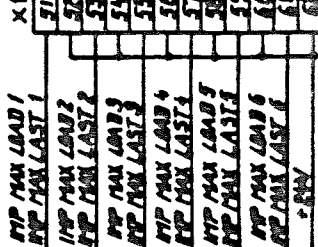
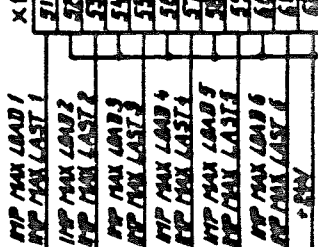
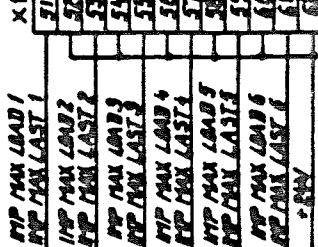
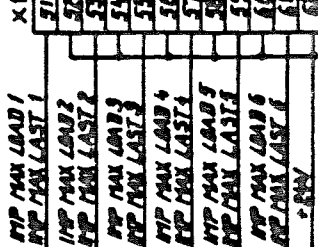
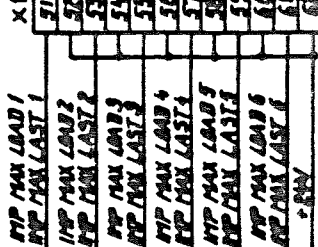
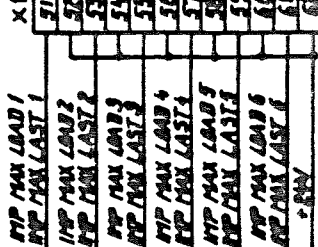
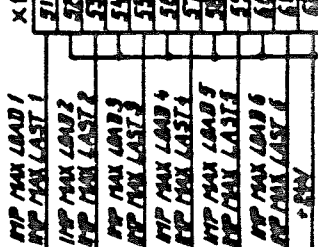
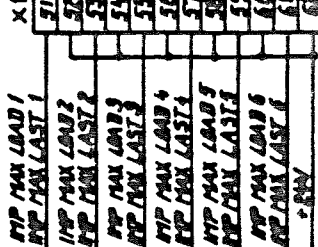
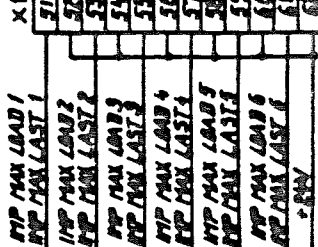
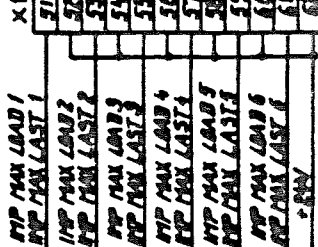
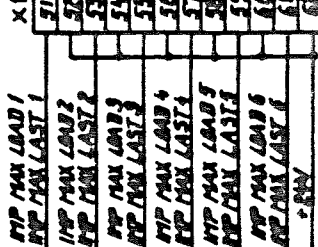
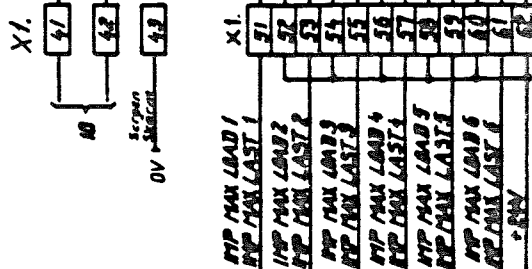
Kreisschema Circuit diagram
External connections Electrode 1
Ytter anslutningar Elektrod 1

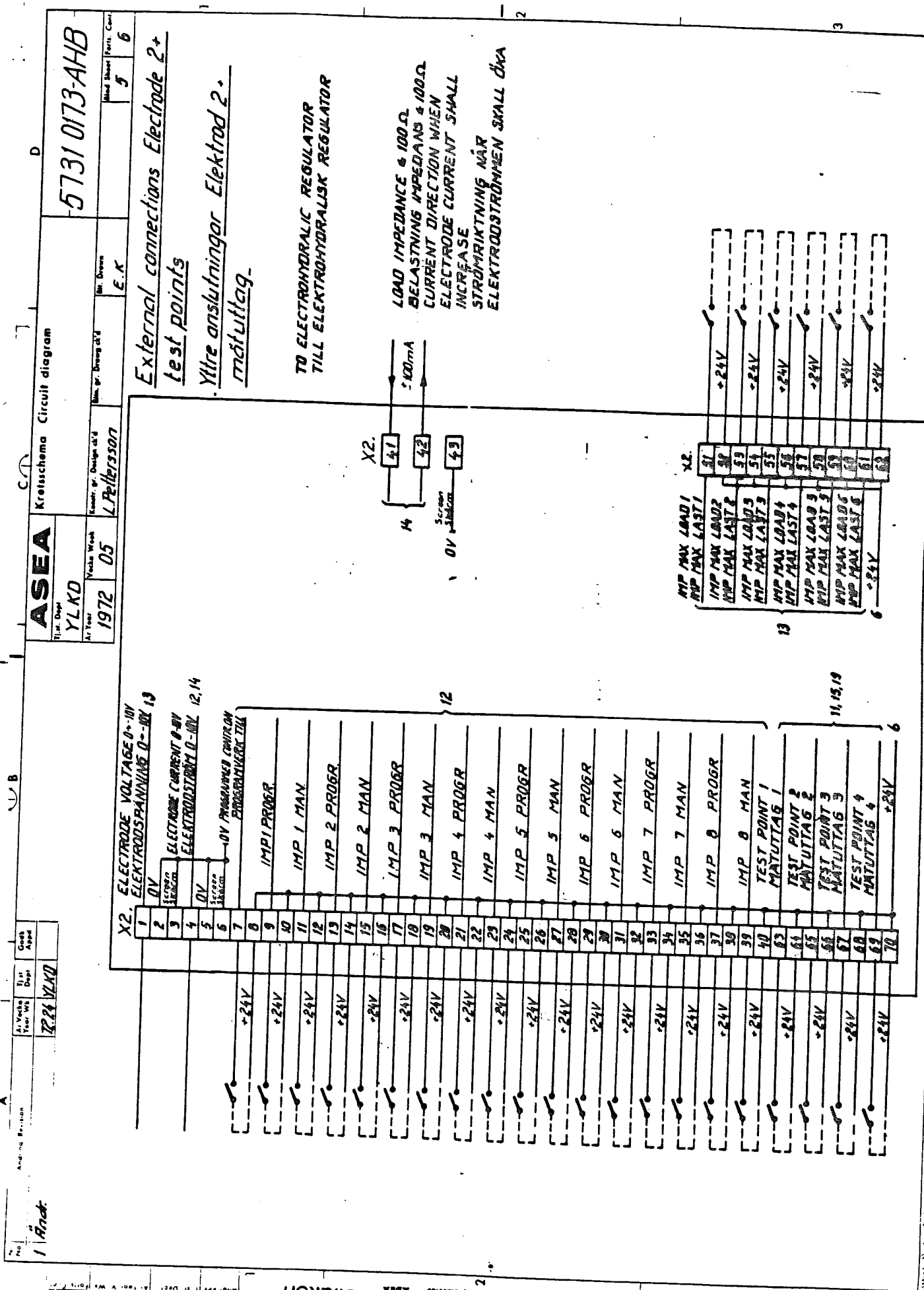
Bildkort

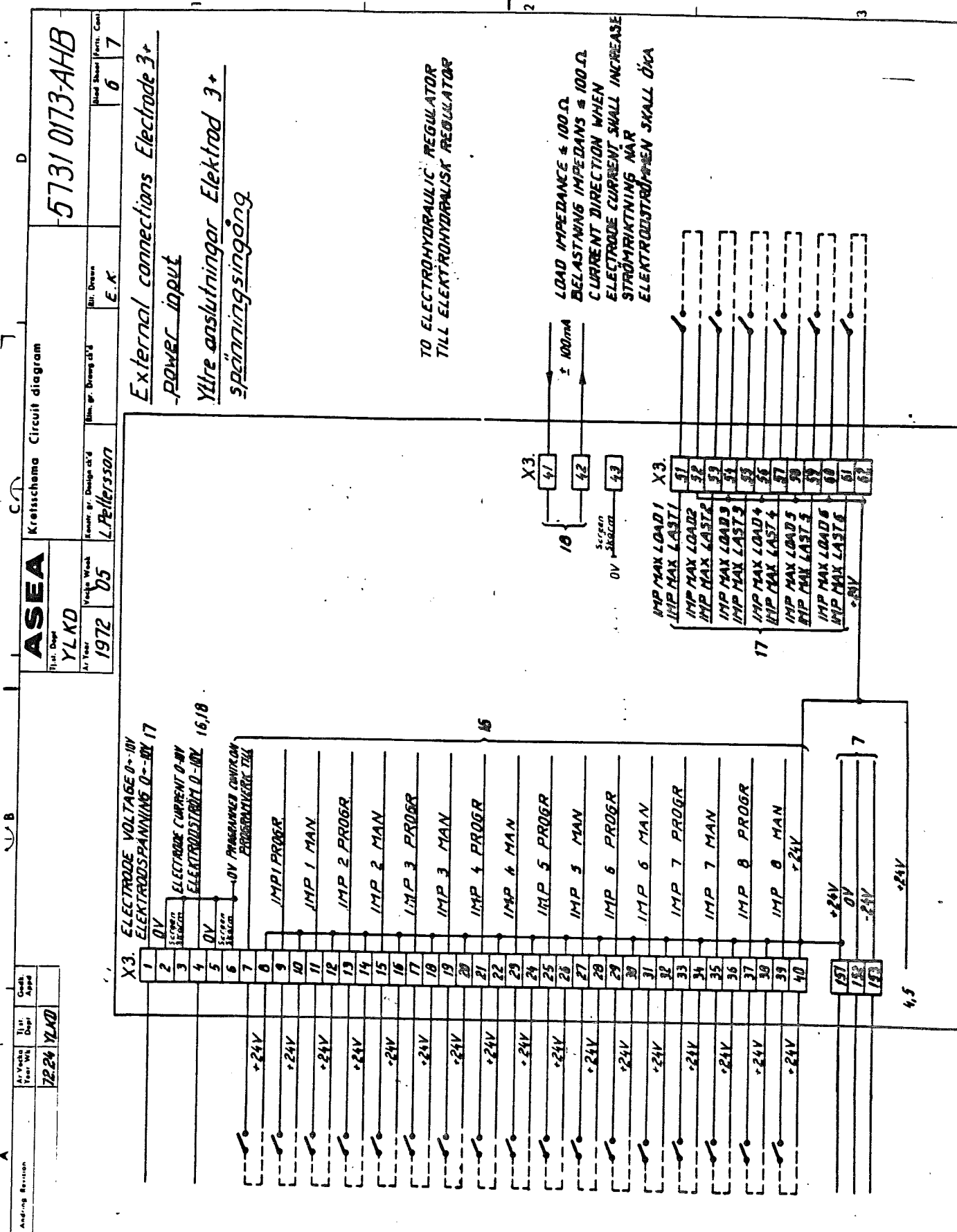
Diagramm zeigt die Verbindungen ASEA
Zwischen dem Anschluss und den einzelnen
Teilen des Schalters. Die Verbindungen
sind so gezeichnet, dass sie leicht
abgetrennt werden können.

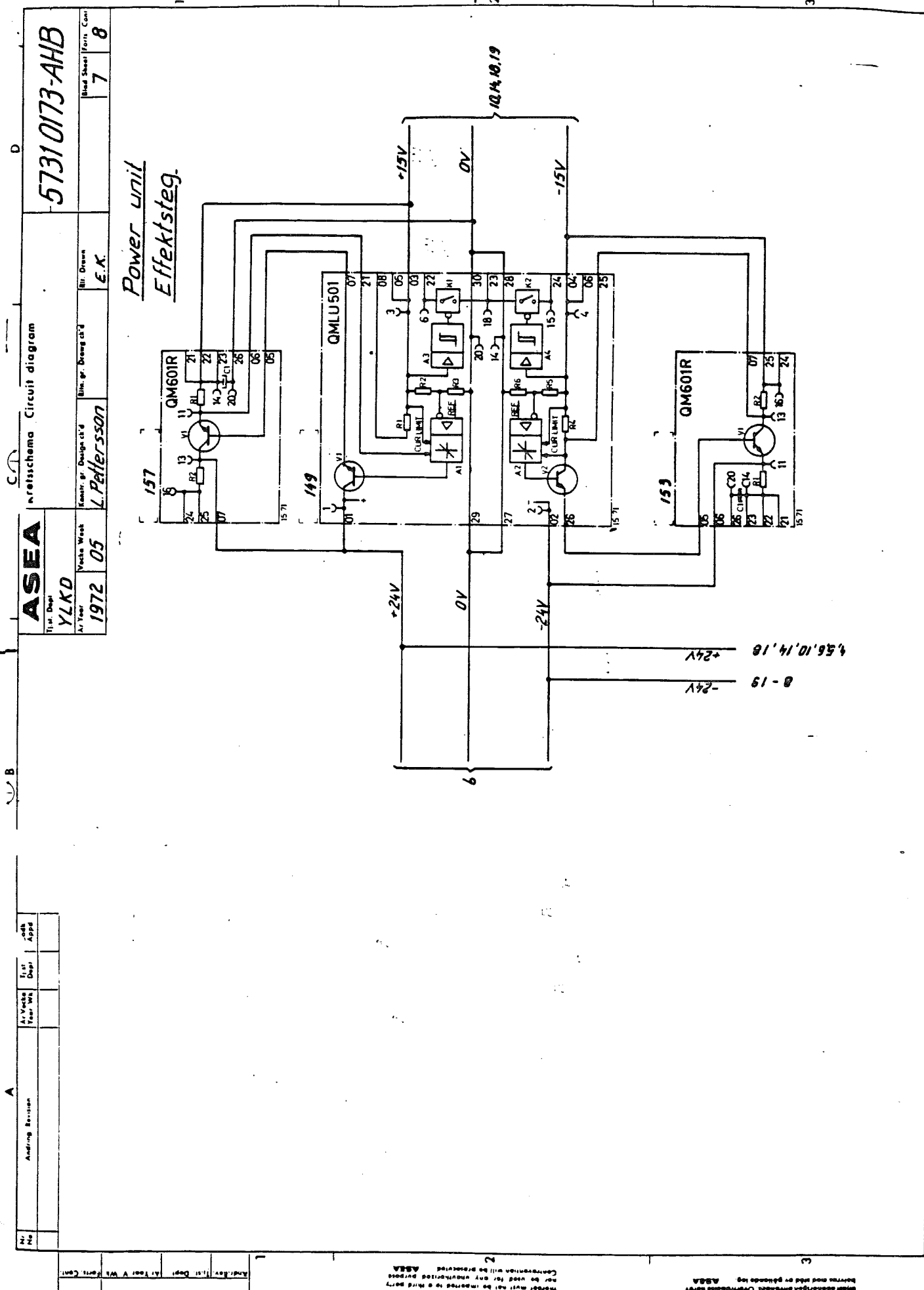
Diagramm zeigt die Verbindungen ASEA
Zwischen dem Anschluss und den einzelnen
Teilen des Schalters. Die Verbindungen
sind so gezeichnet, dass sie leicht
abgetrennt werden können.

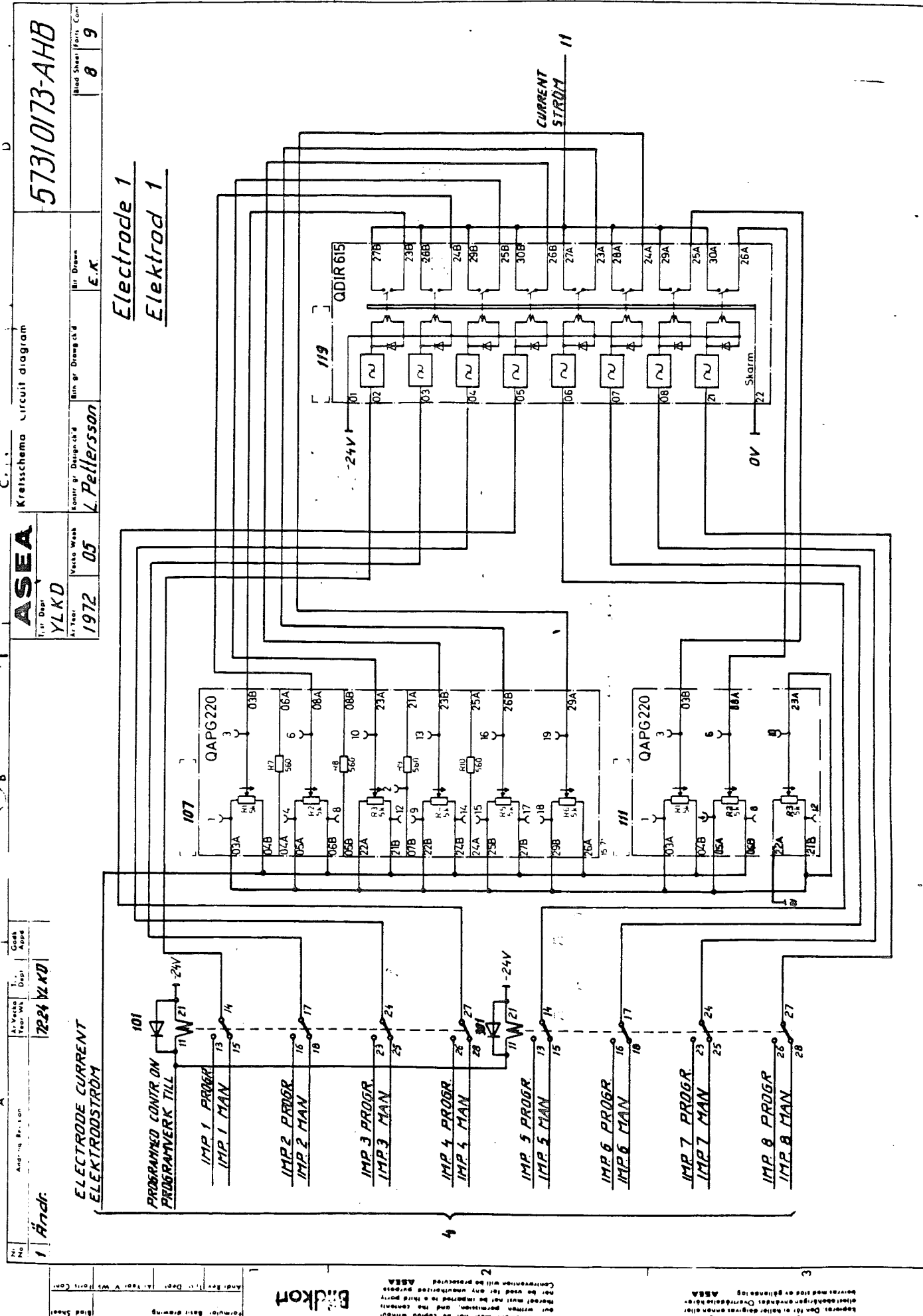
TO ELECTROHYDRAULIC REGULATOR
TILL ELEKTROHYDRAULISK REGULATOR



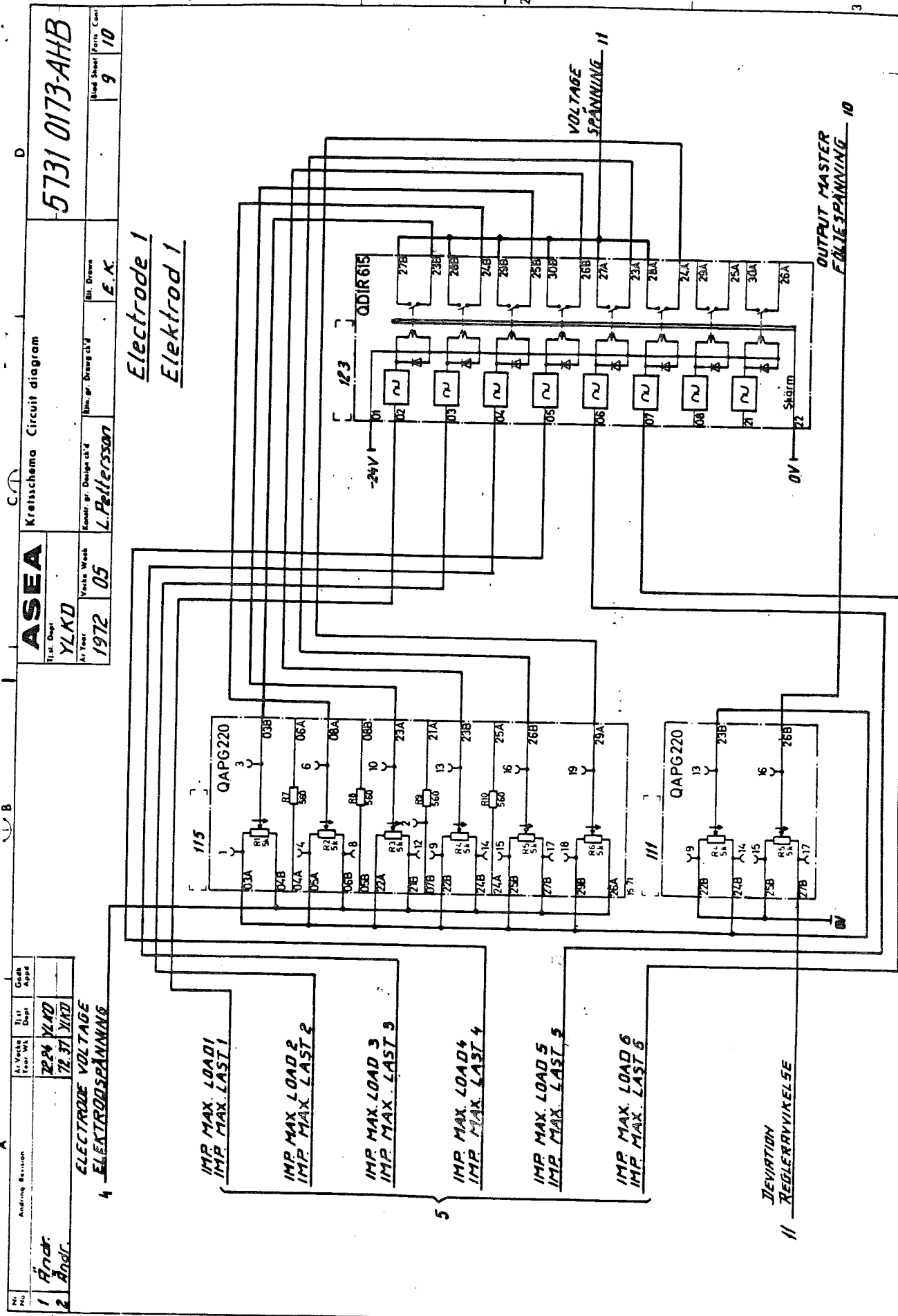








ASEA



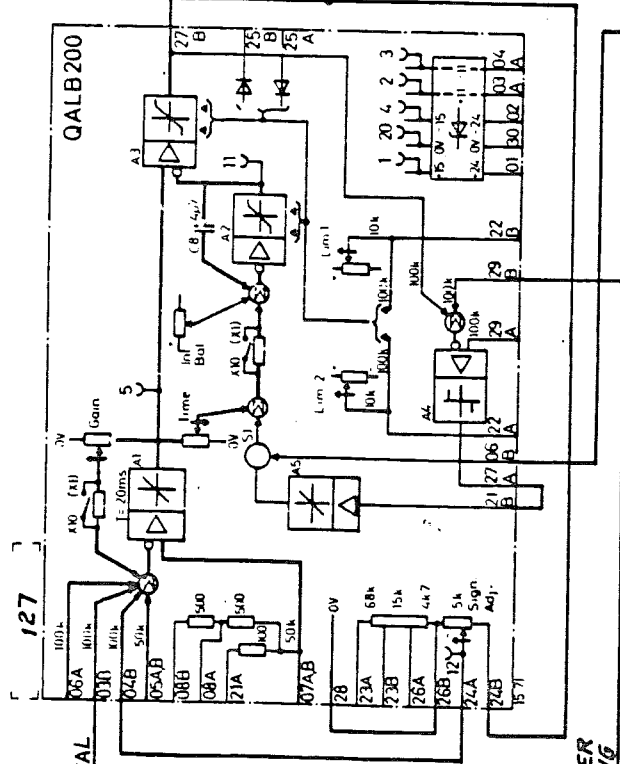
ASEA | Kretsschema circuit diagram

No.	Anord.	Anord.	Anord.
1	7224 YKD	7224 YKD	7224 YKD
2	7237 YKD	7237 YKD	7237 YKD
3	7914 YKD	7914 YKD	7914 YKD

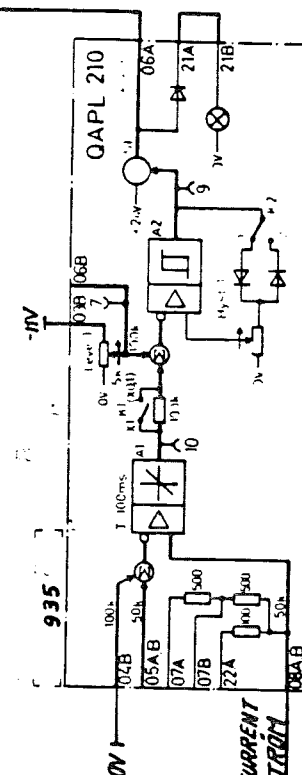
Proj. No.	57310173-AHB
Proj. Dept.	YLKD
Year	1972
Verk. Werk	05 L.Pelersson
Kontr. nr.	Designat.
Blad nr.	Draagtrd
Blad nr.	Print Sheet Form Cont.
Blad nr.	10
Blad nr.	11

Electrode I

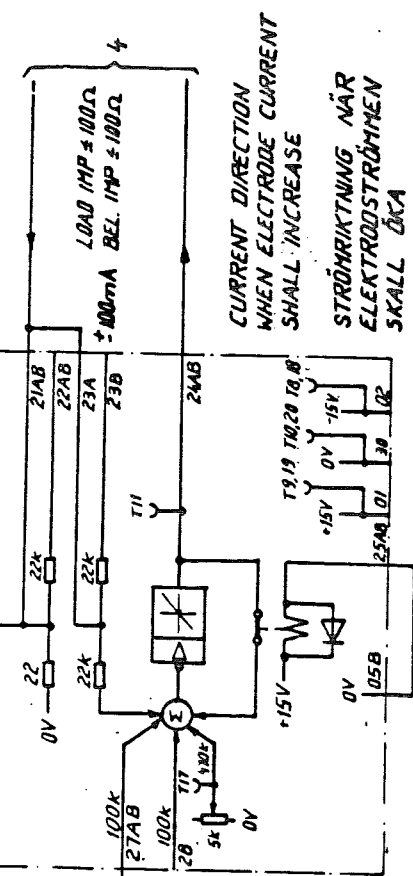
Ektrod I



9 FILTER SPÄNING
FILTERSPÄNING



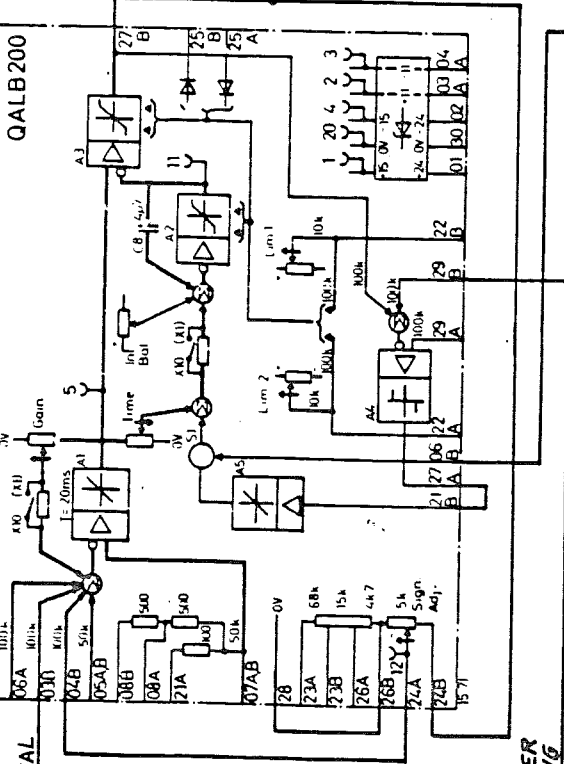
4 ELECTRODE CURRENT
EKTRODSTRÖM



CURRENT DIRECTION
WHEN ELECTRODE CURRENT
SHALL INCREASE

STRÖMRIKTNING NÅR
EKTRODSTRÖMMEN
SKALL ÖKA

QALB200

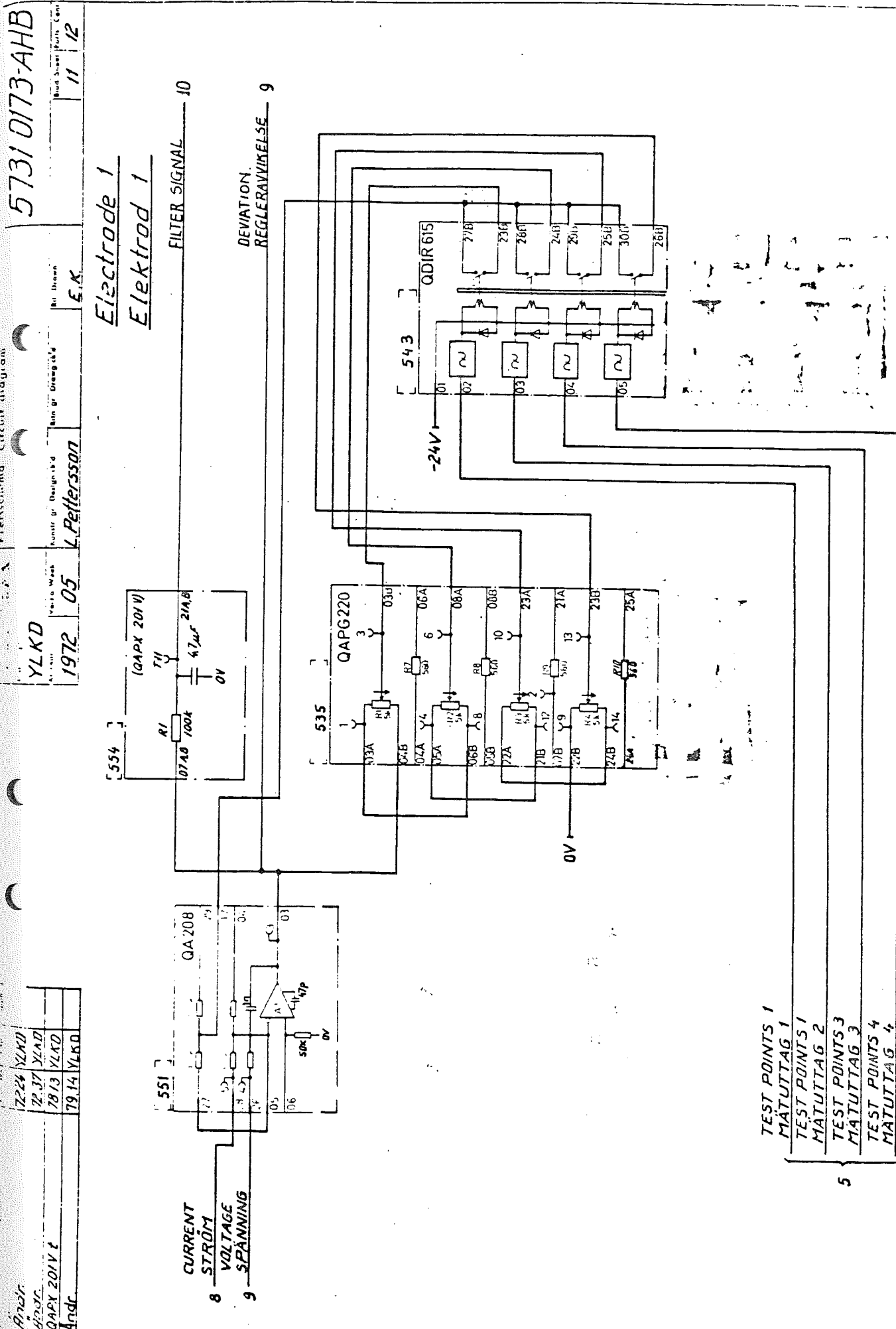


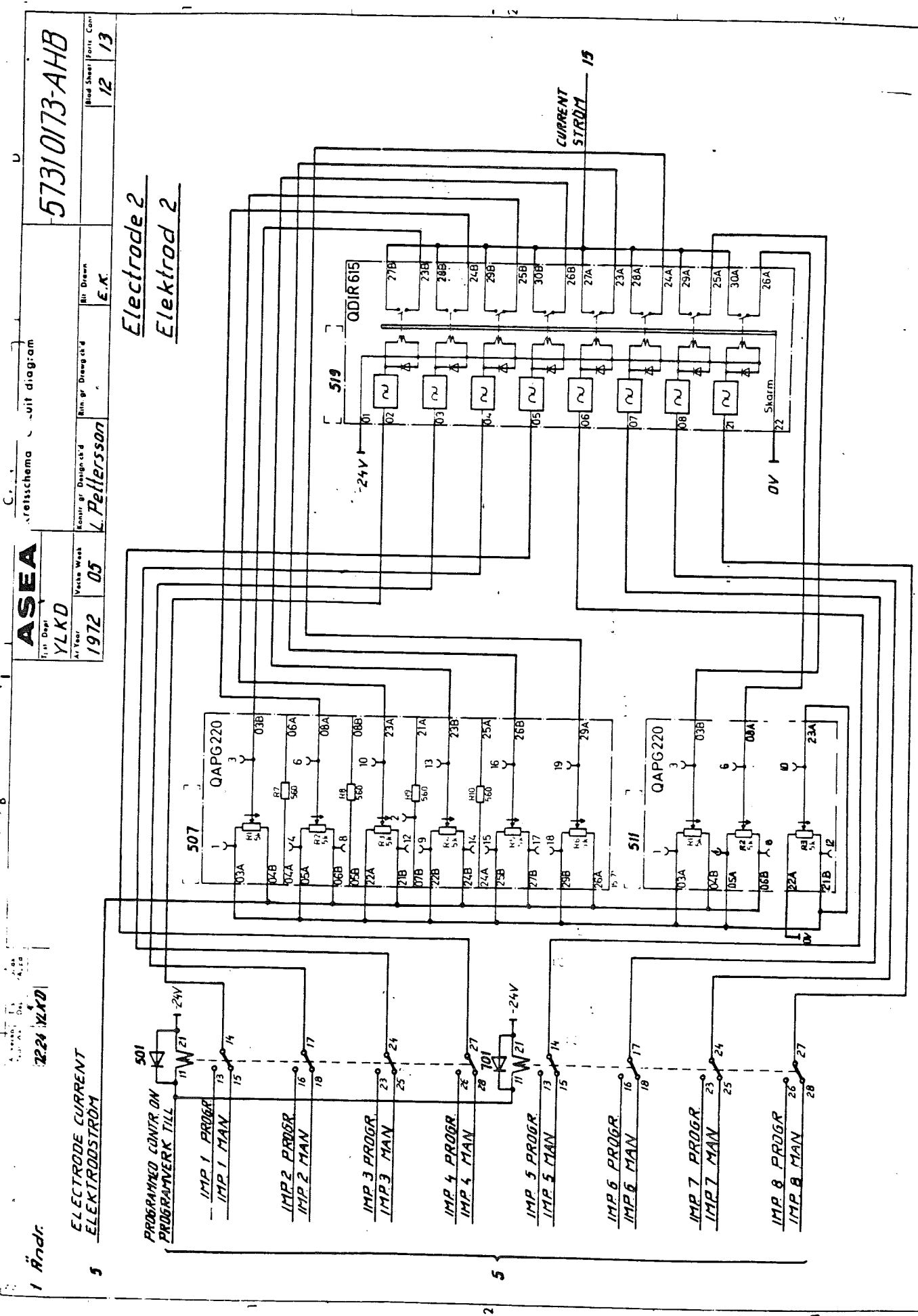
9 FILTER SPÄNING
FILTERSPÄNING

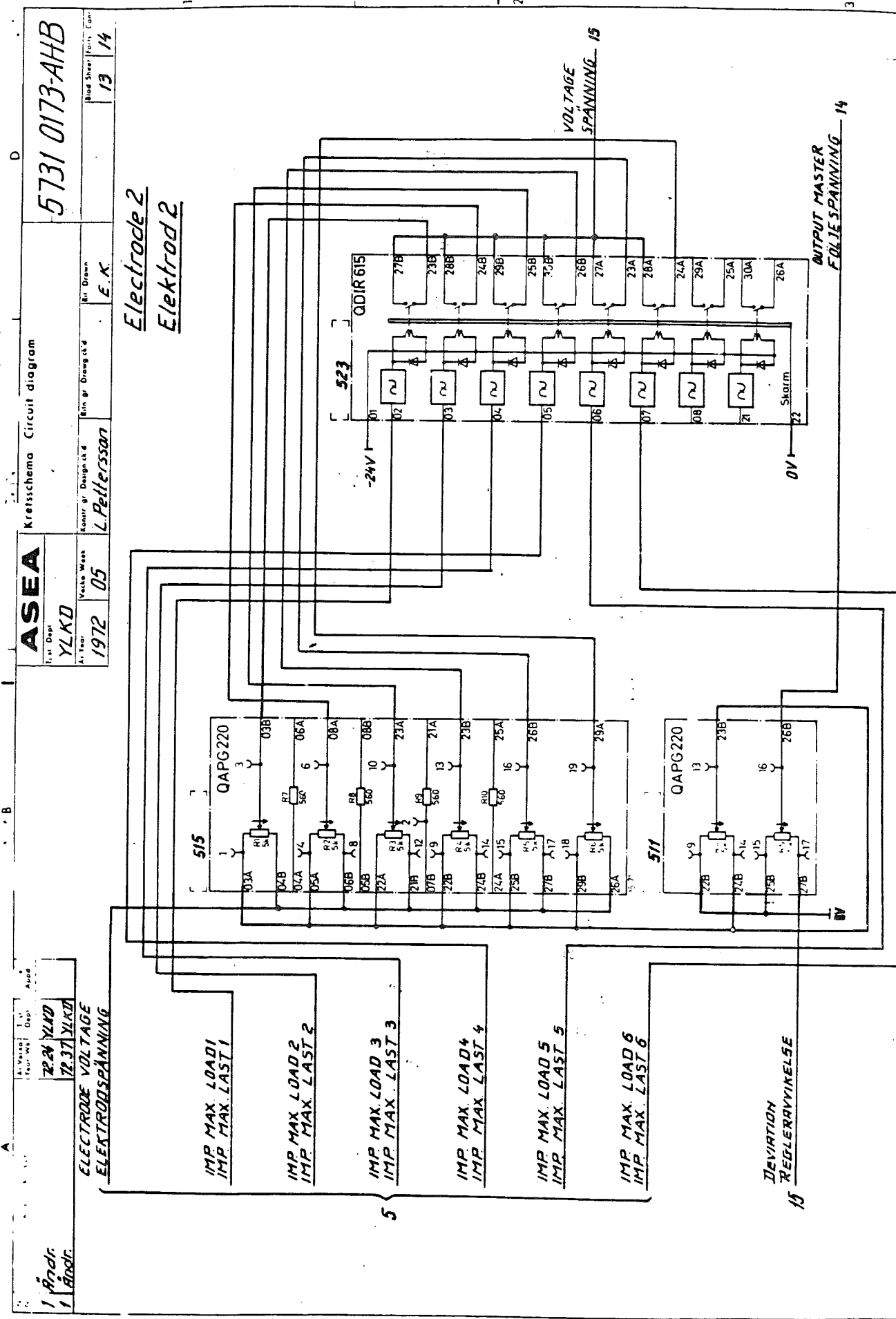
QALB200

Ektrod I

1	2	3	4	5	6	7	8	9	10	11	12
1. Ände	2. ände	3. QAPX 20V t	4. Ände	YLKD							
2. ände	3. ände	4. Ände	5. ände	YLKD							
3. ände	4. Ände	5. ände	6. Ände	YLKD							
4. Ände	5. ände	6. Ände	7. ände	YLKD							







5731 073-AHB

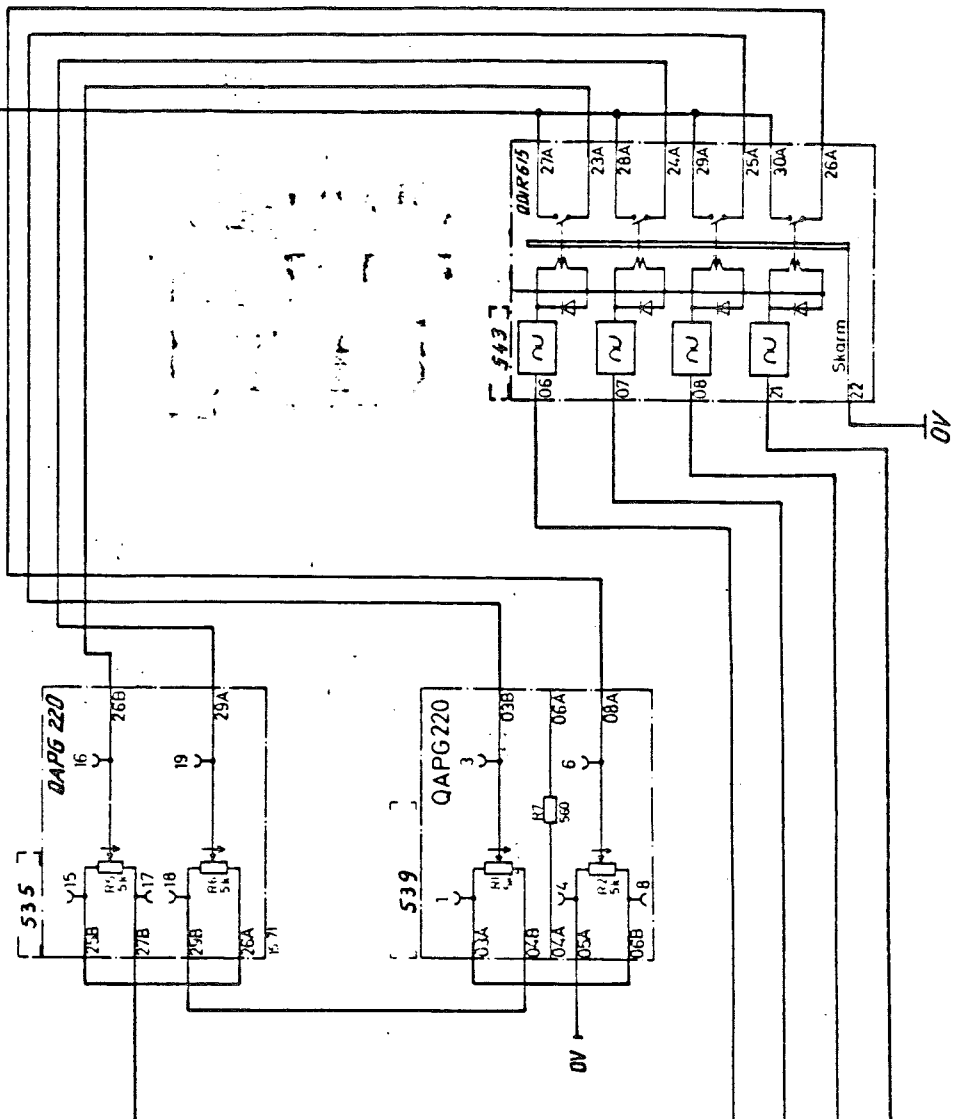
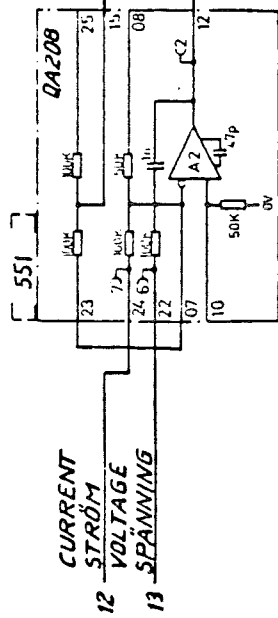
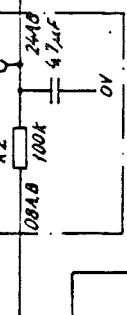
Andr.	2224	YKD	Kretschmann	Circuit diagram
Ans.	2237	YKD		
Q4PX 201V t	7813	YKD		
Andr.	7914	YKD		

Electrode 2Elektrod 2

FILTER SIGNAL 14

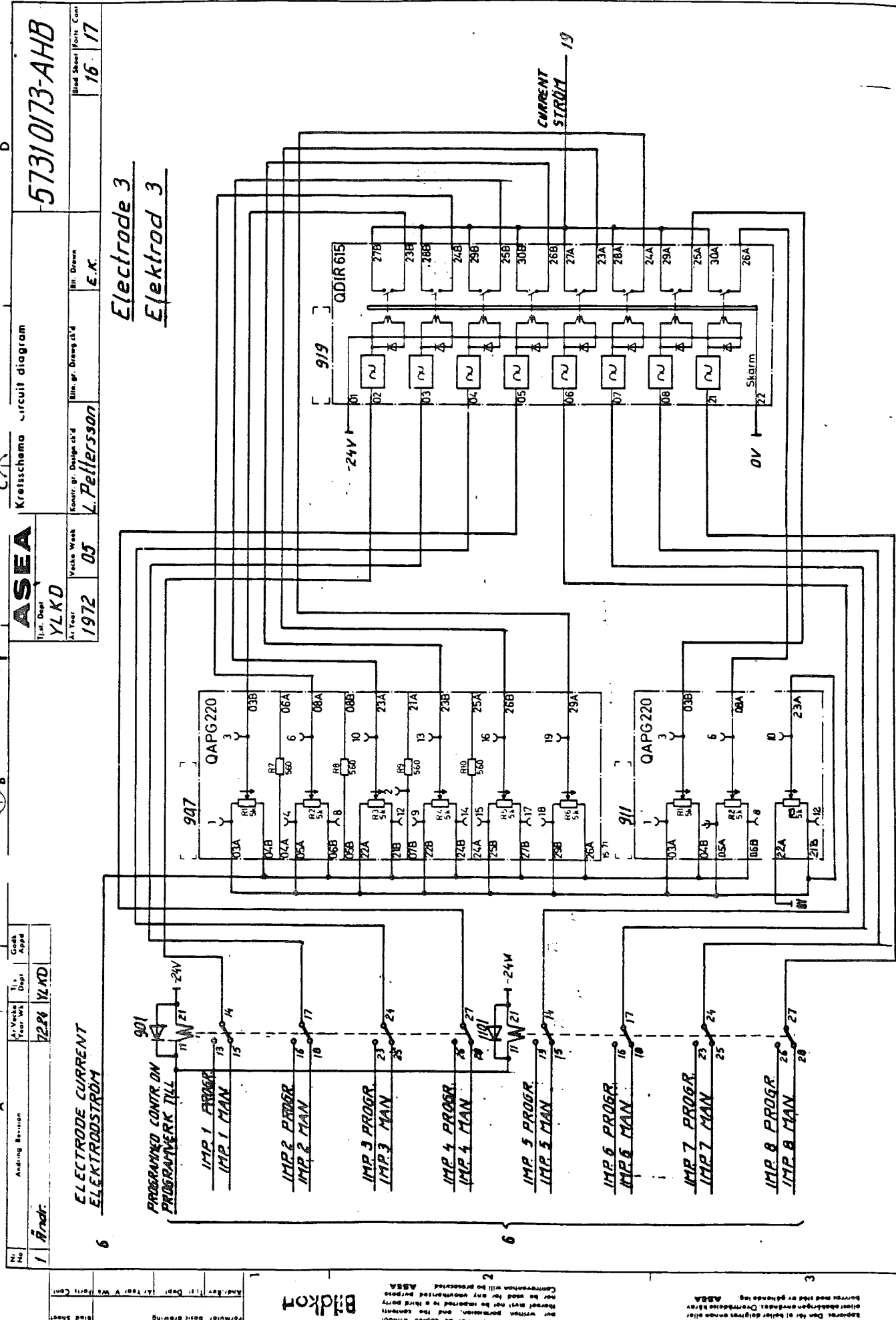
DEVIATION
REGLERAVVIKELSE 13

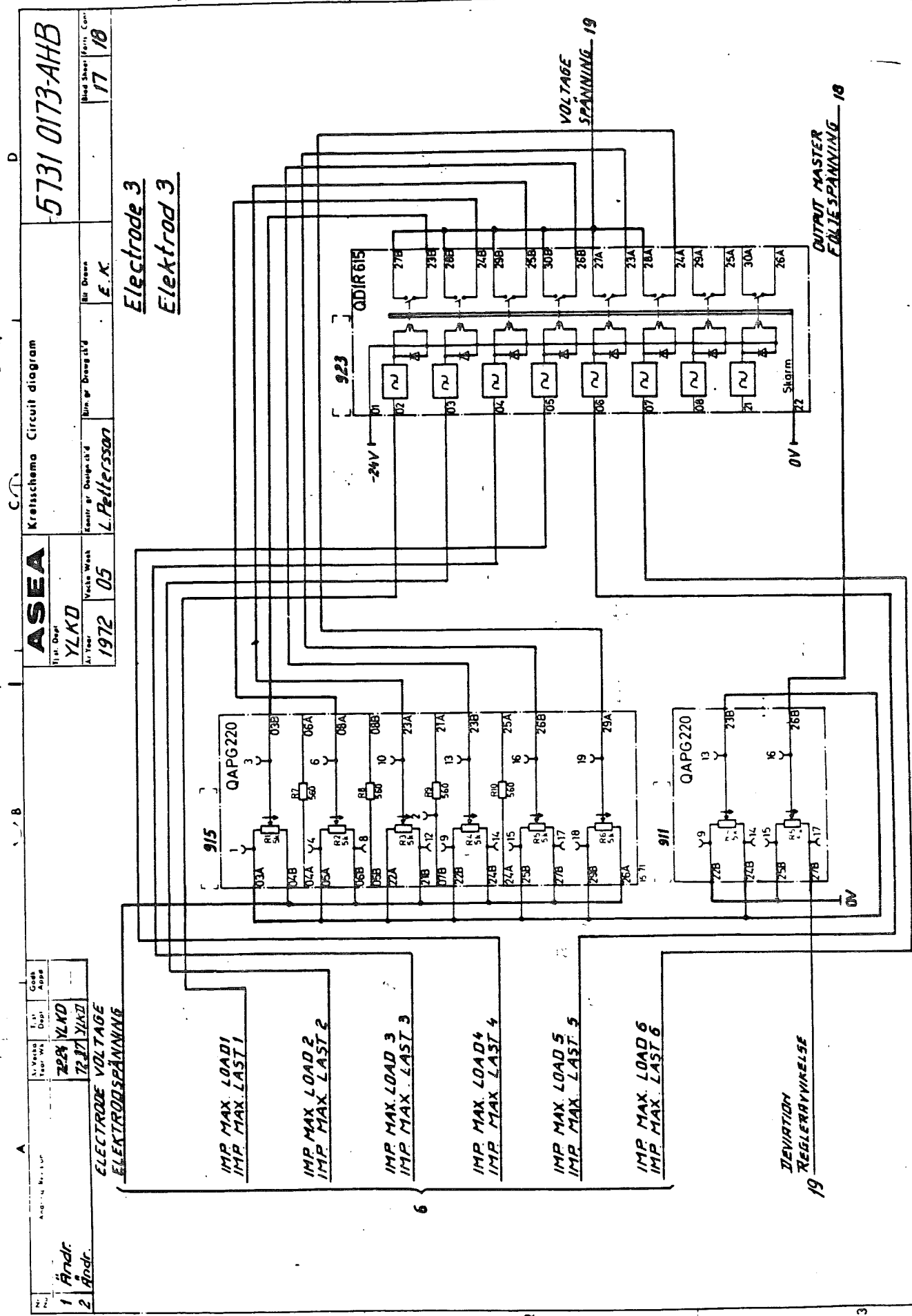
554 [GAPX 201V]



- TEST POINTS 1
MATUTTAG 1
- TEST POINTS 2
MATUTTAG 2
- 5 { TEST POINTS 3
MATUTTAG 3
- TEST POINTS 4
MATUTTAG 4

A





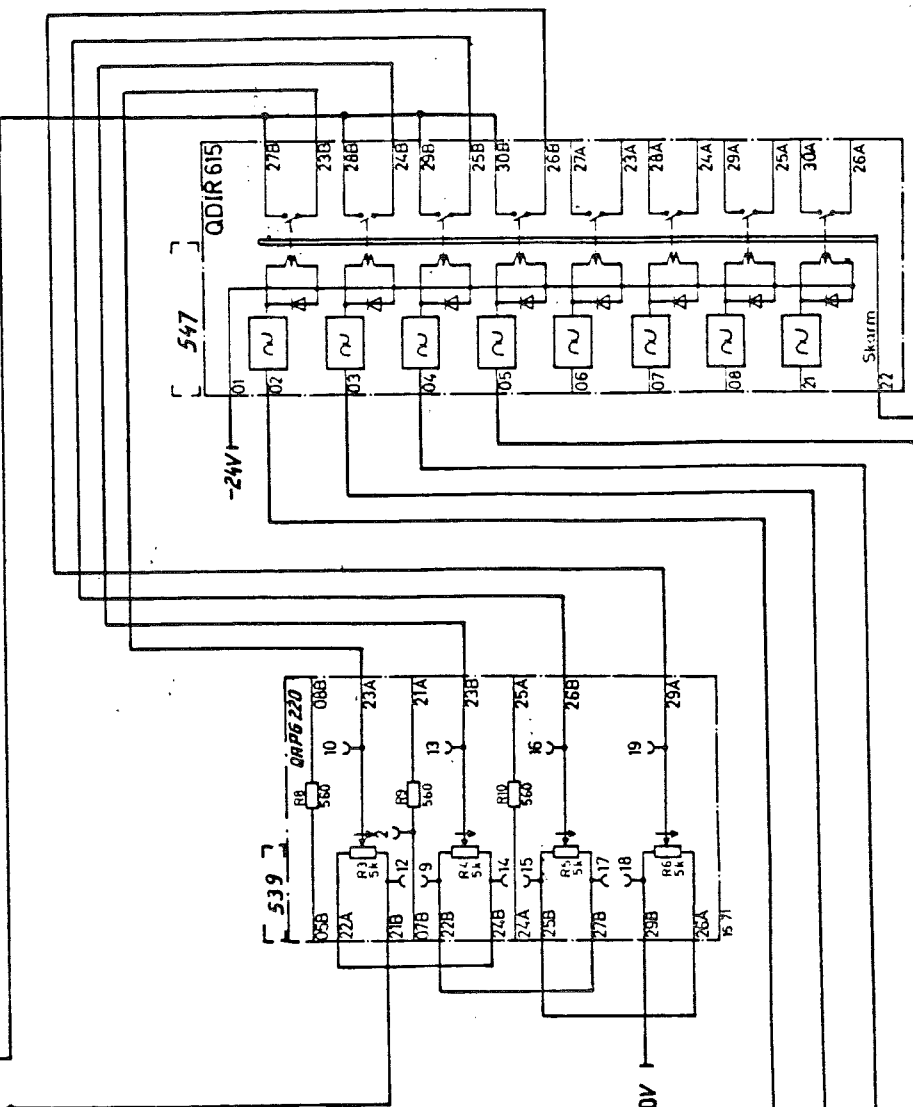
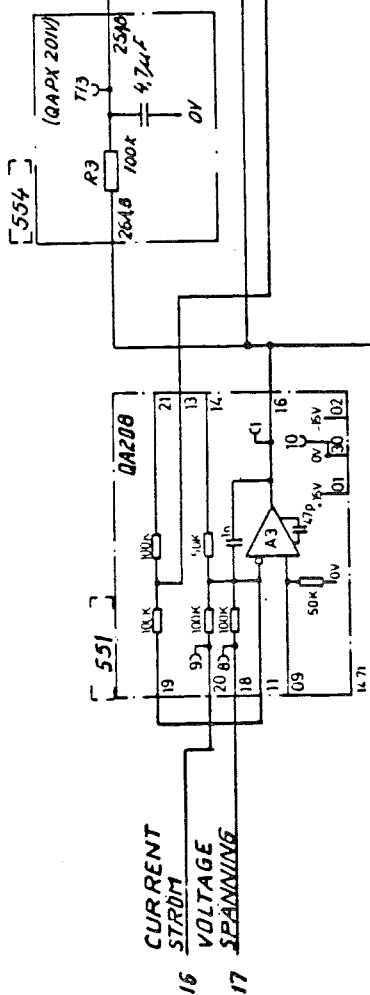
57310173-AHB

Andr.	YLKD	YLKD	YLKD
Andr.	YLKD	YLKD	YLKD
Q4 PX 201 V t	7237	7237	7237
Andr.	7813	7813	7813
Q4 PX 201 V t	7914	7914	7914

YLKD	YLKD	YLKD	YLKD
1972	05	L.Pettersson	19

Electrode 3
Elektrod 3

FILTER SIGNAL 18

DEVIATION
REGLERAVVIKELSE 17

TEST POINTS 1
MATUTTAG 1
TEST POINTS 2
MATUTTAG 2
TEST POINTS 3
MATUTTAG 3
TEST POINTS 4
MATUTTAG 4

5

INC:13.8kV 60Hz

SURGE ARRESTOR

DELIVERY LIMIT ECF

ASEA

-DF1

INTERLOCKING
MAGNETISOLATOR
SWITCH

R1N

FURNACE
BREAKER
353-CX

OFF

ON

R1L

R2L

R1L

R2L

R3L

R4L

R5L

R6L

R7L

L1
L2
L3L1
L2
L3

KS-AOB 10 /0:XH112085-KS322:0

=M.HS.HV

Circuit diagram
HEATING STATION DBSH 41 -MHEATING STATION
DBSH 41 -M

ASEA

110V 60Hz

+JA,1

323/A

110V 60Hz

+JA,1

Circuit diagram
HEATING STATION DBSH 41 -MHEATING STATION
DBSH 41 -M

ASEA

110V 60Hz

+JA,1

323/A

110V 60Hz

+JA,1

Circuit diagram
HEATING STATION DBSH 41 -MHEATING STATION
DBSH 41 -M

ASEA

110V 60Hz

+JA,1

323/A

110V 60Hz

+JA,1

Circuit diagram
HEATING STATION DBSH 41 -MHEATING STATION
DBSH 41 -M

ASEA

110V 60Hz

+JA,1

323/A

110V 60Hz

+JA,1

Circuit diagram
HEATING STATION DBSH 41 -MHEATING STATION
DBSH 41 -M

ASEA

110V 60Hz

+JA,1

323/A

110V 60Hz

+JA,1

Circuit diagram
HEATING STATION DBSH 41 -MHEATING STATION
DBSH 41 -M

ASEA

110V 60Hz

+JA,1

323/A

110V 60Hz

+JA,1

Circuit diagram
HEATING STATION DBSH 41 -MHEATING STATION
DBSH 41 -M

ASEA

110V 60Hz

+JA,1

323/A

110V 60Hz

+JA,1

Circuit diagram
HEATING STATION DBSH 41 -MHEATING STATION
DBSH 41 -M

ASEA

110V 60Hz

+JA,1

323/A

110V 60Hz

+JA,1

Circuit diagram
HEATING STATION DBSH 41 -MHEATING STATION
DBSH 41 -M

ASEA

110V 60Hz

+JA,1

323/A

110V 60Hz

+JA,1

Circuit diagram
HEATING STATION DBSH 41 -MHEATING STATION
DBSH 41 -M

ASEA

110V 60Hz

+JA,1

323/A

110V 60Hz

+JA,1

Circuit diagram
HEATING STATION DBSH 41 -MHEATING STATION
DBSH 41 -M

ASEA

110V 60Hz

+JA,1

323/A

110V 60Hz

+JA,1

Circuit diagram
HEATING STATION DBSH 41 -MHEATING STATION
DBSH 41 -M

ASEA

110V 60Hz

+JA,1

323/A

110V 60Hz

+JA,1

Circuit diagram
HEATING STATION DBSH 41 -MHEATING STATION
DBSH 41 -M

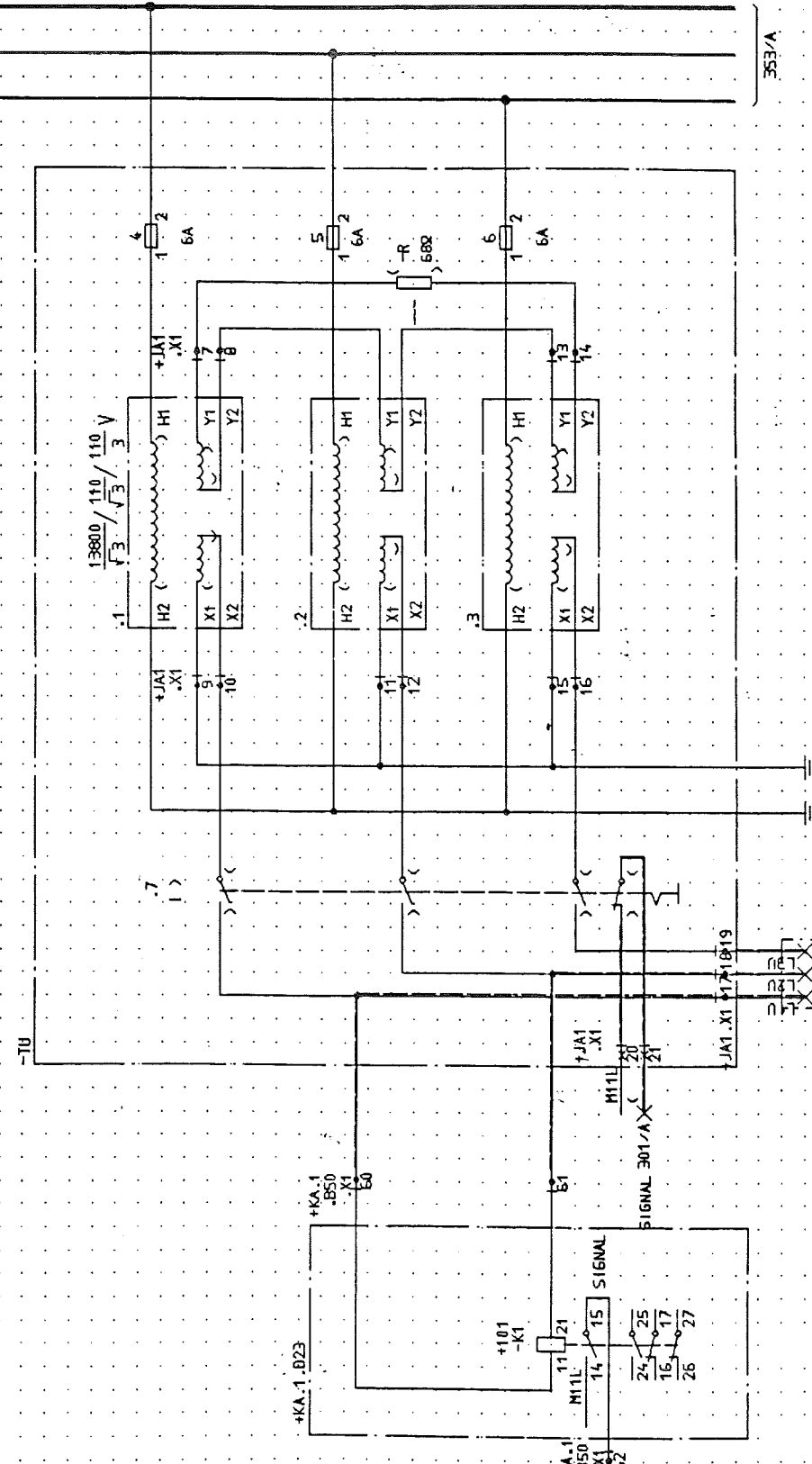
ASEA

110V 60Hz

+JA,1

323/A

323.0

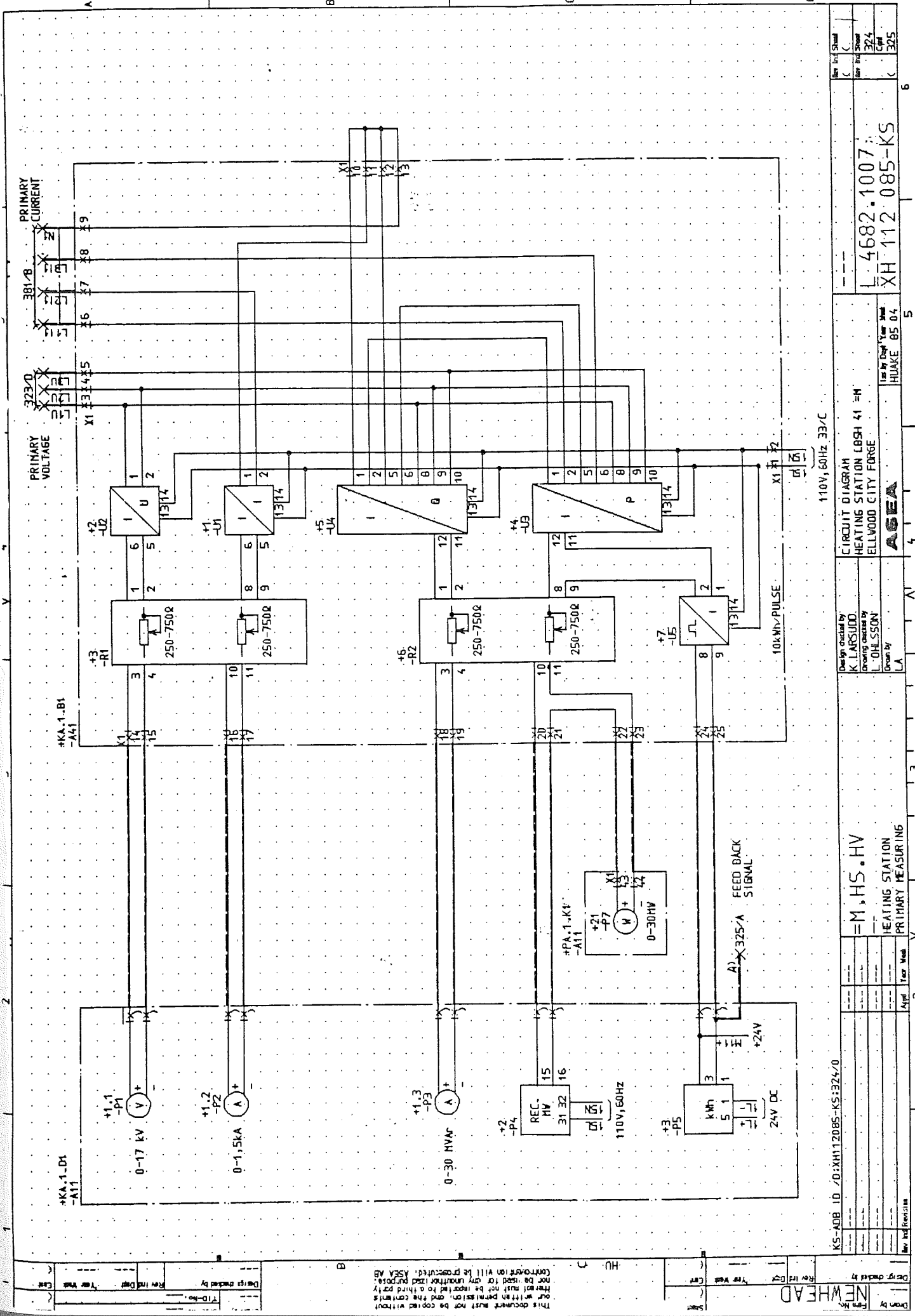


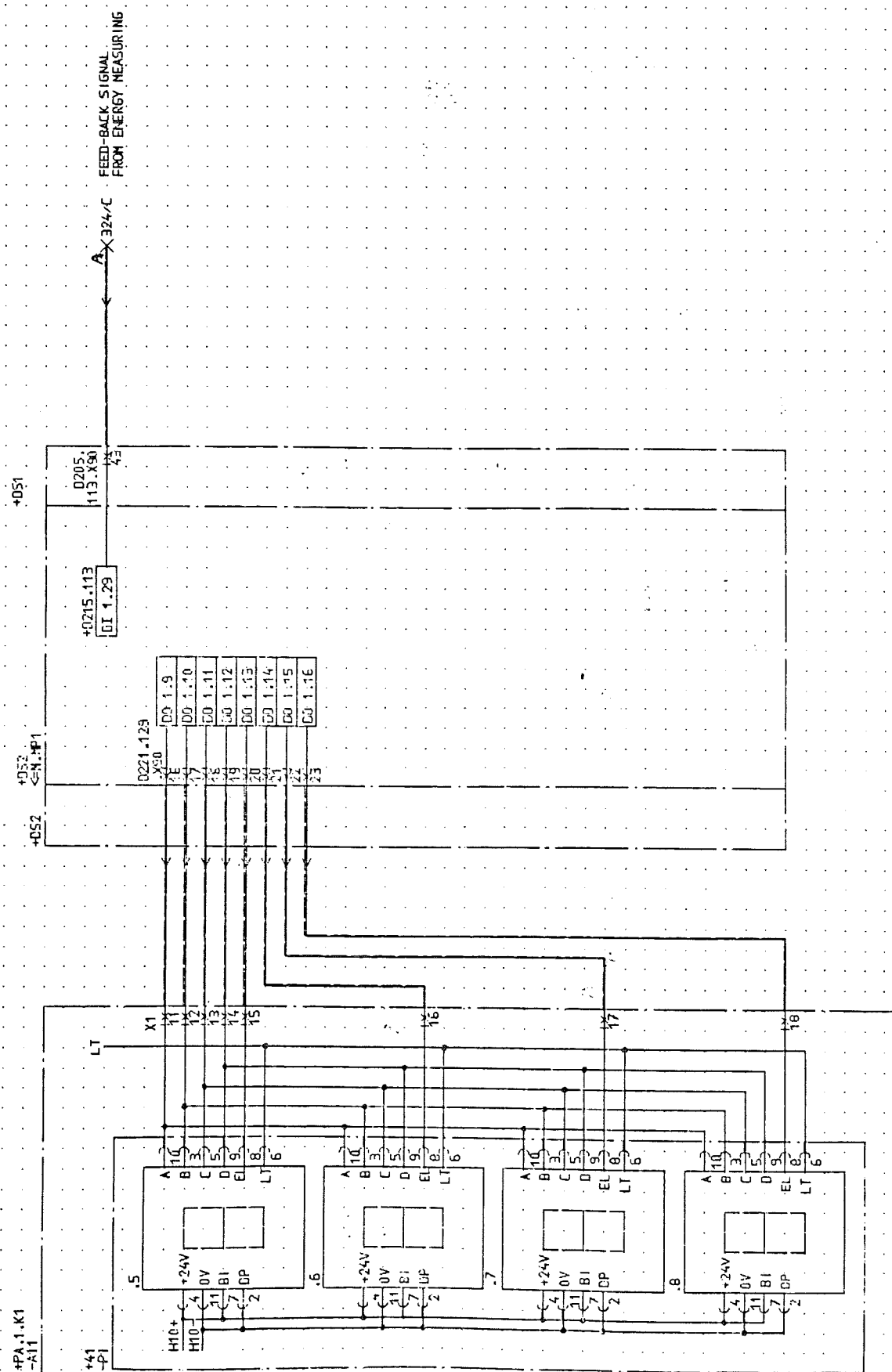
KS-ADE 10 /DXHH12085-KS:323.0

CIRCUIT DIAGRAM		HEATING STATION LBH 41 =H	
DRAWN AND DESIGNED BY		HEATING STATION	
K. LARSSON		ELLWOOD CITY FORGE	
DRAWN BY		ASEA	
L.A.	A.	H.UKE	85 04
1	1	V	5
2	2	V	6

NEW HEAD			
Drawn by	Rev. date	Ver. No.	Comments

This document part of a set not to be copied without
prior written permission from the manufacturer.
Not to be used for the purpose of inspection or test purposes.





KS-X06.10 /01:XH112085-KS325.0

Design number
K. L. M. S. G. O.
Drawing date by
O. H. S. C. N.

CIRCUIT DIAGRAM
HEATING STATION LBSH 41 =N
ELLWOOD CITY FORGE

HEATING STATION
KWh CONSUMPTION
Year Wk
Avg. Wk
Wk End Period

XH-112-085-KS

5

5

5

5

5

5

5

5

5

5

5

5

5

5

5

5

5

5

5

5

5

5

5

5

5

5

5

5

5

5

5

5

5

5

5

5

5

5

5

5

5

5

5

5

5

5

5

5

5

5

5

5

5

5

5

5

5

5

5

5

5

5

5

5

5

5

5

5

5

5

5

5

5

5

5

5

5

5

5

5

5

5

5

5

5

5

5

5

5

5

5

5

5

5

5

5

5

5

5

5

5

5

5

5

5

5

5

5

5

5

5

5

5

5

5

5

5

5

5

5

5

5

5

5

5

5

5

5

5

5

5

5

5

5

5

5

5

5

5

5

5

5

5

5

5

5

5

5

5

5

5

5

5

5

5

5

5

5

5

5

5

5

5

5

5

5

5

5

5

5

5

5

5

5

5

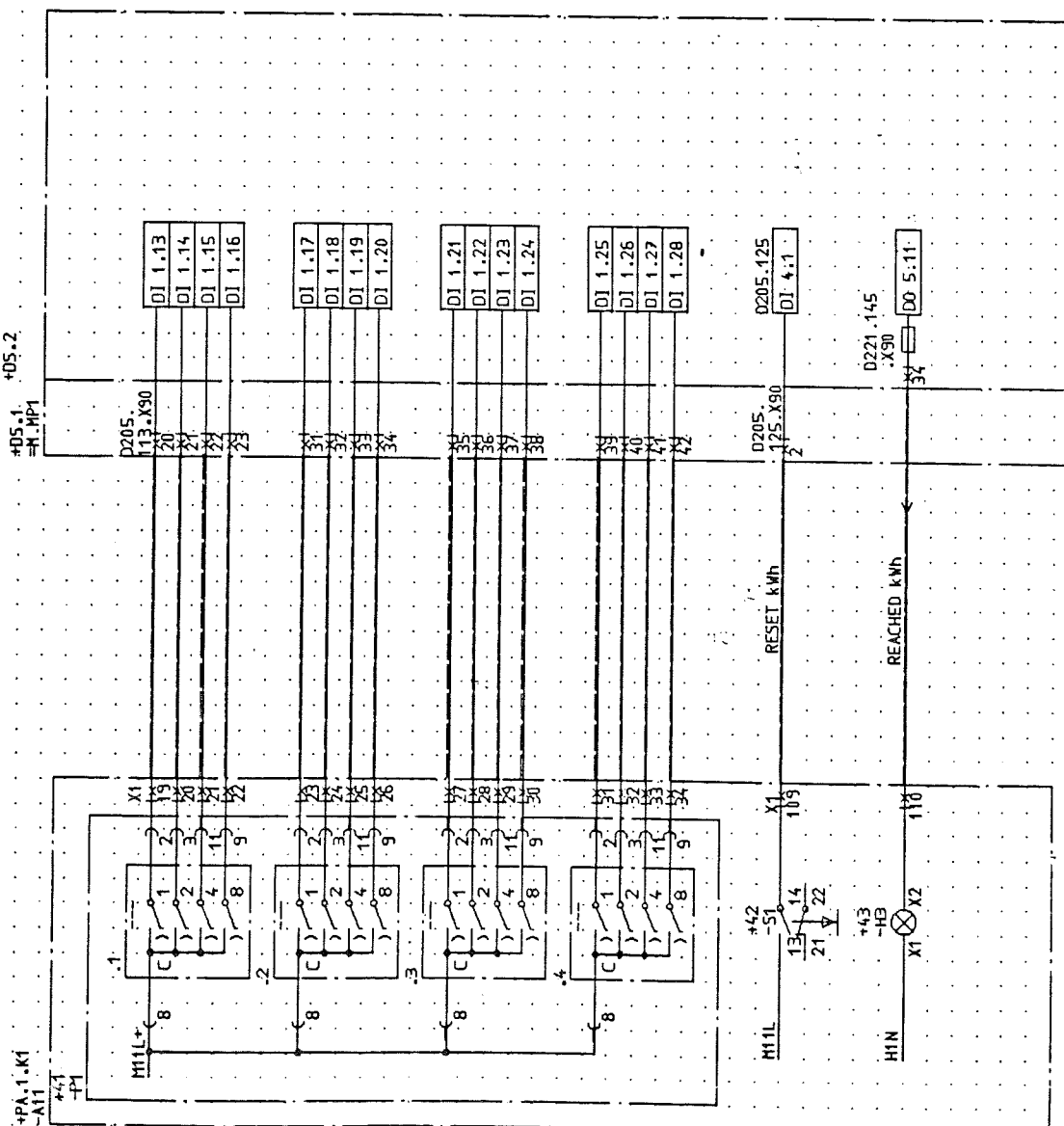
5

5

5

5

5



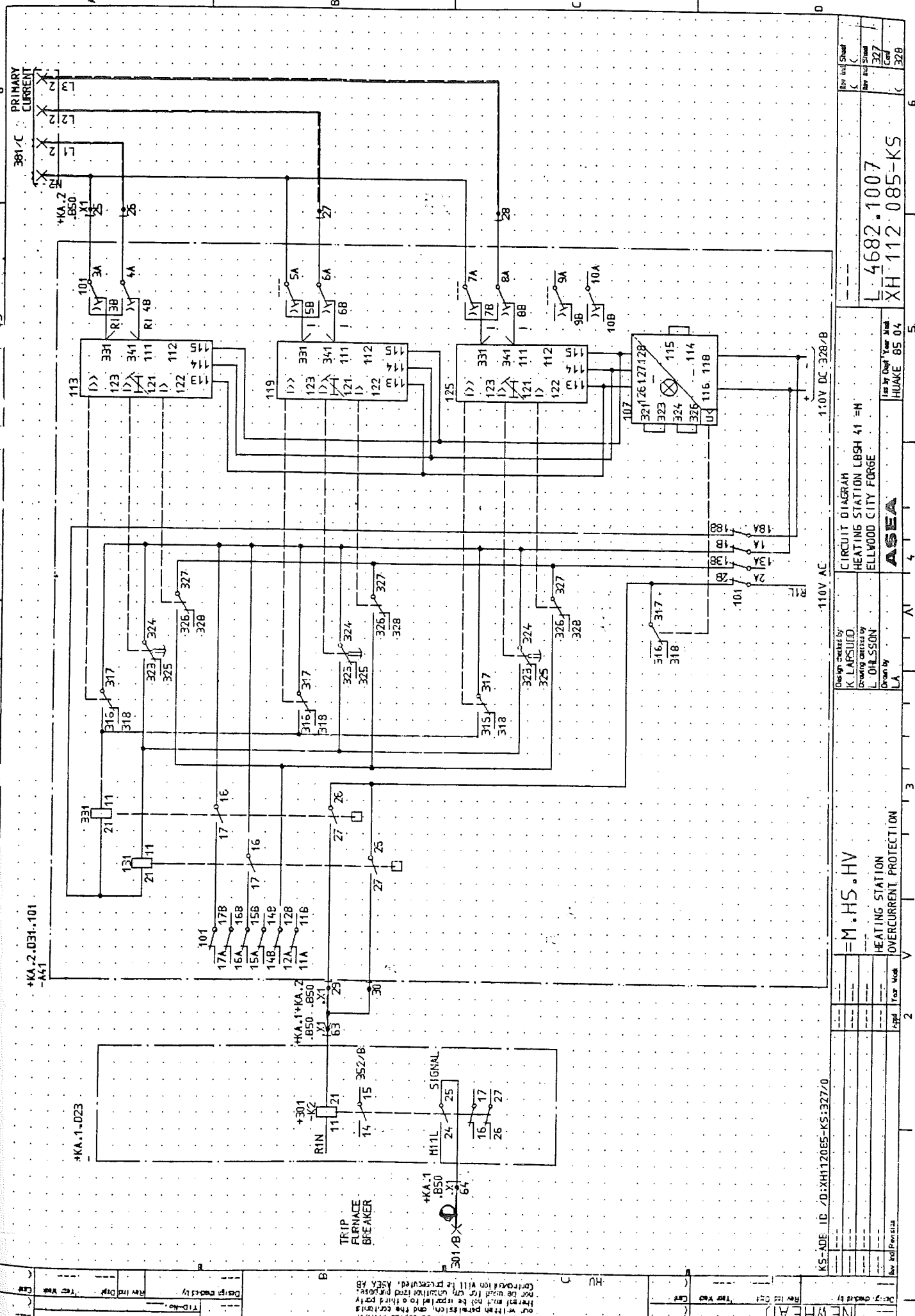
K5ADE ID:00XH1205-KS:326/0

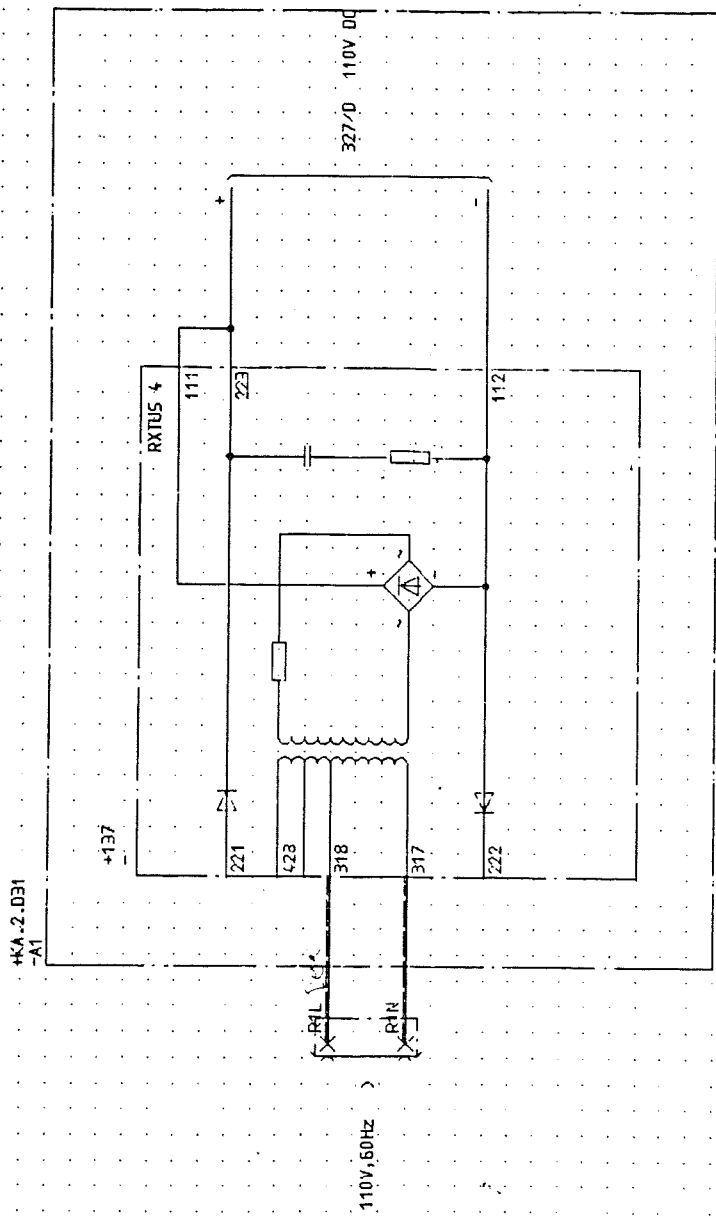
Design created by	CIRCUIT DIAGRAM	
K. LARSSON	HEATING STATION KWH SET-POINT	
Printed dated	HEATING STATION KWH SET-POINT	
Ellwood City Forge	HEATING STATION KWH SET-POINT	
Drawn by	ASEA	
1	2	3
4	5	6

Drawn by	Shall
1	2
3	4
5	6
7	8
9	10
11	12
13	14
15	16
17	18
19	20
21	22
23	24
25	26
27	28
29	30
31	32
33	34
35	36
37	38
39	40
41	42
43	44
45	46
47	48
49	50
51	52
53	54
55	56
57	58
59	60
61	62
63	64
65	66
67	68
69	70
71	72
73	74
75	76
77	78
79	80
81	82
83	84
85	86
87	88
89	90
91	92
93	94
95	96
97	98
99	100
101	102
103	104
105	106
107	108
109	110
111	112
113	114
115	116
117	118
119	120
121	122
123	124
125	126
127	128
129	130
131	132
133	134
135	136
137	138
139	140
141	142
143	144
145	146
147	148
149	150
151	152
153	154
155	156
157	158
159	160
161	162
163	164
165	166
167	168
169	170
171	172
173	174
175	176
177	178
179	180
181	182
183	184
185	186
187	188
189	190
191	192
193	194
195	196
197	198
199	200
201	202
203	204
205	206
207	208
209	210
211	212
213	214
215	216
217	218
219	220
221	222
223	224
225	226
227	228
229	230
231	232
233	234
235	236
237	238
239	240
241	242
243	244
245	246
247	248
249	250
251	252
253	254
255	256
257	258
259	260
261	262
263	264
265	266
267	268
269	270
271	272
273	274
275	276
277	278
279	280
281	282
283	284
285	286
287	288
289	290
291	292
293	294
295	296
297	298
299	300
301	302
303	304
305	306
307	308
309	310
311	312
313	314
315	316
317	318
319	320
321	322
323	324
325	326
327	328

This document contains information which is the copyright of ASEA AB.
This information must not be copied without the written permission of ASEA AB.
Neither this document nor any part thereof may be reproduced or transmitted
in whole or in part, in any form or by any means, electronic or otherwise,
without the prior written consent of ASEA AB.

REVISED BY DATE
APRIL 1985
BY
ASEA

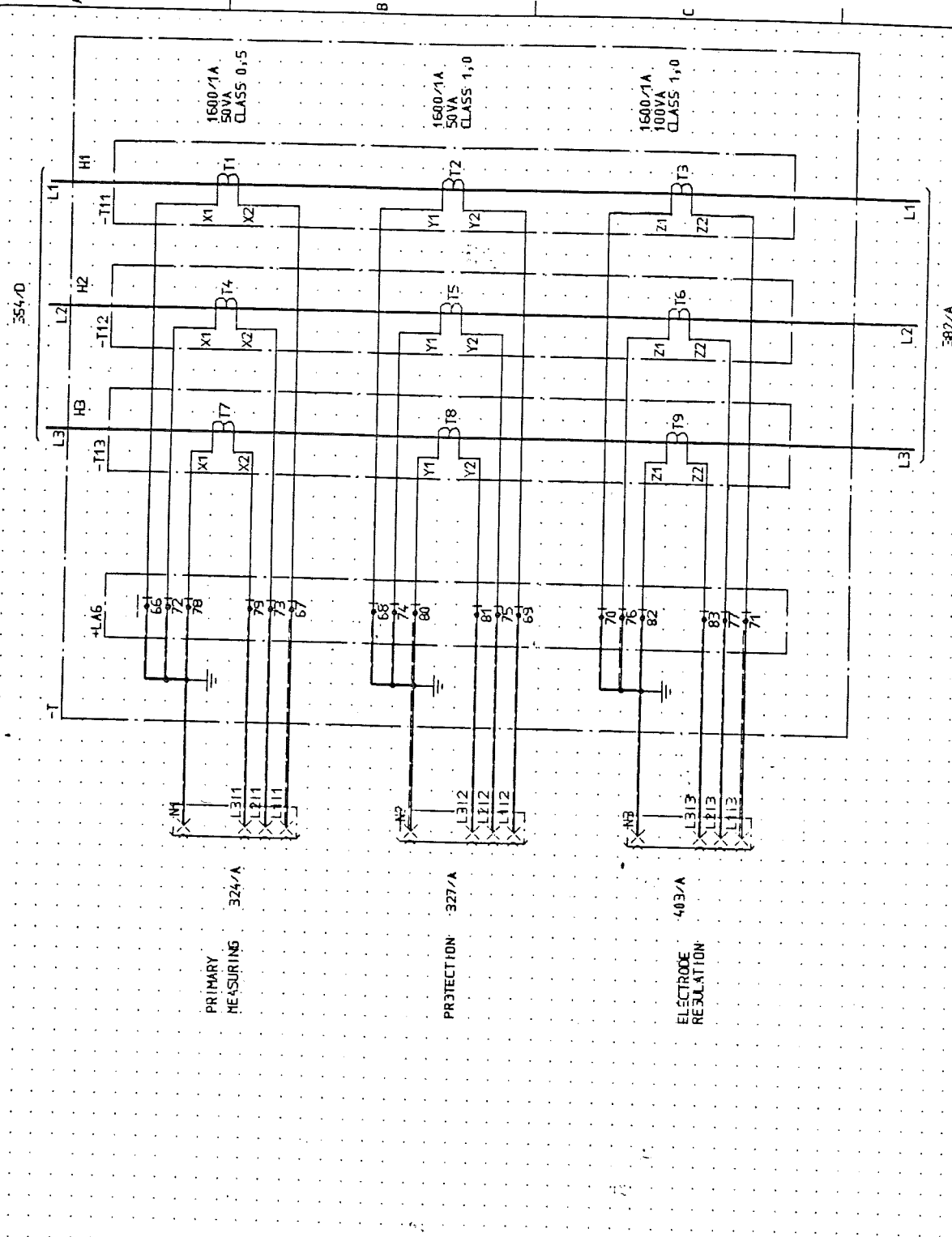




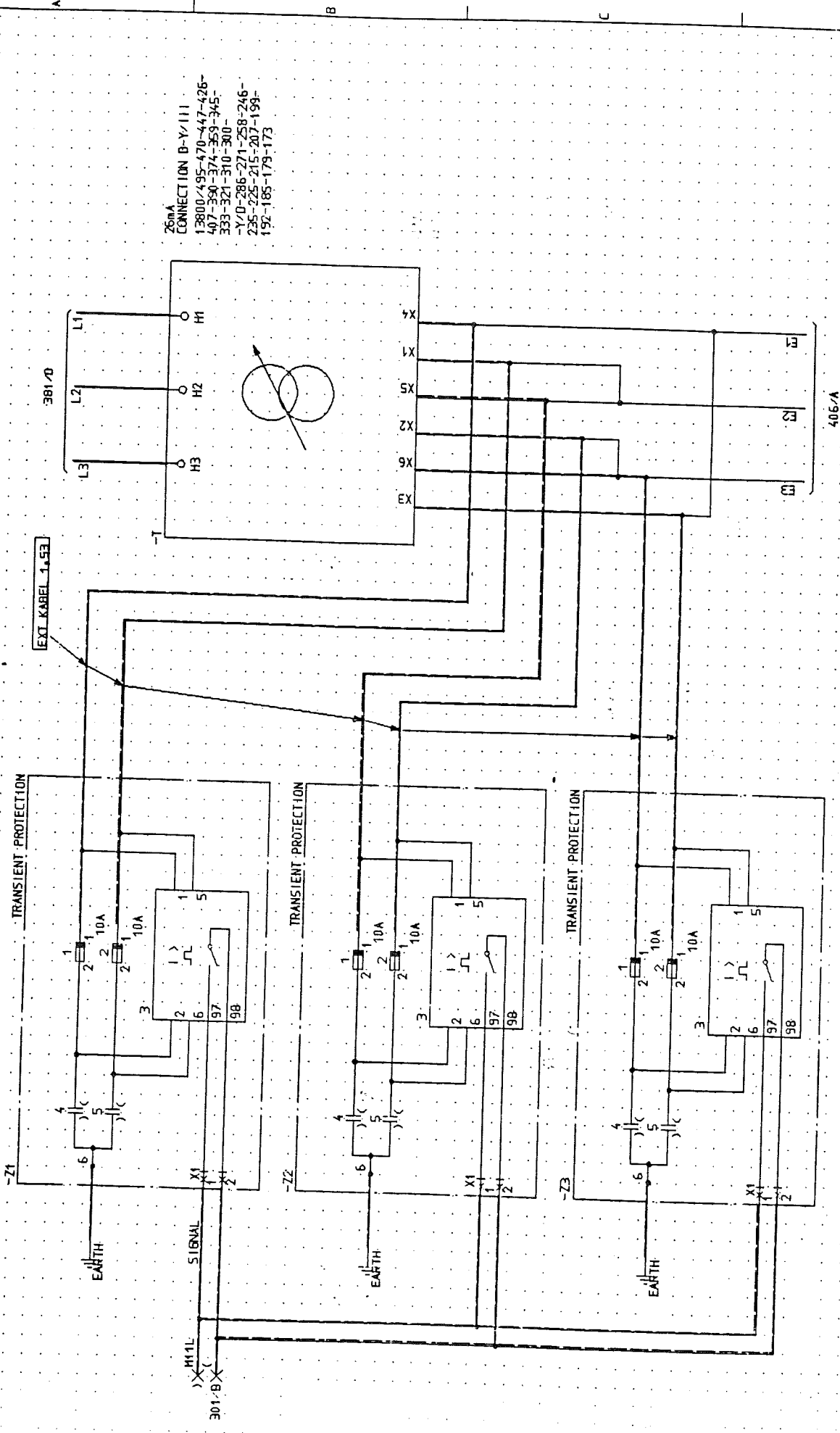
KS-ADS 10 /DXH12005-KS:328/0

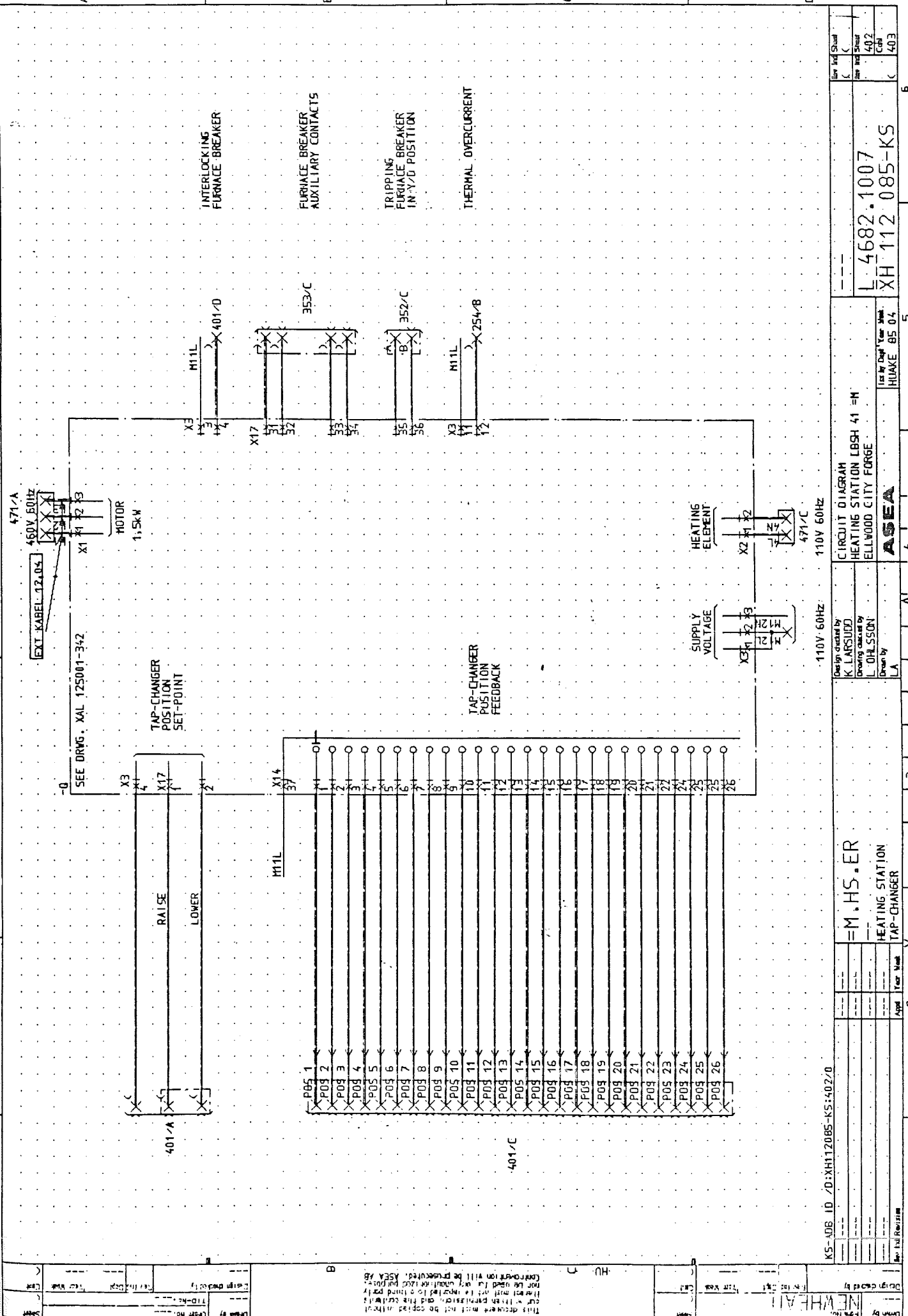
NEWHALL

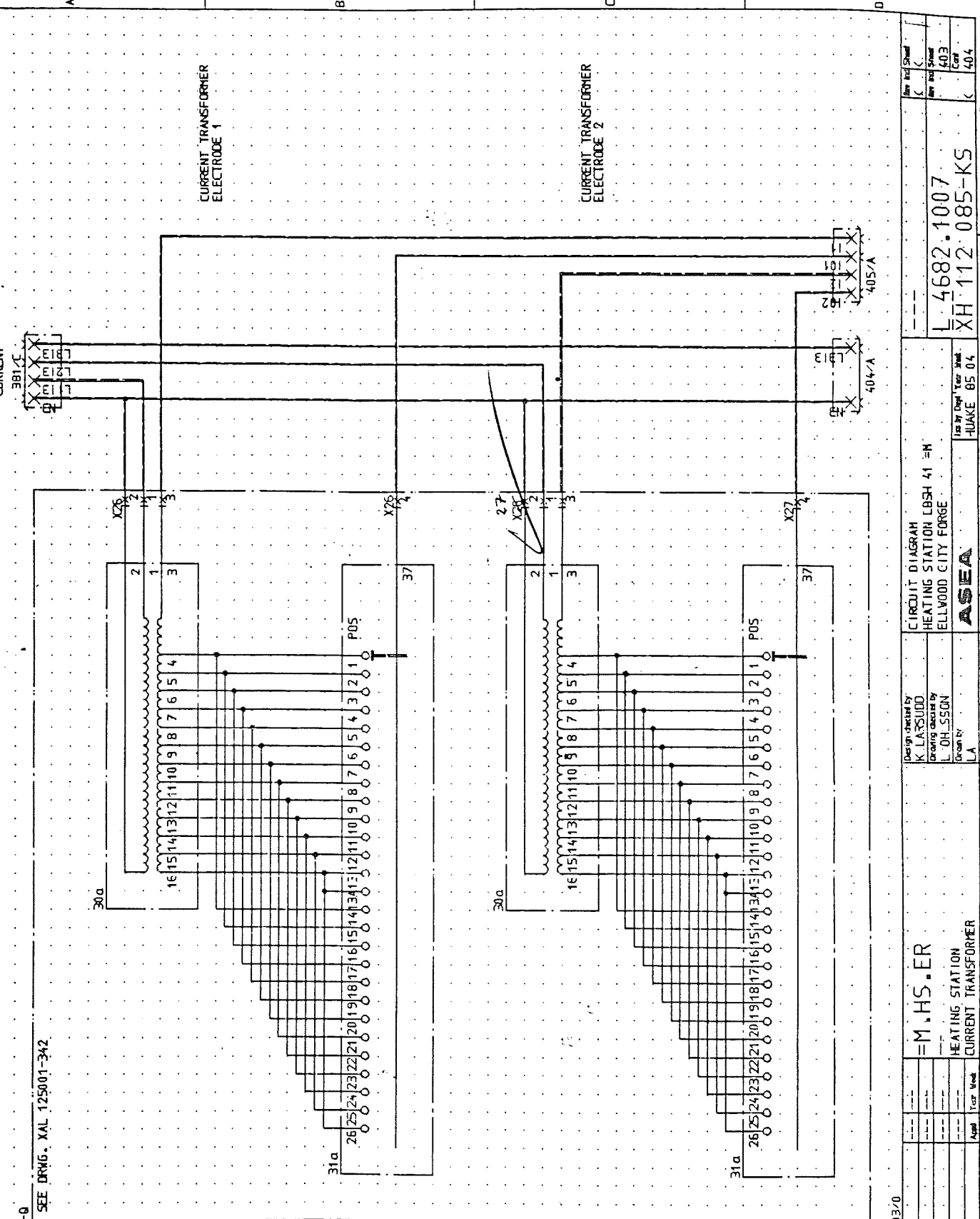
CIRCUIT DIAGRAM		HEATING STATION LBSH 41 IN		L 4682-1007	
Design started by	K LASUDDO	Design started by	L OHSSON	Issued by	HAKKE 85 04
Design carried by		Design carried by		Year Issued	5
Design by	ASEA	Design by	ASEA	Year Valid	5
Supply Voltage	M HS HV	Supply Voltage	110V	Supply Current	328A
Appl. Volt	110V	Appl. Volt	110V	Appl. Current	361A
Appl. Resist	1	Appl. Resist	1	Appl. Induct	1



KS-A03 10 /D:XH112085-KS:381/0



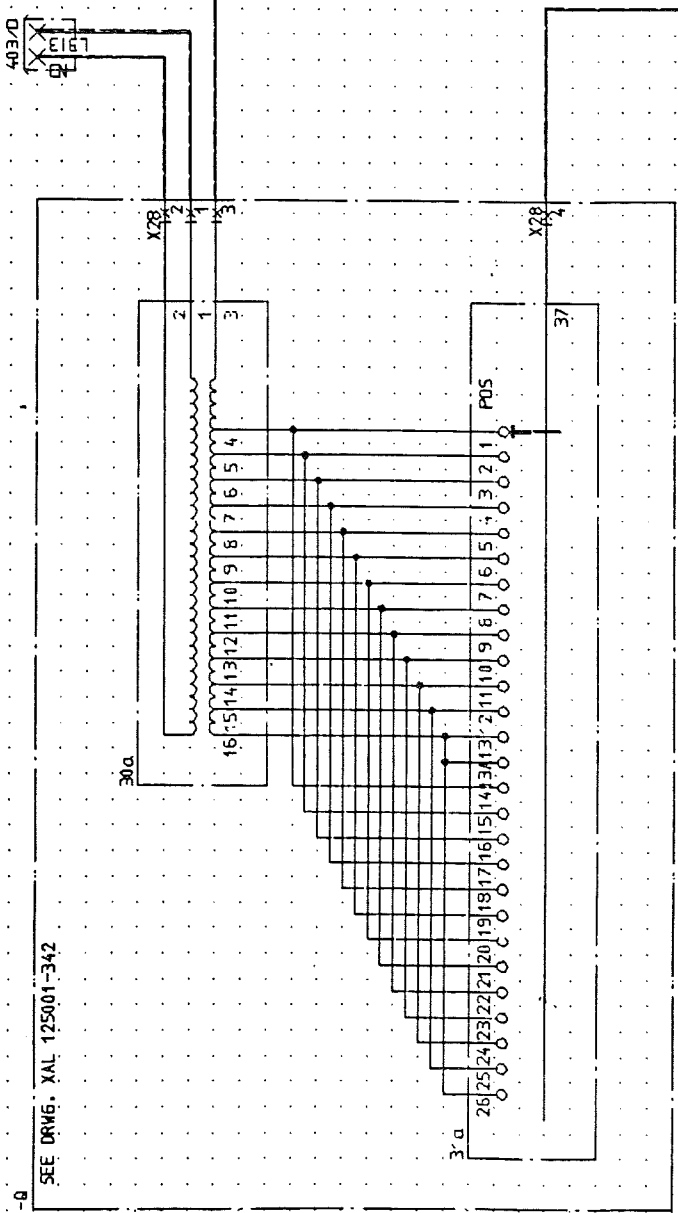




-0 SEE DRWG. XAL 125001-342

SEE DRW6, XAL 125091-342
-a

CURRENT TRANSFORMER
ELECTRODE 3



K5-ADB ID: D:XH112085-KS-404-0

Design Initiated by
K. LARSSON
Drawing Generated by
L. OHSSON
Drawn by
ASEA

CIRCUIT DIAGRAM
HEATING STATION LSH 41 -N

L 4682-1007
XH 112085-KS
5

HEATING STATION

CURRENT TRANSFORMER

Appl Year Month

LA

2

V

3

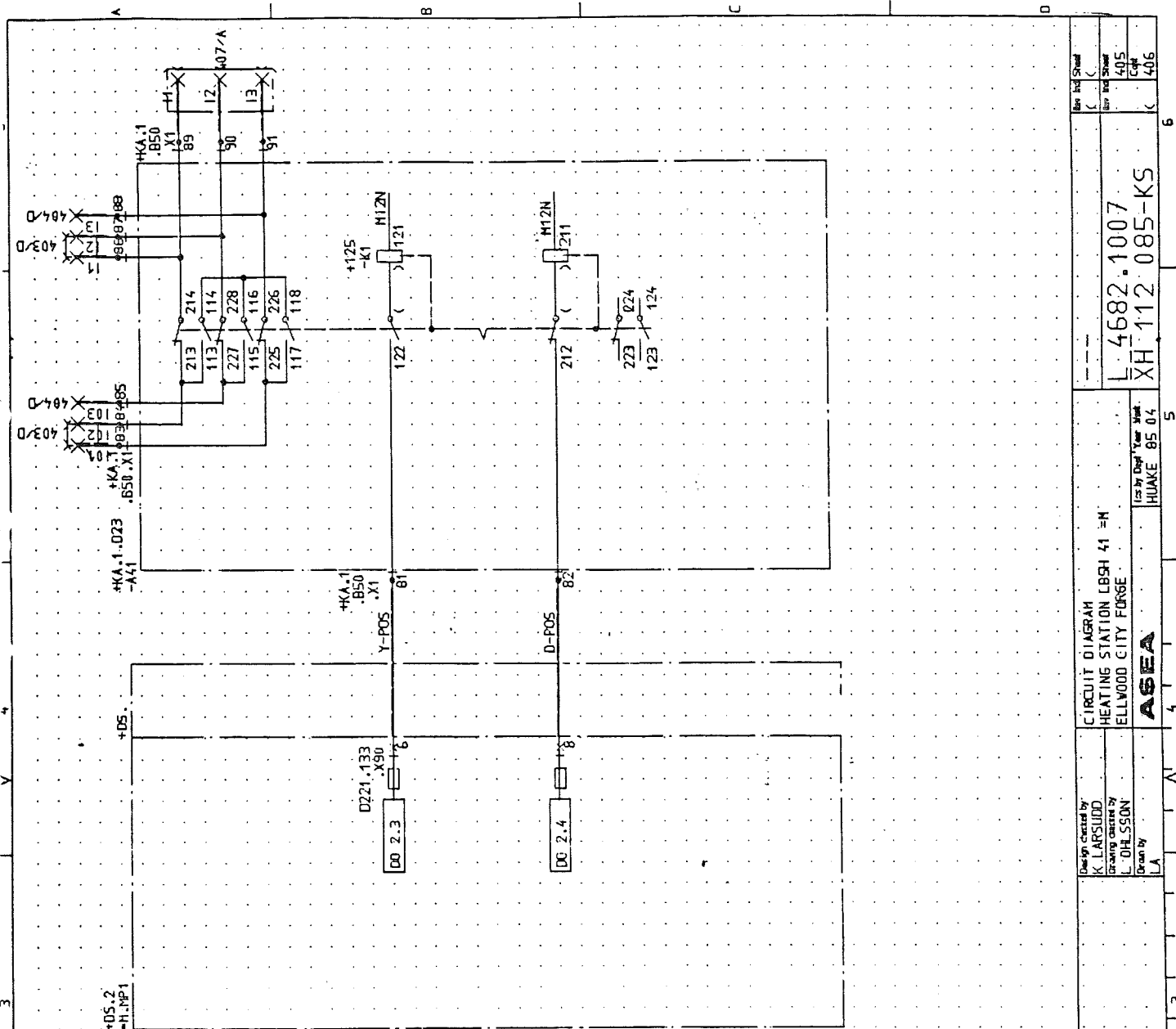
A

4

Y

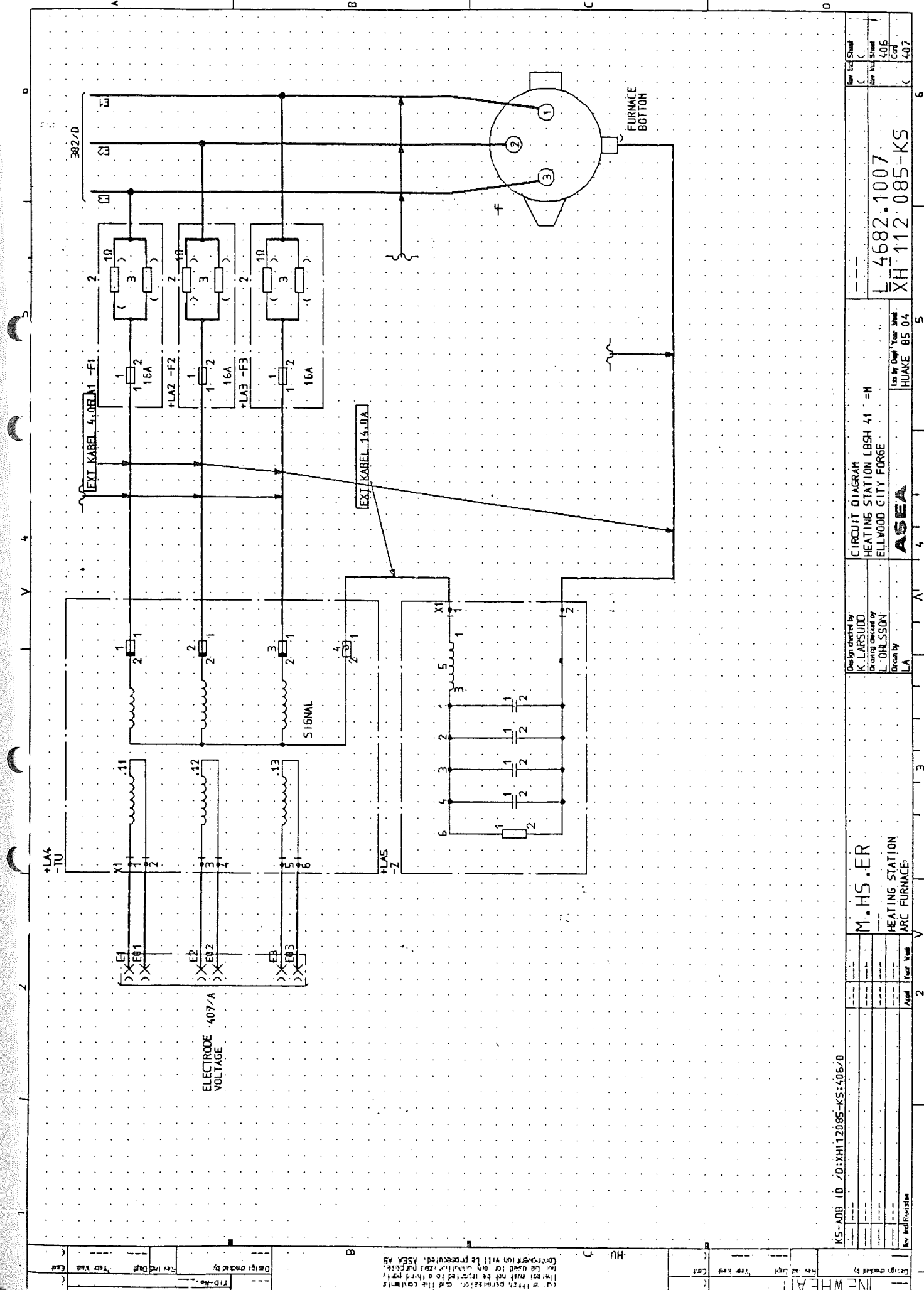
5

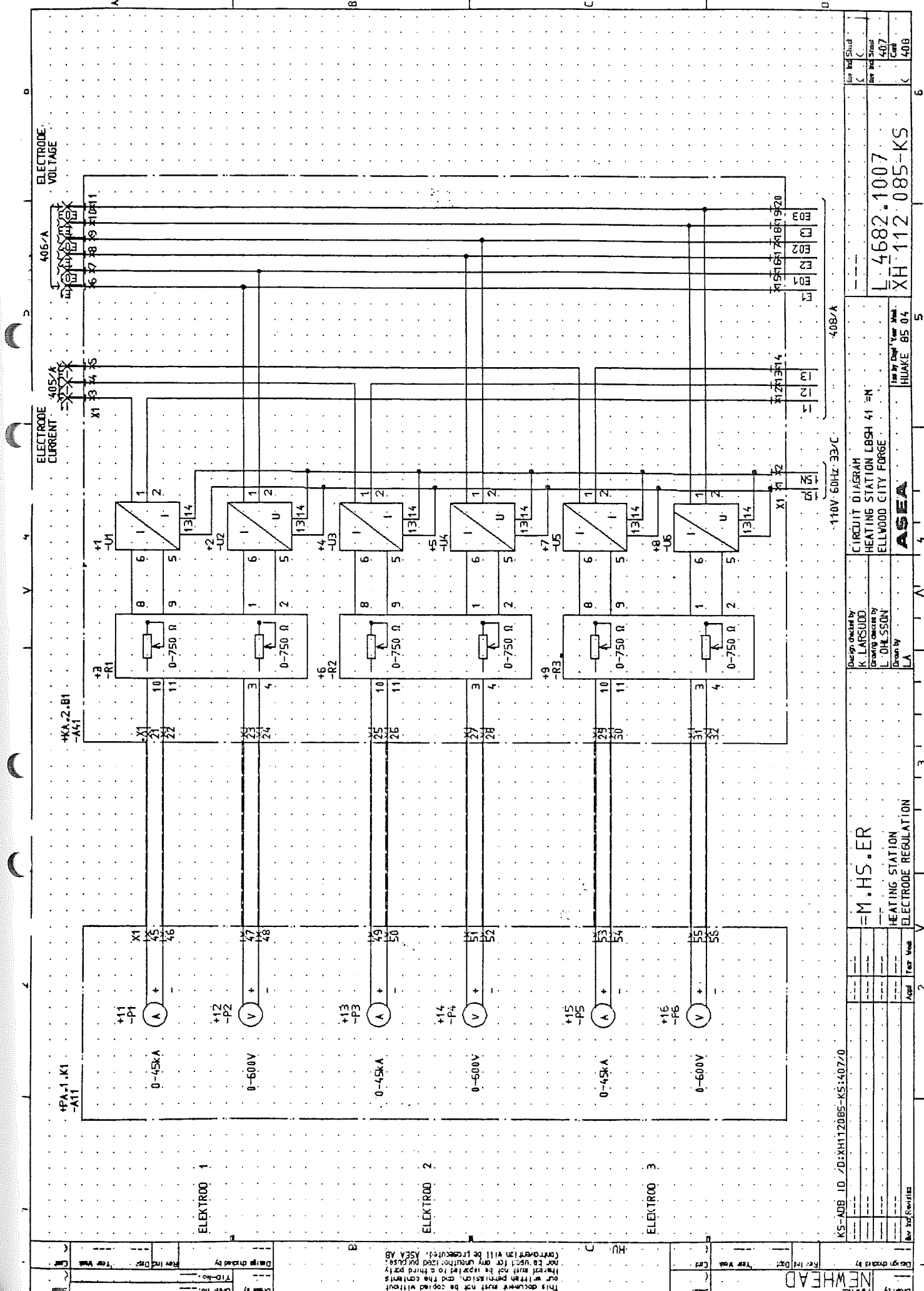
6

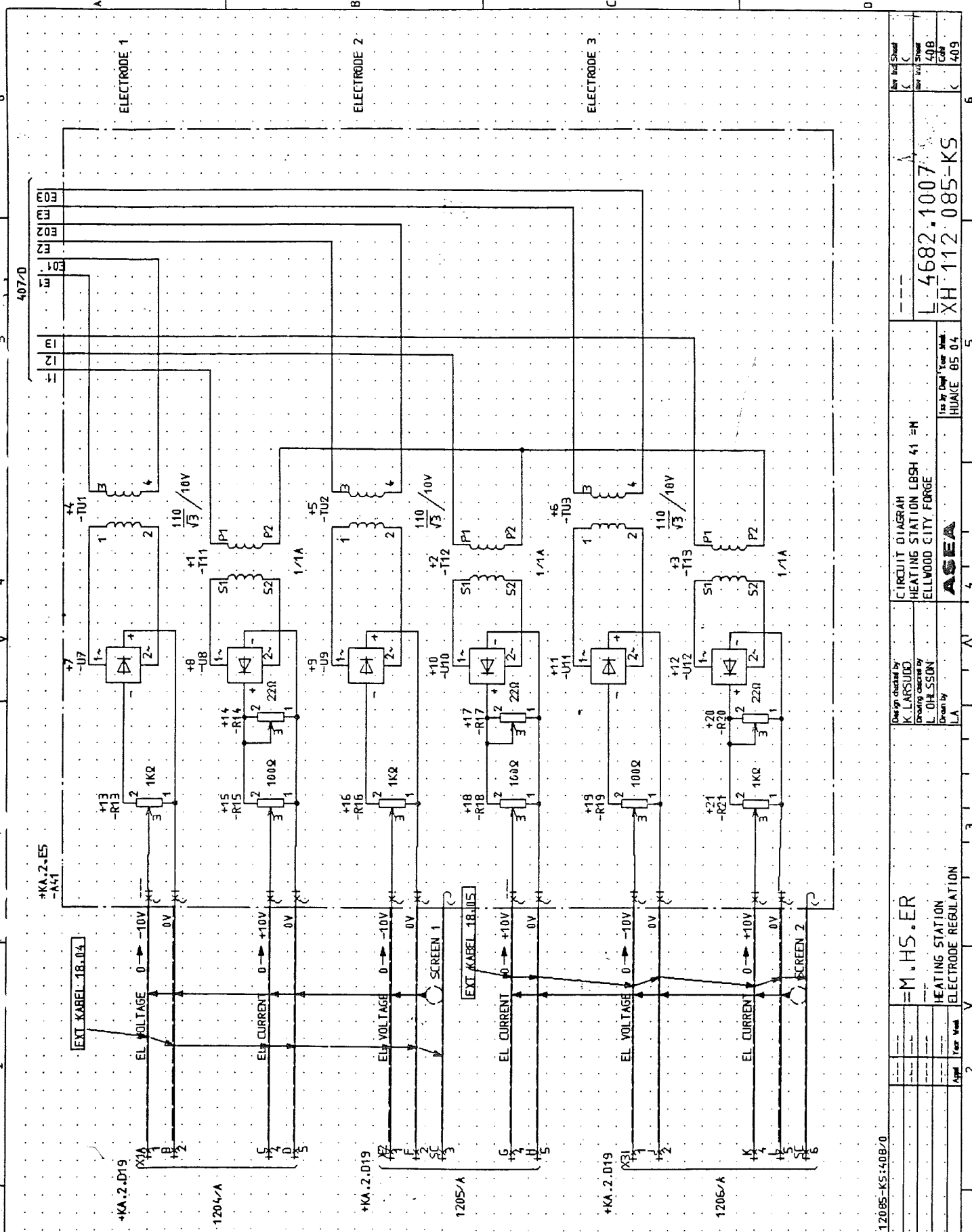


Design started by
K. LARSSON
Drawing done by
L. OHLSSON
Drawn by
ASEA
1st Draft Year Month
HUAKE 85 04
2nd Draft Year Month
3rd Draft Year Month
Rev 1st Revision

KS-ADB 10 /0 :XH112085-KS4405/0
=M . HS . ER
CIRCUIT DIAGRAM
HEATING STATION LESH 41 =M
ELLWOOD CITY FORGE
ASEA
1st Draft Year Month
HUAKE 85 04
2nd Draft Year Month
3rd Draft Year Month
Rev 1st Revision







KS-10B ID :0;XH112085-KS1408/0

Design dictated by
K. LARSSON
Drawing dictated by
L. OHSSONCIRCUIT DIAGRAM
HEATING STATION LBH 41 -H
ELLWOOD CITY FORGE

ASEA

IS BY DAY YEAR
HUKE 85 04HEATING STATION
ELECTRODE REGULATIONAge 1 Year Week
Rev Int Rev 11

Rev Int Rev 12

Rev Int Rev 13

Rev Int Rev 14

Rev Int Rev 15

Rev Int Rev 16

Rev Int Rev 17

Rev Int Rev 18

Rev Int Rev 19

Rev Int Rev 20

Rev Int Rev 21

Rev Int Rev 22

Rev Int Rev 23

Rev Int Rev 24

Rev Int Rev 25

Rev Int Rev 26

Rev Int Rev 27

Rev Int Rev 28

Rev Int Rev 29

Rev Int Rev 30

Rev Int Rev 31

Rev Int Rev 32

Rev Int Rev 33

Rev Int Rev 34

Rev Int Rev 35

Rev Int Rev 36

Rev Int Rev 37

Rev Int Rev 38

Rev Int Rev 39

Rev Int Rev 40

Rev Int Rev 41

Rev Int Rev 42

Rev Int Rev 43

Rev Int Rev 44

Rev Int Rev 45

Rev Int Rev 46

Rev Int Rev 47

Rev Int Rev 48

Rev Int Rev 49

Rev Int Rev 50

Rev Int Rev 51

Rev Int Rev 52

Rev Int Rev 53

Rev Int Rev 54

Rev Int Rev 55

Rev Int Rev 56

Rev Int Rev 57

Rev Int Rev 58

Rev Int Rev 59

Rev Int Rev 60

Rev Int Rev 61

Rev Int Rev 62

Rev Int Rev 63

Rev Int Rev 64

Rev Int Rev 65

Rev Int Rev 66

Rev Int Rev 67

Rev Int Rev 68

Rev Int Rev 69

Rev Int Rev 70

Rev Int Rev 71

Rev Int Rev 72

Rev Int Rev 73

Rev Int Rev 74

Rev Int Rev 75

Rev Int Rev 76

Rev Int Rev 77

Rev Int Rev 78

Rev Int Rev 79

Rev Int Rev 80

Rev Int Rev 81

Rev Int Rev 82

Rev Int Rev 83

Rev Int Rev 84

Rev Int Rev 85

Rev Int Rev 86

Rev Int Rev 87

Rev Int Rev 88

Rev Int Rev 89

Rev Int Rev 90

Rev Int Rev 91

Rev Int Rev 92

Rev Int Rev 93

Rev Int Rev 94

Rev Int Rev 95

Rev Int Rev 96

Rev Int Rev 97

Rev Int Rev 98

Rev Int Rev 99

Rev Int Rev 100

Rev Int Rev 101

Rev Int Rev 102

Rev Int Rev 103

Rev Int Rev 104

Rev Int Rev 105

Rev Int Rev 106

Rev Int Rev 107

Rev Int Rev 108

Rev Int Rev 109

Rev Int Rev 110

Rev Int Rev 111

Rev Int Rev 112

Rev Int Rev 113

Rev Int Rev 114

Rev Int Rev 115

Rev Int Rev 116

Rev Int Rev 117

Rev Int Rev 118

Rev Int Rev 119

Rev Int Rev 120

Rev Int Rev 121

Rev Int Rev 122

Rev Int Rev 123

Rev Int Rev 124

Rev Int Rev 125

Rev Int Rev 126

Rev Int Rev 127

Rev Int Rev 128

Rev Int Rev 129

Rev Int Rev 130

Rev Int Rev 131

Rev Int Rev 132

Rev Int Rev 133

Rev Int Rev 134

Rev Int Rev 135

Rev Int Rev 136

Rev Int Rev 137

Rev Int Rev 138

Rev Int Rev 139

Rev Int Rev 140

Rev Int Rev 141

Rev Int Rev 142

Rev Int Rev 143

Rev Int Rev 144

Rev Int Rev 145

Rev Int Rev 146

Rev Int Rev 147

Rev Int Rev 148

Rev Int Rev 149

Rev Int Rev 150

Rev Int Rev 151

Rev Int Rev 152

Rev Int Rev 153

Rev Int Rev 154

Rev Int Rev 155

Rev Int Rev 156

Rev Int Rev 157

Rev Int Rev 158

Rev Int Rev 159

Rev Int Rev 160

Rev Int Rev 161

Rev Int Rev 162

Rev Int Rev 163

Rev Int Rev 164

Rev Int Rev 165

Rev Int Rev 166

Rev Int Rev 167

Rev Int Rev 168

Rev Int Rev 169

Rev Int Rev 170

Rev Int Rev 171

Rev Int Rev 172

Rev Int Rev 173

Rev Int Rev 174

Rev Int Rev 175

Rev Int Rev 176

Rev Int Rev 177

Rev Int Rev 178

Rev Int Rev 179

Rev Int Rev 180

Rev Int Rev 181

Rev Int Rev 182

Rev Int Rev 183

Rev Int Rev 184

Rev Int Rev 185

Rev Int Rev 186

Rev Int Rev 187

Rev Int Rev 188

Rev Int Rev 189

Rev Int Rev 190

Rev Int Rev 191

Rev Int Rev 192

Rev Int Rev 193

Rev Int Rev 194

Rev Int Rev 195

Rev Int Rev 196

Rev Int Rev 197

Rev Int Rev 198

Rev Int Rev 199

Rev Int Rev 200

Rev Int Rev 201

Rev Int Rev 202

Rev Int Rev 203

Rev Int Rev 204

Rev Int Rev 205

Rev Int Rev 206

Rev Int Rev 207

Rev Int Rev 208

Rev Int Rev 209

Rev Int Rev 210

Rev Int Rev 211

Rev Int Rev 212

Rev Int Rev 213

Rev Int Rev 214

Rev Int Rev 215

Rev Int Rev 216

Rev Int Rev 217

Rev Int Rev 218

Rev Int Rev 219

Rev Int Rev 220

Rev Int Rev 221

Rev Int Rev 222

Rev Int Rev 223

Rev Int Rev 224

Rev Int Rev 225

Rev Int Rev 226

Rev Int Rev 227

Rev Int Rev 228

Rev Int Rev 229

Rev Int Rev 230

Rev Int Rev 231

Rev Int Rev 232

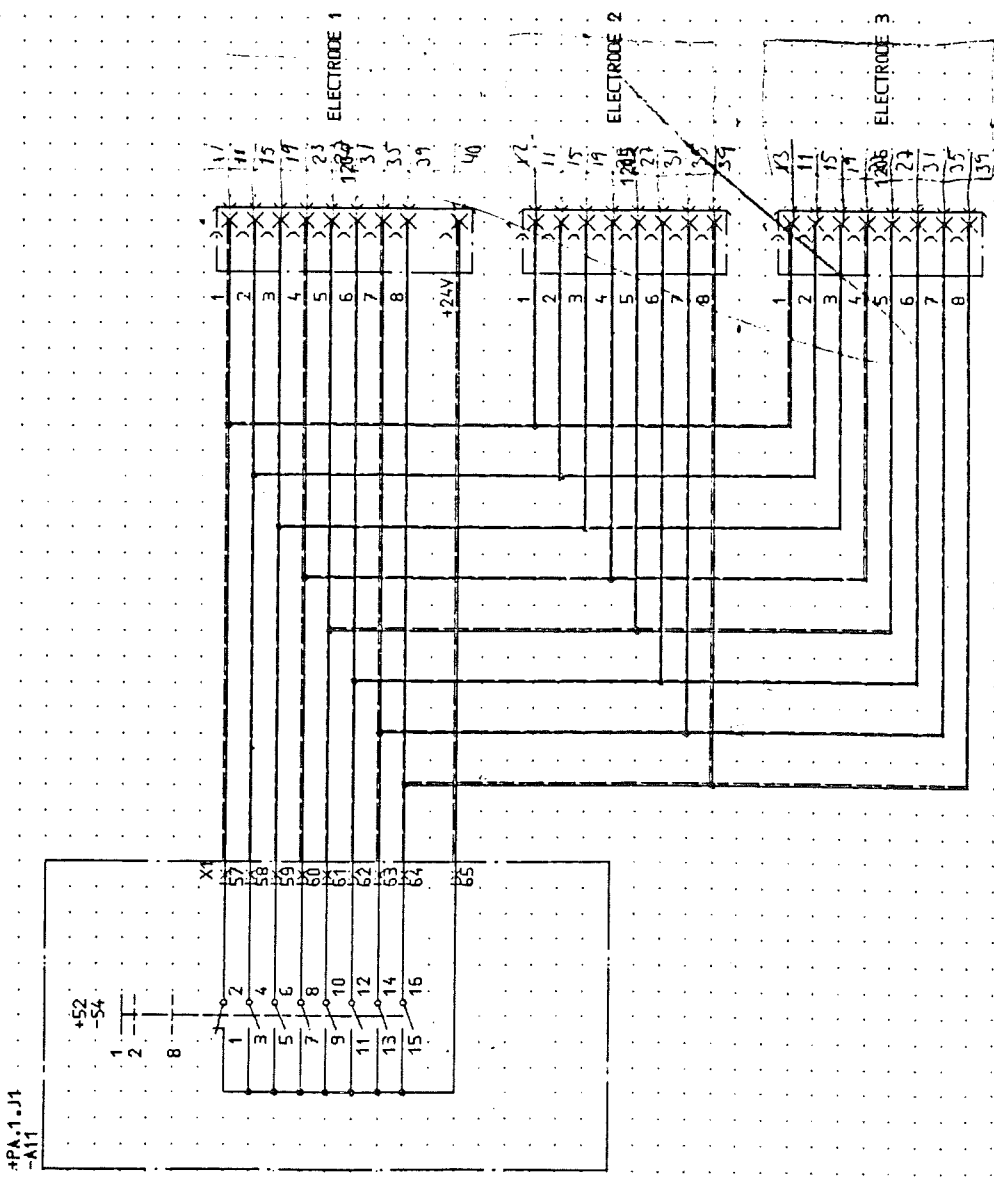
Rev Int Rev 233

Rev Int Rev 234

Rev Int Rev 235

Rev Int Rev 236

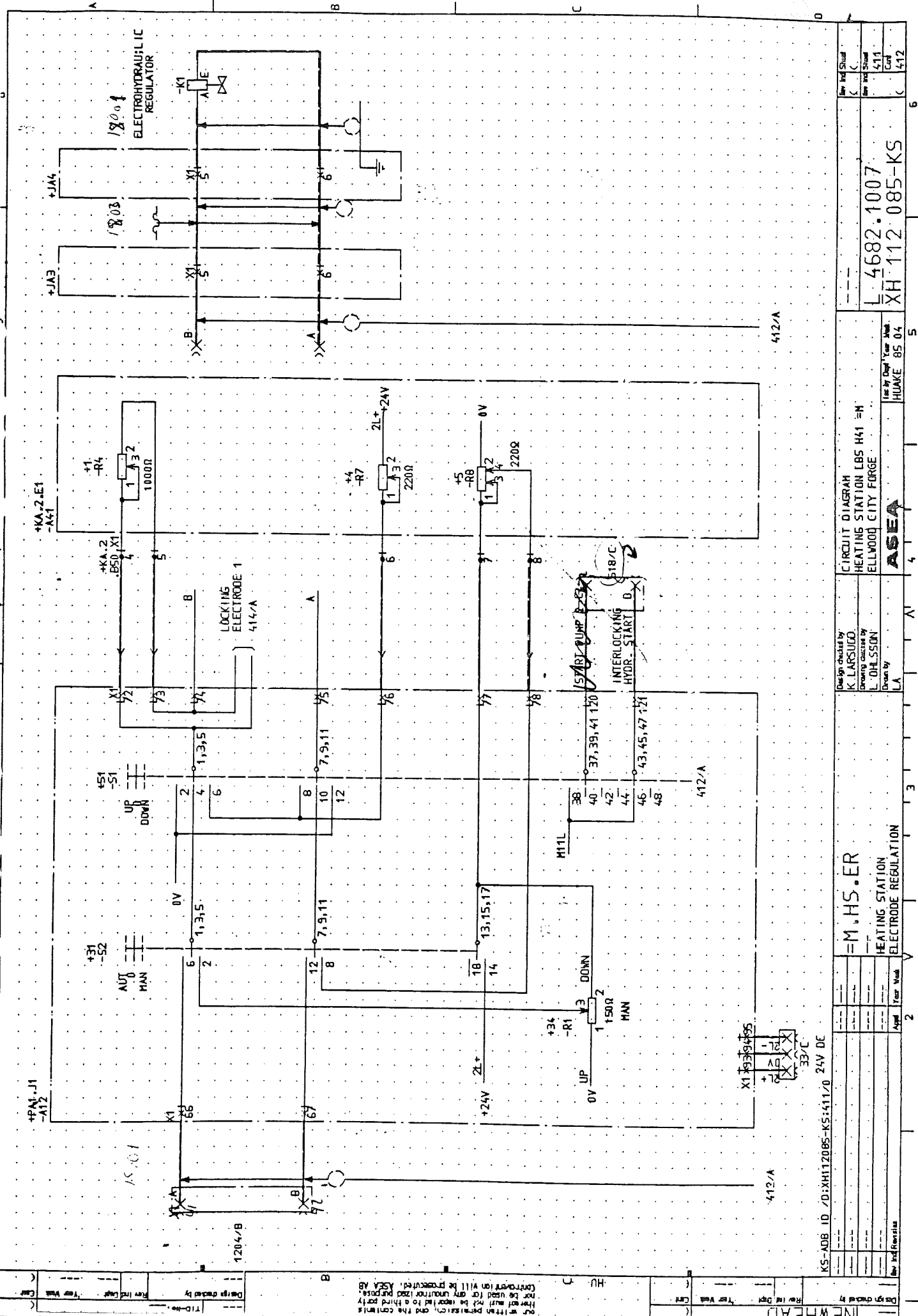
6

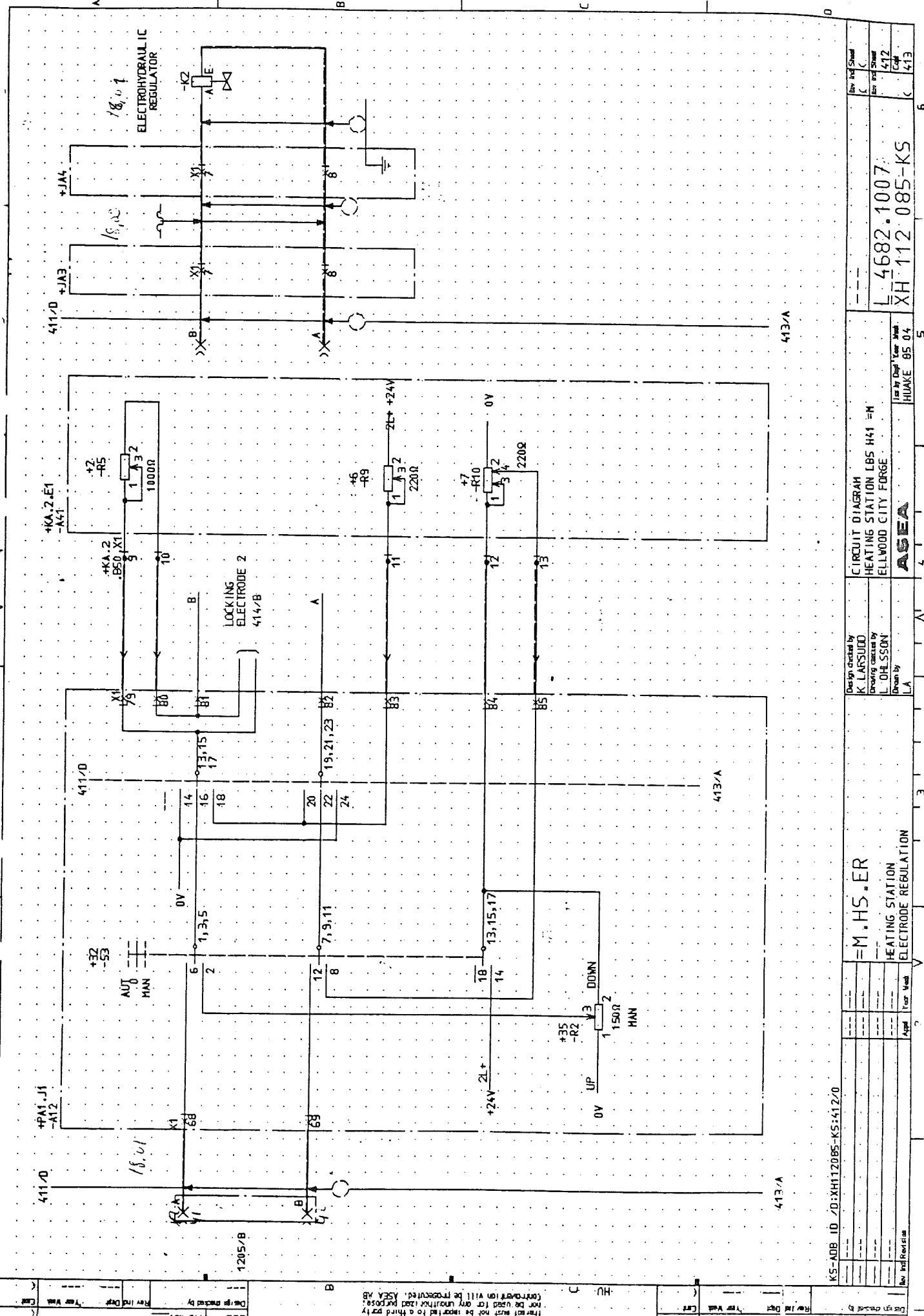


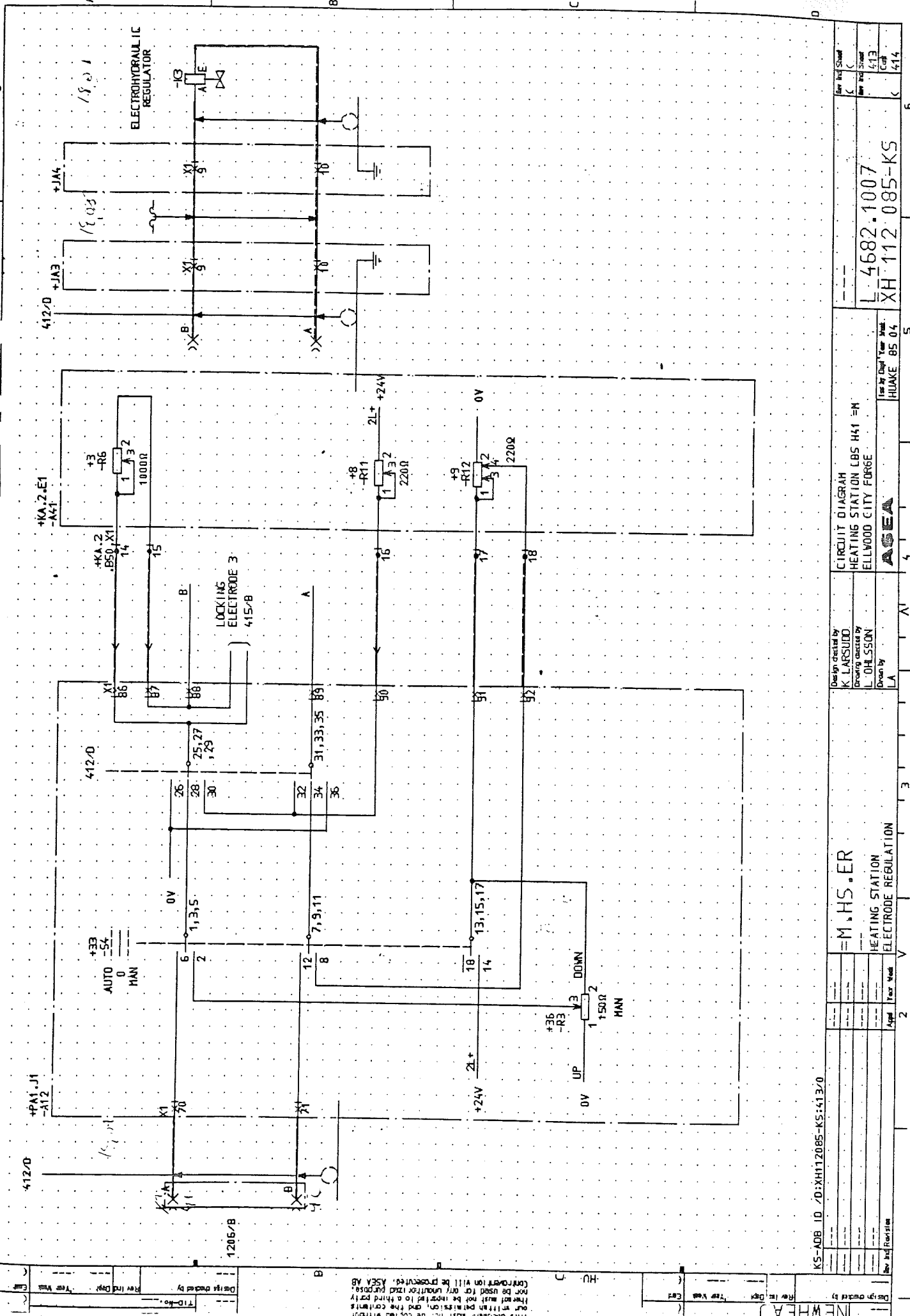
KS-AOB 10 /D:KH112055-K54409-0

CIRCUIT DIAGRAM		HEATING STATION LBSH 41 = N		HEATING STATION FORGE		HEATING STATION		CURRENT SET POINT	
Design directed by K. LARSSON	Drawings directed by OHLSSON	Drawn by ASEA	Issued by ASEA						
Approved by K. LARSSON	Approved by OHLSSON	Approved by ASEA							
Date last modified 2000-01-01									
Rev. Rev. Serial 5									

Ref. Ref. Serial 6	Ref. Ref. Serial 5	Ref. Ref. Serial 4	Ref. Ref. Serial 3	Ref. Ref. Serial 2	Ref. Ref. Serial 1	Ref. Ref. Serial 0
4682-1007	XH 112-085-KS					

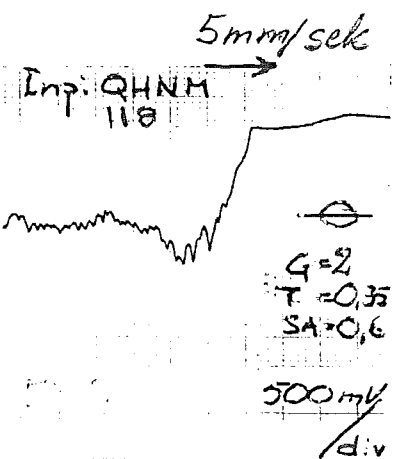




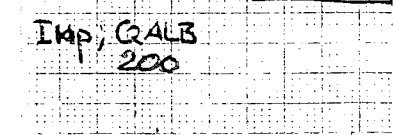


ELEKTROD 3

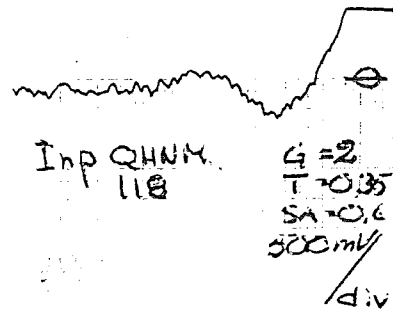
Styrsignal
till ventilen



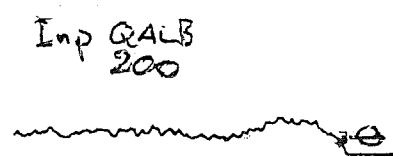
Insignal till
regulatorn

ELEKTROD 1

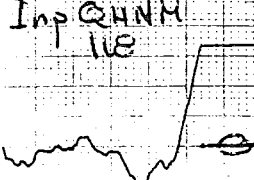
Styrsignal
till ventilen



Insignal till
regulatorn

ELEKTROD 2

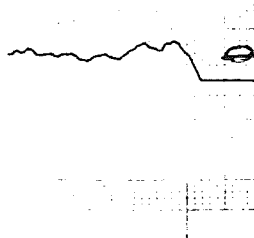
Inp QHNM
118



Styrsignal
till ventilen

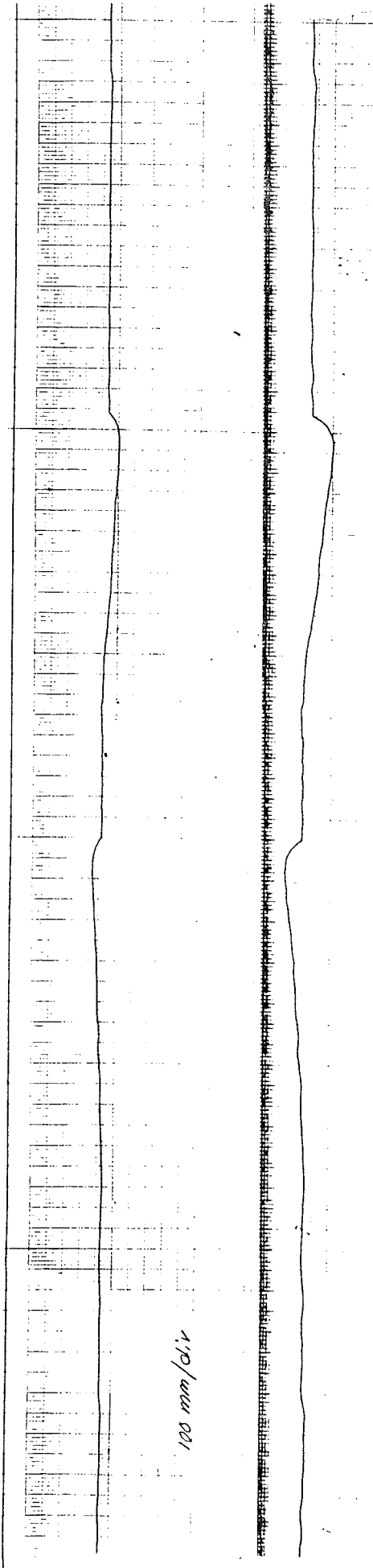
$G = 2$
 $T \sim 0,35$
 $SA = 0,6$

Inp QALB
200



Insignal till
regulatorn

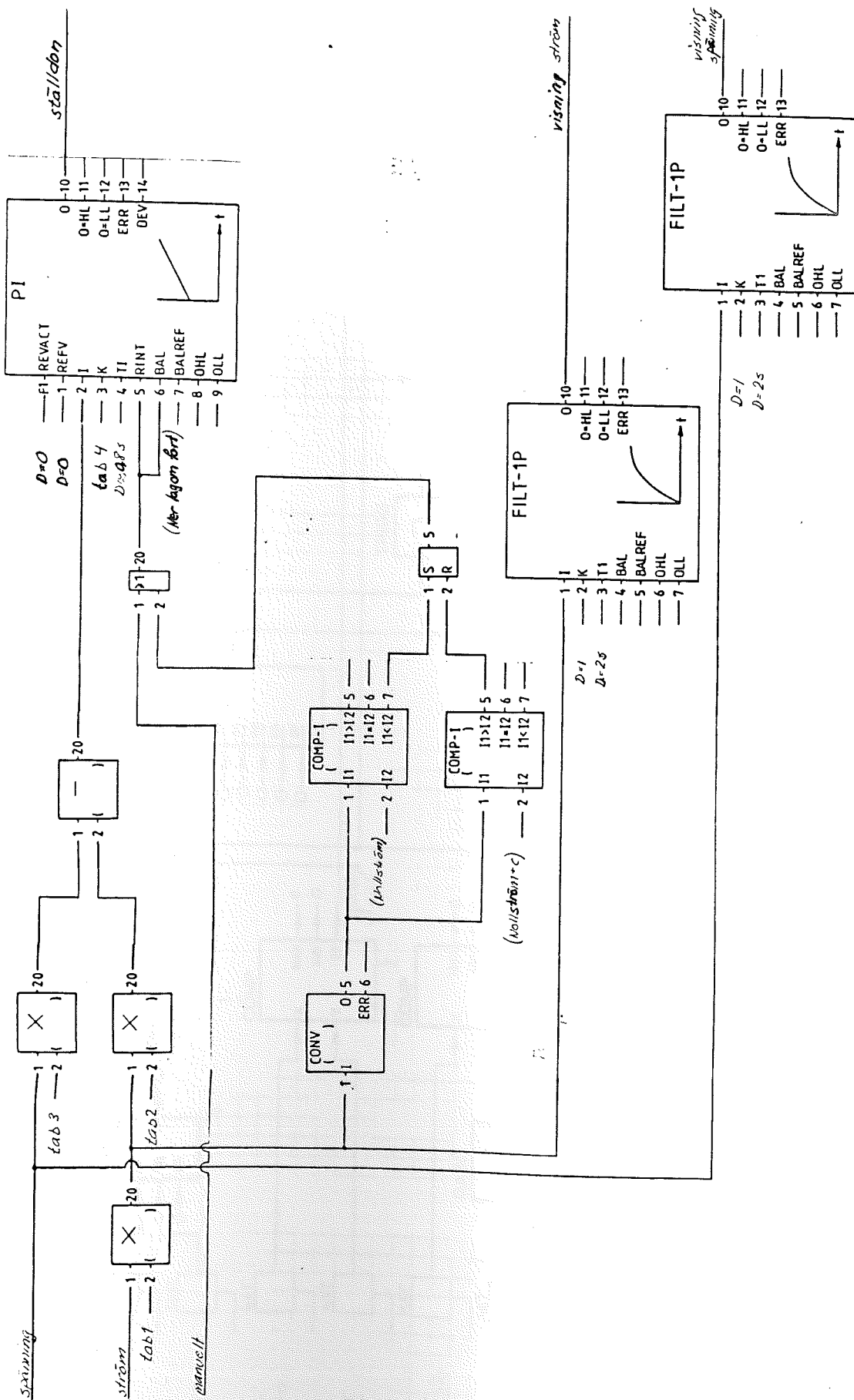
Steg 26-22 kA

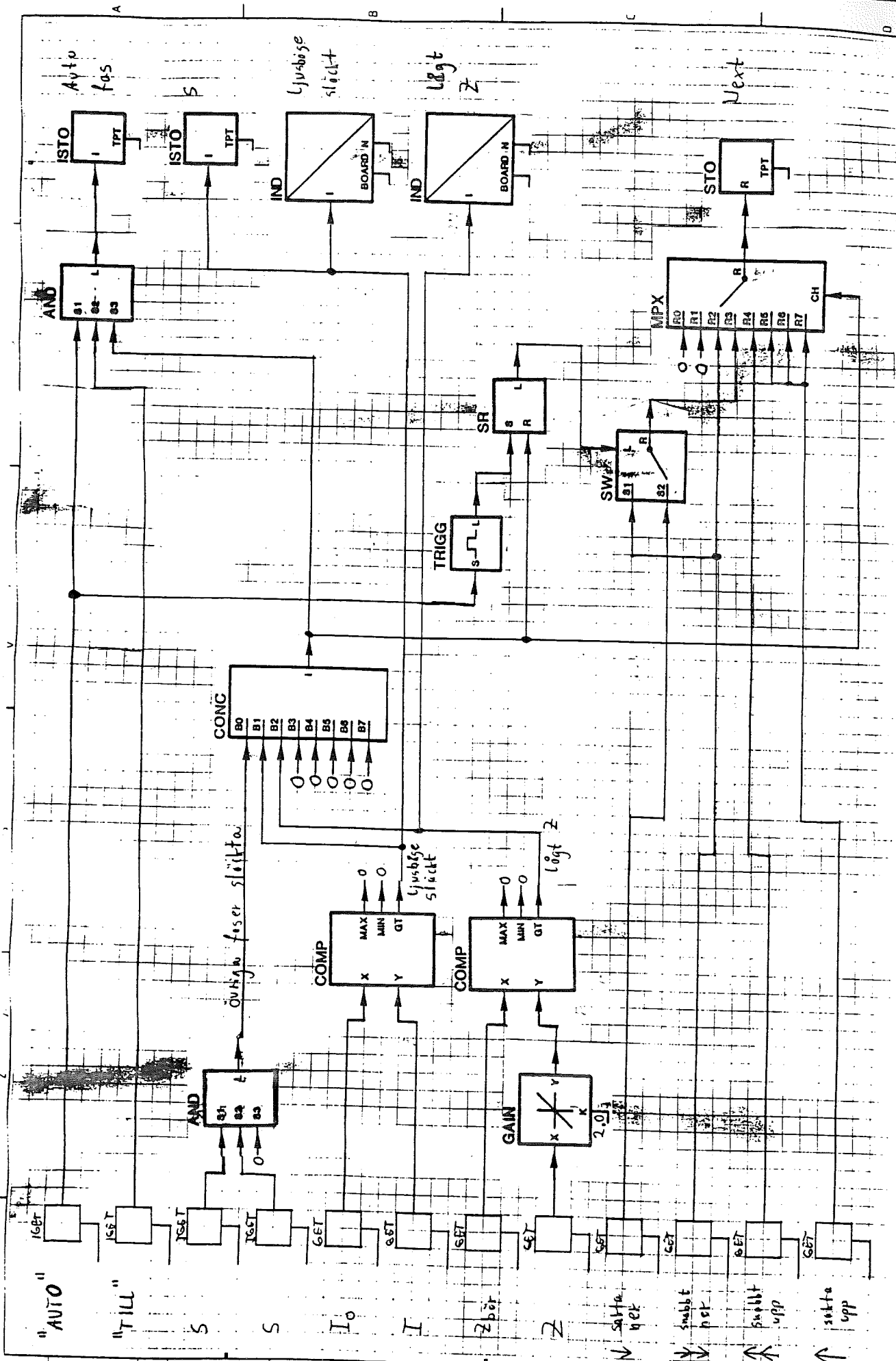


200 mm/div

→ 5 mm/s

• Denne nötingen har offörs på tekniskt sätt genom att
andra strömmen refereras till OA 208. Detta är stegstörning
bildats. Det är sär i strömmen till ventilen och
under denna perioden till regulatorn.





This document must not be copied without
prior written permission and the contents
thereof must not be communicated to a third party.
Design checked by [Signature] Ver. week Cont
Design checked by [Signature] Ver. week Cont
Design checked by [Signature] Ver. week Cont

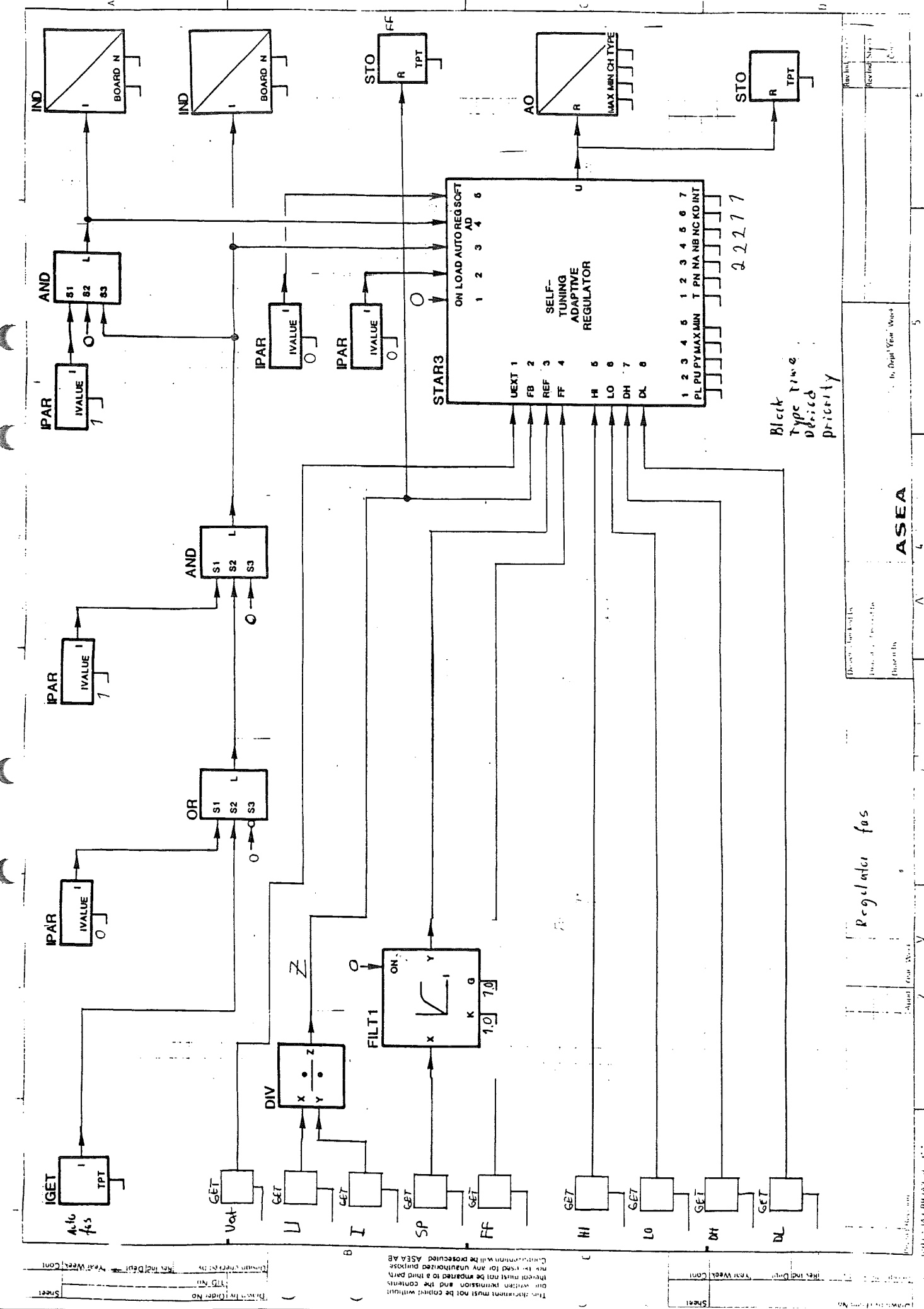
Rev. Sheet
Rev. No. Sheet
Cont

6
Is In Dept Year Week

ASEA

2
Aug/Year Week

New Revision
6917 543 88 (A3) Rev 1:1



FILE: LJUSS SANDYS A1 ASEA INFORMATION SYSTEMS CMS

```
*SYSTEM <LJUSB
;
; ===== LJUSBAGE =====
;
*VARDEC I1          I2          I3
*INITIAL I1=1.0E4    I2=-1.0E4   I3=-1.0E4
;
*AUXDEC U10         U20         U30
;
*AUXDEC VL
;
*AUXDEC ARH1        ARH2        ARH3
;
*VARDEC AR1         AR2         AR3
;
*VARDEC AVS1        AVS2        AVS3
*INITIAL AVS1=0.25   AVS2=0.25   AVS3=0.25
;
*VARDEC STY1        STY2        STY3
*INITIAL STY1=0.0    STY2=0.0    STY3=0.0
;
*VARDEC MUT1        MUT2        MUT3
*INITIAL MUT1=0.0    MUT2=0.0    MUT3=0.0
;
*VARDEC VUT1        VUT2        VUT3
*INITIAL VUT1=0.0    VUT2=0.0    VUT3=0.0
;
*VARDEC HUT1        HUT2        HUT3
*INITIAL HUT1=0.0    HUT2=0.0    HUT3=0.0
;
*PARAM   R1=0.626E-3  R2=0.446E-3  R3=0.597E-3 ;RESISTANSVÄRDE
;
*PARAM   L1=7.003E-6  L2=6.815E-6  L3=6.853E-6 ;INDUKTANSVÄRDE
;
*PARAM   REF1=0.01    REF2=0.013   REF3=0.01 ;REFVÄRDE TILL REGULATOR
;
*PARAM   KR=5         TR=0.6      ;PAR REGULATOR
;
*PARAM   K1=1         T1=0.035    ;PAR VENTILSTÄLLDON
;
*PARAM   K2=1         P2=0.0011   Q2=0.0067 ;PAR MEKANISKASYSTEMET
;
```

FILE: LJUSS SANDYS A1 ASEA INFORMATION SYSTEMS CMS

```
*PARAM K3=1 T3=0.05 ;PAR HYDRAULIKSYSTEM
; *PARAM K4=1E10 T4=1E10 ;PAR INTEGRATOR
; *PARAM K5=1 T5=0.016 ;PAR GLÄTTNINGSFILTER
; *PARAM W0=50 U0=400 PI=3.14159265
; *PARAM OHM=0.04
; *PARDEC W U03
;
-----
;
VL = U10 - R1 * I1 - L1 * 'I1 - I1 * AVS1 * OHM
VL = U20 - R2 * I2 - L2 * 'I2 - I2 * AVS2 * OHM
I1 + I2 + I3 = 0
;
*FORTRAN
;
VL = U30 - R3 * I3 - L3 * 'I3 - I3 * AVS3 * OHM
ARH1 = AVS1 * OHM
ARH2 = AVS2 * OHM
ARH3 = AVS3 * OHM
;
*FORTEND
;
LB19< FILT1 ARH1 AR1 : K5 T5 ;GLÄTTNINGSFILTER
LB20< FILT1 ARH2 AR2 : K5 T5 ;GLÄTTNINGSFILTER
LB21< FILT1 ARH3 AR3 : K5 T5 ;GLÄTTNINGSFILTER
;
LB4< PIREG REF1 AR1 STY1 :TR KR ;REGULATOR FAS1
LB5< PIREG REF2 AR2 STY2 :TR KR ;REGULATOR FAS2
LB6< PIREG REF3 AR3 STY3 :TR KR ;REGULATOR FAS3
;
LB7< FILT2 STY1 MUT1 : K2 P2 Q2 ;MEKANISKT SYSTEMET FAS1
LB8< FILT2 STY2 MUT2 : K2 P2 Q2 ;MEKANISKT SYSTEMET FAS2
LB9< FILT2 STY3 MUT3 : K2 P2 Q2 ;MEKANISKT SYSTEMET FAS3
;
LB10< FILT1 MUT1 VUT1 :K1 T1 ;VENTILSTÄLLDON FAS1
```

1
2
3

FILE: LJUSS SANDYS A1 ASEA INFORMATION SYSTEMS CMS

```
LB11< FILT1 MUT2 VUT2 :K1 T1 ;VENTILSTÄLLDON FAS2
LB12< FILT1 MUT3 VUT3 :K1 T1 ;VENTILSTÄLLDON FAS3
;
LB13< FILT1 VUT1 HUT1 :K3 T3 ;HYDRAULIKSYSTEM FAS1
LB14< FILT1 VUT2 HUT2 :K3 T3 ;HYDRAULIKSYSTEM FAS2
LB15< FILT1 VUT3 HUT3 :K3 T3 ;HYDRAULIKSYSTEM FAS3
;
LB16< FILT1 HUT1 AVS1 :K4 T4 ;INTEGRATOR
LB17< FILT1 HUT2 AVS2 :K4 T4 ;INTEGRATOR
LB18< FILT1 HUT3 AVS3 :K4 T4 ;INTEGRATOR
;
*FORTRAN
;
W = 2.00 * PI * W0
U03 = U0 / DSQRT(3.00)
;
U10 = U03 * SIN( W*TIME )
U20 = U03 * SIN( W*TIME - 2.00*PI/3.00 )
U30 = U03 * SIN( W*TIME - 4.00*PI/3.00 )
;
*END
```

FILE: OLOFS SANDYS A1 ASEA INFORMATION SYSTEMS CMS

```
*SYSTEM <LJUSB
;
; ===== LJUSBAGE =====
;
*VARDEC I1          I2          I3
*INITIAL I1=-7E4    I2=7E3     I3=4E4
;
*AUXDEC U10         U20         U30
;
*AUXDEC UARC1       UARC2       UARC3
*AUXVAL UARC1=0.0   UARC2=-200.0 UARC3=-200.0
;
*AUXDEC VL
;
*PARAM AVS1=0.25   AVS2=0.25   AVS3=0.25
;
*PARAM R1=0.626E-3 R2=0.446E-3 R3=0.597E-3
;
*PARAM L1=7.003E-6 L2=6.815E-6 L3=6.853E-6
;
*PARAM W0=50        U0=400      PI=3.14159265
;
*PARDEC W           U03
;
*PARDEC UTE1       UTE2       UTE3
;
*PARAM VOME=500.0
;VOLT PER METER LJUSBAGE
;
-----
;
VL = U10 - R1 * I1 - L1 * 'I1 - UARC1
VL = U20 - R2 * I2 - L2 * 'I2 - UARC2
;
I1 + I2 + I3 = 0
;
LB1< FKVAG UARC1 : I1 UTE1
LB2< FKVAG UARC2 : I2 UTE2
LB3< FKVAG UARC3 : I3 UTE3
;
*FORTRAN
;
```

FILE: OLOFS SANDYS A1 ASEA INFORMATION SYSTEMS CMS

```
VL = U30 - R3 * I3 - L3 * 'I3 - UARC3
;
UTE1 = ((AVS1*VOME)+35)
UTE2 = ((AVS2*VOME)+35)
UTE3 = ((AVS3*VOME)+35)
;
W = 2.00 * PI * W0
U03 = U0 / DSQRT(3.00)
;
U10 = U03 * SIN( W*TIME )
U20 = U03 * SIN( W*TIME - 2.00*PI/3.00 )
U30 = U03 * SIN( W*TIME - 4.00*PI/3.00 )
;
*END
;
*MODULE <FKVAG UTEK : I UUTE
;===== FYRKANTV&G =====
;
*VARDEC UTEK
;
*PARDEC I UUTE
;
*PARAM EPSP=10 EPSM=-10 EPSO=0
;
*STATESET VAG
*STATE POS
    UTEK = UUTE
*WHEN I < EPSM
    VAG = NEG
;
*STATE NEG
    UTEK = -UUTE
*WHEN I > EPSP
    VAG = POS
;
*STATE START
    UTEK = UUTE SIGN (I)
*WHEN I > EPSO
    VAG = POS
*WHEN I < EPSO
    VAG = NEG
;
*STSTART VAG = START
;
*END
```